

ผลกระทบของถ้าเกลบ-เปลือกไม้และถ้าปลื้มน้ำมันต่อกำลังอัดและ
การแทรกซึมคลอร์ไรด์เข้าสู่คุณกรีต

นายสรกพ ก้านบัวเกื้า วศ.บ. (วิศวกรรมโยธา)

วิทยานิพนธ์นี้เป็นส่วนหนึ่งของการศึกษาตามหลักสูตร
ปริญญาวิศวกรรมศาสตรมหาบัณฑิต สาขาวิชาชีวกรรมโยธา
คณะวิศวกรรมศาสตร์
มหาวิทยาลัยเทคโนโลยีพระจอมเกล้าธนบุรี
พ.ศ. 2552

คณะกรรมการสอบวิทยานิพนธ์

.....
(รศ.เอนก ศิริพานิชกร)

ประธานกรรมการสอบวิทยานิพนธ์

.....
(ศ.ดร.ชัย ชาตุรพิทักษ์กุล)

กรรมการและที่ปรึกษาวิทยานิพนธ์

.....
(ผศ.ดร.สมิตร ส่างพิริยะกิจ)

กรรมการ

หัวข้อวิทยานิพนธ์	ผลกระทบของเด็กแกลบ-เปลือกไม้และเด็กป่าลืมน้ำมันต่อกำลังอัดและการแทรกซึมคลอไรด์เข้าสู่ค่อนกรีต
หน่วยกิต	12
ผู้เขียน	นายสรภพ ก้านบัวแก้ว
อาจารย์ที่ปรึกษา	ศ.ดร.ชัย ชาตรพิทักษ์กุล
หลักสูตร	วิศวกรรมศาสตรมหาบัณฑิต
สาขาวิชา	วิศวกรรมโยธา
ภาควิชา	วิศวกรรมโยธา
คณะ	วิศวกรรมศาสตร์
พ.ศ.	2552

บทคัดย่อ

งานวิจัยนี้เป็นการศึกษาผลกระทบของเด็กแกลบ-เปลือกไม้และเด็กป่าลืมน้ำมันต่อกำลังอัดและการแทรกซึมคลอไรด์เข้าสู่ค่อนกรีต โดยนำเด็กแกลบ-เปลือกไม้และเด็กป่าลืมน้ำมันซึ่งเป็นผลผลอยได้จากกระบวนการผลิตกระแสงไฟฟ้ามาปรับปรุงคุณภาพโดยการบดให้มีความละเอียดแตกต่างกัน 2 ขนาด คือ ค้างบนตะแกรงเบอร์ 325 เท่ากับร้อยละ 15-20 (ความละเอียดปานกลาง) และน้อยกว่าร้อยละ 5 โดยน้ำหนัก (ความละเอียดมาก) รวมกับเด็กแกลบ-เปลือกไม้และเด็กป่าลืมน้ำมันที่ไม่ผ่านการบดซึ่งมีความละเอียดอย่างละ 3 ขนาด จากนั้นนำเด็กแกลบ-เปลือกไม้และเด็กป่าลืมน้ำมันแต่ละขนาดแทนที่ปูนซีเมนต์ปอร์ตแลนด์ประเภทที่ 1 ในอัตราร้อยละ 10, 20, 30 และ 40 โดยน้ำหนักของวัสดุประสานเพื่อหล่อค่อนกรีต ทำการทดสอบกำลังอัดของค่อนกรีตที่อายุ 7, 28, 90 และ 360 วันและการแทรกซึมคลอไรด์เข้าสู่ค่อนกรีตที่อายุ 90 และ 360 วัน

ผลการวิจัยพบว่าที่อายุ 90 วันค่อนกรีตที่ผสมเด็กแกลบ-เปลือกไม้และเด็กป่าลืมน้ำมันที่นำมาจากแหล่งผลิตโดยตรงมีกำลังอัดต่ำกว่าค่อนกรีตควบคุมและไม่สามารถลดการแทรกซึมคลอไรด์เข้าสู่ค่อนกรีตได้เมื่อเทียบกับค่อนกรีตควบคุม แต่เมื่อปรับปรุงความละเอียดของเด็กแกลบ-เปลือกไม้และเด็กป่าลืมน้ำมันให้มีความละเอียดมากขึ้น พบว่าค่อนกรีตมีกำลังอัดเพิ่มขึ้นและสามารถลดการแทรกซึมคลอไรด์เข้าสู่ค่อนกรีตได้ นอกจากนี้การแทนที่ปูนซีเมนต์ด้วยเด็กแกลบ-เปลือกไม้ความละเอียดปานกลางในอัตราร้อยละ 10 และความละเอียดมากในอัตราร้อยละ 40 โดยน้ำหนักของวัสดุประสานมีกำลังอัดใกล้เคียงกับค่อนกรีตควบคุม และมีการแทรกซึมคลอไรด์เข้าสู่ค่อนกรีตต่ำกว่าค่อนกรีตควบคุมที่อายุ 90 และ 360 วัน ส่วนค่อนกรีตที่ผสมเด็กป่าลืมน้ำมันที่มีความละเอียดมากในอัตราร้อยละ 30 ให้กำลังอัดใกล้เคียงกับค่อนกรีตควบคุม และมีการแทรกซึมคลอไรด์เข้าสู่ค่อนกรีตต่ำกว่า

ค่อนกรีตควบคุณที่อายุ 90 วัน นอกจากนี้ค่อนกรีตที่มีการแทนที่ถ้าเกลอบ-เปลือกไม้หรือถ้าปาล์มน้ำมันเพิ่มขึ้นพบว่าการแทรกซึมคลอไรด์เข้าสู่ค่อนกรีตมีแนวโน้มลดลง และท้ายสุดการแทรกซึมคลอไรด์เข้าสู่ค่อนกรีตไม่ได้ขึ้นอยู่กับกำลังอัดเพียงอย่างเดียว แต่ยังขึ้นอยู่กับปัจจัยทางค้านคุณสมบัติของถ้า ความละเอียด และการแทนที่ปูนซีเมนต์อิกต์วย

คำสำคัญ : การแทรกซึมคลอไรด์ / กำลังอัด / ถ้าเกลอบ-เปลือกไม้ / ถ้าปาล์มน้ำมัน

Thesis Title	Effect of Rice Husk-Bark Ash and Palm Oil Fuel Ash on Compressive Strength and Chloride Penetration of Concrete
Thesis Credits	12
Candidate	Mr. Sorrapop Kanbourkaew
Thesis Advisors	Prof. Dr. Chai Jaturapitakkul
Program	Master of Engineering
Field of Study	Civil Engineering
Department	Civil Engineering
Faculty	Engineering
B.E.	2552

Abstract

The objectives of this research are to study the effects of rice husk-bark ash (RHBA) and palm oil fuel ash (POFA) on compressive strength and chloride penetration of concrete. Rice husk-bark ash and palm oil fuel ash, by-products from biomass power plants, were ground until the particles retained on a sieve No. 325 of 15-20 % (medium fineness) and less than 5% (high fineness) by weight. Three different finenesses of RBHA and POFA (including RBHA and POFA as directly received from the power plants) were used to replace Portland cement type I at 10, 20, 30 and 40% by weight of binder to cast concrete. Compressive strengths of concretes were determined at the ages of 7, 28, 90 and 360 days while chloride penetration of concretes were determined at the ages of 90 and 360 days.

The results revealed that at the age of 90 days, the unground rice husk-bark ash and palm oil fuel ash were not suitable for using as a cement replacement in concrete because the concrete produced low compressive strength and high chloride penetration as compared to use of the control concrete. Additionally, with 10% and 40% replacement of Portland cement type I by medium fineness and high fineness of rice husk-bark ash, respectively, the compressive strengths of concretes were as high as that of the control concrete and the values of chloride penetration were lower than that of the control concrete at 90 and 360 days. When high fineness of palm oil fuel ash was used to replace Portland cement at 30 % by weight of binder, it produced higher compressive strength and lower chloride penetration of concrete as compared to the control concrete at 90 and 360 days. In addition, concrete containing RHBA or POFA with higher replacement of Portland cement tended to have lower chloride penetration than the one with lower replacement of Portland cement. Finally, it was found that the

chloride penetration of concrete depended not only on the compressive strength of concrete but also depends on properties of ash, fineness, and replacement of Portland cement.

Keywords : Chloride Penetration / Compressive Strength / Rice Husk-Bark Ash / Palm Oil Fuel Ash

กิตติกรรมประกาศ

งานวิจัยนี้สามารถสำเร็จลุล่วงไปได้ด้วยคี ผู้วิจัยต้องขอขอบคุณ ศ.ดร.ชัย ชาตรพิทักษ์กุล อาจารย์ที่ปรึกษา ที่ให้ความรู้ให้คำปรึกษาและคำแนะนำในการวิจัยตลอดมา ขอขอบคุณบริษัท ไทยเพาเวอร์ ซัพพลาย จำกัด และบริษัท ชุมพรอุตสาหกรรม จำกัด (มหาชน) ซึ่งเป็นผู้สนับสนุน ตัวอย่างถ้าเกลน-เปลือกไม้และถ้าปาล์มน้ำมัน เพื่อใช้ในการวิจัยครั้งนี้ ขอขอบคุณกรรมการสอบทุกท่าน ซึ่งได้แก่ รศ. เอนก ศิริพานิชกร และ พศ.ดร. สมิตร ส่งพิริยะกิจ ที่สละเวลาอันมีค่ามาสอบ วิทยานิพนธ์ และให้คำแนะนำที่เป็นประโยชน์ ขอขอบคุณ ดร. วีรชาติ ตั้งจิรภัทร ที่ให้คำแนะนำและ เป็นที่ปรึกษาในด้านวิชาการและการปฏิบัติตั้งแต่เริ่มวางแผนงานวิจัย ขอขอบคุณ นายณัฐพงศ์ mgr รัช ที่ให้คำแนะนำในระหว่างการเขียนเล่มวิทยานิพนธ์ ขอขอบคุณพี่ๆ และเพื่อนๆ ในห้องวิจัย คอนกรีตที่ให้ความช่วยเหลือและให้คำแนะนำในช่วงระหว่างการทดสอบ และขอขอบคุณ พ่อ และแม่ ที่ให้กำลังใจและให้การศึกษามาตั้งแต่ระดับอนุบาลจนถึงระดับปริญญาโท

สุดท้ายนี้ผู้วิจัยขอขอบคุณผู้ที่เกี่ยวข้องกับงานวิจัยนี้ทุกท่านที่ไม่ได้อ่านมาและหวังเป็นอย่างยิ่งว่า ผลงานวิจัยนี้จะช่วยเสริมสร้างความรู้ และความเข้าใจ ตลอดจนส่งเสริมการใช้ถ้าเกลน-เปลือกไม้ และถ้าปาล์มน้ำมันในงานคอนกรีตให้ดีและมากยิ่งขึ้น ซึ่งจะช่วยลดปัญหาต่างๆ ที่เกิดขึ้นจากปริมาณ จำนวนมากของถ้าเกลน-เปลือกไม้และถ้าปาล์มน้ำมันที่เป็นผลผลอย ได้ที่ไม่ก่อประโภชั่นมาเป็นสิ่ง ที่มีประโยชน์และสร้างคุณค่าในงานคอนกรีตต่อไป

สารบัญ

หน้า

บทคัดย่อภาษาไทย	๑
บทคัดย่อภาษาอังกฤษ	๒
กิตติกรรมประกาศ	๓
สารบัญ	๔
รายการตาราง	๘
รายการรูปประกอบ	๙

บทที่

1. บทนำ	1
1.1 ความเป็นมา	1
1.2 วัตถุประสงค์	2
1.3 ขอบเขตของงานวิจัย	2
1.4 เนื้อหาของวิทยานิพนธ์	3
2. งานวิจัยที่เกี่ยวข้อง	4
2.1 เค้าแกลบ-เปลือกไม้และเค้าปาล์มน้ำมัน	4
2.2 การแทรกซึมคลอร์ไรด์เข้าสู่คอนกรีต	4
2.3 งานวิจัยที่ผ่านมากของเค้าแกลบ-เปลือกไม้และเค้าปาล์มน้ำมัน	6
3. วิธีการทดสอบ	9
3.1 วัสดุที่ใช้ในการทดสอบ	9
3.2 อุปกรณ์และเครื่องมือที่ใช้ในการทดสอบ	9
3.3 วิธีการทดสอบ	11
3.4 สัญลักษณ์ที่ใช้ในการศึกษา	16
4. ผลการทดสอบและการวิเคราะห์ผล	18
4.1 คุณสมบัติจำเพาะของวัสดุ	18
4.2 องค์ประกอบเคมี	24

4.3 ความต้องการน้ำของคอนกรีตสด	26
4.4 กำลังอัดของคอนกรีต	28
4.5 การแทรกซึมคลอไรด์เข้าสู่คอนกรีต	41
4.6 การเปรียบเทียบถ้าเกลบ-เปลือกไม้และถ้าปาล์มน้ำมัน	49
5. สรุปผลการทดสอบและข้อเสนอแนะ	51
5.1 สรุปผลการวิจัย	51
5.2 ข้อเสนอแนะ	52
เอกสารอ้างอิง	53
ภาคผนวก	59
ก. ผลการทดสอบกำลังอัดของคอนกรีต	59
ข. ผลการทดสอบการแทรกซึมคลอไรด์เข้าสู่คอนกรีต	82
ประวัติผู้วิจัย	87

รายการตาราง

ตาราง	หน้า
3.1 อัตราส่วนผสม อัตราส่วนนำ้ต่อวัสดุประสาร และค่าญบตัวของคอนกรีตผสมเด็กแล็บ-เปลือกไม้และเด็กปัลมน้ำมันที่ใช้ในการศึกษา	13
4.1 ความถ่วงจำเพาะ ความละเอียด และขนาดอนุภาคเฉลี่ยของวัสดุ	21
4.2 องค์ประกอบทางเคมีของวัสดุ	25
4.3 กำลังอัดและร้อยละกำลังอัดของคอนกรีตที่ผสมเด็กแล็บ-เปลือกไม้และเด็กปัลมน้ำมัน	29
4.4 การแทรกซึมคลอรีนเข้าสู่คอนกรีตและอัตราส่วนของการแทรกซึมคลอรีนเข้าสู่คอนกรีตที่ผสมเด็กแล็บ-เปลือกไม้และเด็กปัลมน้ำมันเทียบกับคอนกรีตควบคุม CT1	43
4.5 การเปรียบเทียบกำลังอัดและการแทรกซึมคลอรีนเข้าสู่คอนกรีตที่แทนที่ปูนซีเมนต์ด้วยเด็กแล็บ-เปลือกไม้และเด็กปัลมน้ำมันในอัตราเรือยละ 40 ที่อายุ 360 วัน	50
ก.1 ผลการทดสอบกำลังอัดของคอนกรีต CT1	60
ก.2 ผลการทดสอบกำลังอัดของคอนกรีต CT5	61
ก.3 ผลการทดสอบกำลังอัดของคอนกรีต OR10	62
ก.4 ผลการทดสอบกำลังอัดของคอนกรีต OR20	63
ก.5 ผลการทดสอบกำลังอัดของคอนกรีต G1R10	64
ก.6 ผลการทดสอบกำลังอัดของคอนกรีต G1R20	65
ก.7 ผลการทดสอบกำลังอัดของคอนกรีต G1R30	66
ก.8 ผลการทดสอบกำลังอัดของคอนกรีต G1R40	67
ก.9 ผลการทดสอบกำลังอัดของคอนกรีต G2R10	68
ก.10 ผลการทดสอบกำลังอัดของคอนกรีต G2R20	69
ก.11 ผลการทดสอบกำลังอัดของคอนกรีต G2R30	70
ก.12 ผลการทดสอบกำลังอัดของคอนกรีต G2R40	71
ก.13 ผลการทดสอบกำลังอัดของคอนกรีต OP10	72
ก.14 ผลการทดสอบกำลังอัดของคอนกรีต OP20	73
ก.15 ผลการทดสอบกำลังอัดของคอนกรีต G1P10	74
ก.16 ผลการทดสอบกำลังอัดของคอนกรีต G1P20	75
ก.17 ผลการทดสอบกำลังอัดของคอนกรีต G1P30	76
ก.18 ผลการทดสอบกำลังอัดของคอนกรีต G1P40	77

ก.19 ผลการทดสอบกำลังอัคของคอนกรีต G2P10	78
ก.20 ผลการทดสอบกำลังอัคของคอนกรีต G2P20	79
ก.21 ผลการทดสอบกำลังอัคของคอนกรีต G2P30	80
ก.22 ผลการทดสอบกำลังอัคของคอนกรีต G2P40	81
ข.1 ผลการทดสอบการแทรกรซึ่มคลอไรด์เข้าสู่คอนกรีตที่อายุ 90 วัน ของตัวอย่าง CT,OR,G1R และG2R	83
ข.2 ผลการทดสอบการแทรกรซึ่มคลอไรด์เข้าสู่คอนกรีตที่อายุ 90 วัน ของตัวอย่าง CT,OP,G1P และG2P	84
ข.3 ผลการทดสอบการแทรกรซึ่มคลอไรด์เข้าสู่คอนกรีตที่อายุ 360 วัน ของตัวอย่าง CT,OR,G1R และG2R	85
ข.4 ผลการทดสอบการแทรกรซึ่มคลอไรด์เข้าสู่คอนกรีตที่อายุ 360 วัน ของตัวอย่าง CT,OP,G1P และG2P	86

รายการรูปประกอบ

รูป	หน้า
3.1 แบบหล่อตัวอย่างคอนกรีตด้วยอีพอกซี่ (Epoxy)	10
3.2 อ่างแช่คอนกรีตในสารละลายน้ำเดิมคลอร์ไรค์	10
3.3 การตัดตัวอย่างคอนกรีต	14
3.4 ตัวอย่างคอนกรีตที่หล่ออีพอกซี่ (Epoxy)	15
3.5 ตัวอย่างที่นำมาแช่ในสารละลายคลอร์ไรค์	15
3.6 ตัวอย่างที่ทำการผ่าซีกเพื่อฉีดสารละลายซิลเวอร์ไนเตรต (AgNO_3)	16
4.1 รูปถ่ายกำลังสูงของปูนซีเมนต์ปอร์ตแลนด์ประเภทที่ 1 และ 5	19
4.2 รูปถ่ายกำลังสูงของถ้าเกลน-เปลือกไม้	19
4.3 รูปถ่ายกำลังสูงของถ้าปาล์มน้ำมัน	20
4.4 การกระจายตัวอนุภาคของปูนซีเมนต์ปอร์ตแลนด์ประเภทที่ 1, ประเภทที่ 5 และถ้า เกลน-เปลือกไม้	22
4.5 การกระจายตัวอนุภาคของปูนซีเมนต์ปอร์ตแลนด์ประเภทที่ 1, ประเภทที่ 5 และถ้า ปาล์มน้ำมัน	23
4.6 ความสัมพันธ์ระหว่างกำลังอัดกับอายุบ่มของคอนกรีตที่ผสมถ้าเกลน-เปลือกไม้ OR	32
4.7 ความสัมพันธ์ระหว่างกำลังอัดกับอายุบ่มของคอนกรีตที่ผสมถ้าเกลน-เปลือกไม้ G1R	33
4.8 ความสัมพันธ์ระหว่างกำลังอัดกับอายุบ่มของคอนกรีตที่ผสมถ้าเกลน-เปลือกไม้ G2R	33
4.9 ความสัมพันธ์ระหว่างกำลังอัดและร้อยละการแทนที่ของถ้าเกลน-เปลือกไม้ที่ความ ละอียดต่างกันที่อายุ 28 วัน	34
4.10 ความสัมพันธ์ระหว่างกำลังอัดและร้อยละการแทนที่ของถ้าเกลน-เปลือกไม้ที่ความ ละอียดต่างกันที่อายุ 90 วัน	34
4.11 ความสัมพันธ์ระหว่างกำลังอัดและร้อยละการแทนที่ของถ้าเกลน-เปลือกไม้ที่ความ ละอียดต่างกันที่อายุ 360 วัน	35
4.12 ความสัมพันธ์ระหว่างกำลังอัดกับอายุของคอนกรีตที่ผสมถ้าปาล์มน้ำมัน OP	38
4.13 ความสัมพันธ์ระหว่างกำลังอัดกับอายุของคอนกรีตที่ผสมถ้าปาล์มน้ำมัน G1P	38
4.14 ความสัมพันธ์ระหว่างกำลังอัดกับอายุของคอนกรีตที่ผสมถ้าปาล์มน้ำมัน G2P	39
4.15 ความสัมพันธ์ระหว่างกำลังอัดและร้อยละการแทนที่ของถ้าปาล์มน้ำมันที่ความละอียด ต่างกันที่อายุ 28 วัน	39

4.16 ความสัมพันธ์ระหว่างกำลังอัดและร้อยละการแทนที่ของถ้าป้าล์มน้ำมันที่ความละเอียดต่างกันที่อายุ 90 วัน	40
4.17 ความสัมพันธ์ระหว่างกำลังอัดและร้อยละการแทนที่ของถ้าป้าล์มน้ำมันที่ความละเอียดต่างกันที่อายุ 360 วัน	40
4.18 ความสัมพันธ์ระหว่างการแทรกซึมคลอริโอดีเจ้าสูงค่อนกรีตและร้อยละการแทนที่ของถ้าแกลบ-เปลือกไม้ที่อายุ 90 วัน	44
4.19 ความสัมพันธ์ระหว่างการแทรกซึมคลอริโอดีเจ้าสูงค่อนกรีตและร้อยละการแทนที่ของถ้าแกลบ-เปลือกไม้ที่อายุ 360 วัน	45
4.20 ความสัมพันธ์ระหว่างขนาดอนุภาคเฉลี่ยและการแทรกซึมคลอริโอดีเจ้าสูงค่อนกรีตที่แทนที่ปูนซีเมนต์ด้วยถ้าแกลบ-เปลือกไม้ในอัตราเรือยละ 20 ที่ อายุ 360 วัน	46
4.21 ความสัมพันธ์ระหว่างการแทรกซึมคลอริโอดีเจ้าสูงค่อนกรีตและร้อยละการแทนที่ของถ้าป้าล์มน้ำมันที่อายุ 90 วัน	48
4.22 ความสัมพันธ์ระหว่างการแทรกซึมคลอริโอดีเจ้าสูงค่อนกรีตและร้อยละการแทนที่ของถ้าป้าล์มน้ำมันที่อายุ 360 วัน	48
4.23 ความสัมพันธ์ระหว่างขนาดอนุภาคเฉลี่ยและการแทรกซึมคลอริโอดีเจ้าสูงค่อนกรีตที่แทนที่ปูนซีเมนต์ด้วยถ้าป้าล์มน้ำมันในอัตราเรือยละ 20 ที่ อายุ 360 วัน	49
ข.1 กราฟแสดงการเปรียบเทียบการแทรกซึมคลอริโอดีเจ้าสูงค่อนกรีตที่อายุ 90 วัน ของตัวอย่าง CT,OR,G1R และ G2R	88
ข.2 กราฟแสดงการเปรียบเทียบการแทรกซึมคลอริโอดีเจ้าสูงค่อนกรีตที่อายุ 90 วัน ของตัวอย่าง CT,OP,G1P และ G2P	89
ข.3 กราฟแสดงการเปรียบเทียบการแทรกซึมคลอริโอดีเจ้าสูงค่อนกรีตที่อายุ 360 วัน ของตัวอย่าง CT,OR,G1R และ G2R	90
ข.4 กราฟแสดงการเปรียบเทียบการแทรกซึมคลอริโอดีเจ้าสูงค่อนกรีตที่อายุ 360 วัน ของตัวอย่าง CT,OP,G1P และ G2R	91

บทที่ 1 บทนำ

1.1 ความเป็นมา

เนื่องจากประเทศไทยเป็นประเทศอุตสาหกรรมการเกษตร ทำให้มีวัสดุที่เกิดจากผลผลิตทางการเกษตรมากมาย ทั้งที่ใช้เป็นประโยชน์ทางการค้าและบางส่วนเป็นของเหลือใช้หรือใช้ไม่ได้ ทำให้เกิดปัญหาทางด้านผลกระทบทางสิ่งแวดล้อมตามมาอย่างมาก many เช่น แกลง, เปลือกไม้ และกาบปาล์มน้ำมันเป็นต้น

แกลงเป็นของเหลือที่ได้มาจากการสีข้าว เปลือกไม้ได้มาจากการไม้ยูคาลิปตัสที่ใช้ทำเยื่อกระดาษ ส่วนกาบปาล์มน้ำมัน เป็นส่วนที่เหลือจากการสกัดน้ำมันปาล์มน้ำมัน ซึ่งในแต่ละวันมีปริมาณที่สูงแต่สามารถนำมาใช้ประโยชน์ได้น้อยเป็นผลทำให้เกิดปัญหาทางด้านสิ่งแวดล้อมตามมา อย่างไรก็ตาม ได้มีการพยายามนำวัสดุเหล่านี้ไปใช้เป็นเชื้อเพลิงชีวมวลเพื่อให้เกิดประโยชน์ เช่น มีการนำแกลง-เปลือกไม้ มาใช้เป็นเชื้อเพลิงในการผลิตกระแสไฟฟ้า และยังมีการนำกาบปาล์มน้ำมันมาเผาเพื่อผลิตกระแสไฟฟ้า ทำให้สามารถนำวัสดุเหลือใช้มาทำประโยชน์ได้และลดปัญหาสิ่งแวดล้อมทั้งทางตรง และทางอ้อม แต่ยังมีปัญหาที่เกิดจากถ้าแกลง-เปลือกไม้ซึ่งเกิดจากกระบวนการผลิตกระแสไฟฟ้าซึ่งมีลักษณะเป็นผงและน้ำหนักเบาสามารถพุ่งกระจายได้ ซึ่งก่อให้เกิดปัญหาทางด้านสภาวะแวดล้อม และต้องเสียค่าใช้จ่ายในการกำจัด ทำให้สิ้นเปลืองพลังงานในการนำไปทิ้ง ดังนั้นหากสามารถนำมาใช้ประโยชน์ได้ก็จะลดปัญหาดังกล่าวได้อย่างมาก

ถ้าแกลง-เปลือกไม้และถ้าปาล์มน้ำมันเป็นผลผลิตที่ได้จากการกระบวนการผลิตกระแสไฟฟ้าที่ได้ก่อตัวมาข้างต้น ซึ่งมีถ้าแกลง-เปลือกไม้จากการกระบวนการผลิตถึง 100,000 ตันต่อปีและถ้าปาล์มน้ำมันมีปริมาณ 107,000 ตันต่อปี (ปริญญา จินดาประเสริฐ และชัย ชาตรุพิทักษ์กุล, 2551) ปัจจุบันมีงานวิจัยและพัฒนาในด้านคุณสมบัติต่างๆของถ้าแกลง-เปลือกไม้ (ชัย ชาตรุพิทักษ์กุล และคณะ, 2545; ชตุพล ตั้งปภาติ และคณะ, 2548; Makaratat และคณะ, 2004) และถ้าปาล์มน้ำมัน (Tangchirapat และคณะ, 2007; จักรพล กลั่นนั่นคง และคณะ, 2543; Tay และคณะ, 1990; Hussin และ Awal, 1996; Jaturapitakkul และคณะ, 2007) อย่างต่อเนื่อง แต่ยังไม่เป็นที่แพร่หลายนัก ส่วนใหญ่เป็นการศึกษาในเรื่องกำลังอัดของมอร์ตาร์และคอนกรีต ซึ่งพบว่าถ้าแกลง-เปลือกไม้และถ้าปาล์มน้ำมันสามารถพัฒนาให้เป็นวัสดุป้องกันไฟได้ อย่างไรก็ตามงานวิจัยที่นำถ้าแกลง-เปลือกไม้และถ้าปาล์มน้ำมันมาใช้ในงานคอนกรีตยังเป็นเพียงการศึกษาเบื้องต้น จึงจำเป็นต้องมีงานวิจัยที่มากขึ้นเพื่อเป็นการยืนยันและพัฒนาคุณภาพของถ้าแกลง-เปลือกไม้และถ้าปาล์มน้ำมันก่อนการนำไปใช้ในงานจริง

การศึกษาคุณสมบัติในด้านความทันทานของถ้าแกลบ-เปลือกไม้และถ้าปาล์มน้ำมันยังมีไม่น่ากลัวและการศึกษาการแทรกซึมคลอไรด์เข้าสู่ค่อนกริตถือเป็นปัจจัยหนึ่งที่บ่งบอกถึงความทันทานของค่อนกริตเพราะการใช้งานค่อนกริตในบางกรณีมีความเสี่ยงต่อสภาวะที่มีสารละลายคลอไรด์ เช่นการใช้งานค่อนกริตในน้ำทะเล เมื่อสารละลายคลอไรด์ไม่สามารถแทรกซึมเข้าเนื้อค่อนกริตได้หรือแทรกซึมได้ช้าก็จะสร้างความเสียหายต่อค่อนกริตได้น้อย จึงกล่าวได้ว่าการแทรกซึมคลอไรด์เข้าสู่ค่อนกริต เป็นปัจจัยที่บ่งบอกความคงทนของค่อนกริต ซึ่งมีความสำคัญต่อการพัฒนาค่อนกริตที่ผสมถ้าแกลบ-เปลือกไม้และถ้าปาล์มน้ำมันเป็นอย่างมาก ดังนั้นในการศึกษาครั้งนี้จึงใช้ถ้าแกลบ-เปลือกไม้และถ้าปาล์มน้ำมันที่มีความละเอียดต่างกันเป็นวัสดุป้องโ Zhou Lan ในการแทนที่ปูนซีเมนต์ปอร์ตแลนด์เพื่อศึกษาถึงขั้นตอนและการแทรกซึมคลอไรด์เข้าสู่ค่อนกริต ซึ่งค่อนกริตที่มีคุณสมบัติที่ดีทั้ง 2 ข้อนี้สามารถนำไปใช้ในงานค่อนกริตที่ต้องการความทันทานสูงได้เป็นอย่างดี

1.2 วัตถุประสงค์

- ศึกษาถึงขั้นตอนของค่อนกริตที่ผสมถ้าแกลบ-เปลือกไม้และถ้าปาล์มน้ำมันที่ความละเอียด และปริมาณการแทนที่ปูนซีเมนต์ต่างกัน
- ศึกษาการแทรกซึมคลอไรด์เข้าสู่ค่อนกริตที่ผสมถ้าแกลบ-เปลือกไม้และถ้าปาล์มน้ำมันที่ความละเอียดและปริมาณการแทนที่ปูนซีเมนต์ต่างกัน
- ศึกษาความสัมพันธ์ระหว่างถึงขั้นตอนและการแทรกซึมคลอไรด์เข้าสู่ค่อนกริตของถ้าแกลบ-เปลือกไม้และถ้าปาล์มน้ำมันเพื่อหาอัตราการแทนที่ปูนซีเมนต์ที่เหมาะสมเพื่อนำไปใช้ในงานค่อนกริต

1.3 ขอบเขตของงานวิจัย

การศึกษาครั้งนี้ได้นำถ้าแกลบ-เปลือกไม้ที่ได้จากการผลิตกระแสไฟฟ้าของบริษัท ไทยเพาเวอร์ ซัพพลาย จำกัด และถ้าปาล์มน้ำมันจากบริษัท ชุมพรอุดสาหกรรมน้ำมันปาล์มน้ำมัน จำกัด (มหาชน) โดยแบ่งเป็น 3 ความละเอียดคือ ความละเอียดจากแหล่งผลิตโดยตรง, ความละเอียดปานกลางที่ผ่านการบดให้มีปริมาณอนุภาคค้างบนตะแกรงเบอร์ 325 ร้อยละ 15-20 และความละเอียดมากที่มีปริมาณอนุภาคค้างบนตะแกรงเบอร์ 325 น้อยกว่าร้อยละ 5 โดยนำหัวนัก ทำการตรวจสอบคุณสมบัติทางกายภาพ ได้แก่ ความถ่วงจำเพาะ ความละเอียดและลักษณะรูปร่าง รวมถึงองค์ประกอบทางเคมีของถ้าแกลบ-เปลือกไม้และถ้าปาล์มน้ำมัน

หล่อตัวอย่างคอนกรีตขนาดเส้นผ่านศูนย์กลาง 10 ซม. สูง 20 ซม. ออกแบบกำลังอัดของคอนกรีต
ควบคุม (คอนกรีตที่ไม่มีถ้าแกลบ-เปลือกไม้และถ้าปั๊มน้ำมันเป็นส่วนผสม) ที่อายุ 28 วันเท่ากับ
300 กก./ซม.² ควบคุมค่าการยุบตัวของคอนกรีต ทุกส่วนผสมให้อยู่ในช่วง 5-10 ซม. โดยการปรับ
ปริมาณน้ำในส่วนผสมของคอนกรีต แทนที่ปูนซีเมนต์ปอร์ตแลนด์ประเภทที่ 1 ด้วยถ้าแกลบ-
เปลือกไม้และถ้าปั๊มน้ำมันทั้ง 3 ความละเอียดในอัตราส่วนร้อยละ 10, 20, 30 และ 40 โดยน้ำหนัก
วัสดุประสาน นำตัวอย่างคอนกรีตไปแข็งในสารละลายคลอไรด์ความเข้มข้นร้อยละ 3 โดยน้ำหนัก
ทดสอบกำลังอัดที่อายุ 7, 28, 90 และ 360 วันและการแทรกซึมคลอไรด์เข้าสู่คอนกรีตที่อายุ 90 และ
360 วัน

1.4 เนื้อหาของวิทยานิพนธ์

บทที่ 1 ที่ได้กล่าวถึงที่มาของงานวิจัยใน บทที่ 2 ได้รวบรวมงานวิจัยที่เกี่ยวข้อง ได้แก่ ถ้าแกลบ-
เปลือกไม้ ถ้าปั๊มน้ำมัน การแทรกซึมคลอไรด์เข้าสู่คอนกรีต รวมถึงงานวิจัยที่ผ่านมาเกี่ยวกับ ถ้า
แกลบ-เปลือกไม้ ถ้าปั๊มน้ำมันและการแทรกซึมคลอไรด์เข้าสู่คอนกรีต บทที่ 3 กล่าวถึงวัสดุ
อุปกรณ์ที่ใช้ในการทดสอบ การทดสอบหาคุณสมบัติทางกายภาพและทางเคมีของถ้าแกลบ-เปลือก
ไม้และถ้าปั๊มน้ำมันตามมาตรฐานต่างๆ รวมถึงการทดสอบคุณกำลังอัดของคอนกรีต และการ
แทรกซึมคลอไรด์เข้าสู่คอนกรีต บทที่ 4 กล่าวถึงผลการทดสอบและการวิเคราะห์ผลการทดสอบ
ได้แก่ คุณสมบัติทางกายภาพและทางเคมีของถ้าแกลบ-เปลือกไม้และถ้าปั๊มน้ำมัน คุณสมบัติของ
คอนกรีต กำลังอัดและการแทรกซึมคลอไรด์เข้าสู่คอนกรีตและบทที่ 5 กล่าวถึงข้อสรุปของผลการ
ทดสอบและข้อเสนอแนะของงานวิจัยนี้เพื่อเป็นประโยชน์ในการใช้ถ้าแกลบ-เปลือกไม้และถ้าปั๊มน้ำมัน
ในงานคอนกรีตต่อไป ส่วนภาคผนวกแสดงการคำนวณกำลังอัดและการแทรกซึมคลอไรด์เข้าสู่
คอนกรีตของคอนกรีตควบคุมและคอนกรีตที่ผสมถ้าแกลบ-เปลือกไม้และถ้าปั๊มน้ำมัน

บทที่ 2 งานวิจัยที่เกี่ยวข้อง

บทนี้กล่าวถึงที่มา ปัญหา และการนำไปใช้ของถ้าแกลบ-เปลือกไม้และถ้าปาล์มน้ำมัน ซึ่งทั้งถ้าแกลบ-เปลือกไม้และถ้าปาล์มน้ำมันเป็นผลผลิตได้จากโรงงานผลิตกระแสไฟฟ้า และกล่าวถึงการแทรกซึมคลอไรด์เข้าสู่ค่อนกรีต ซึ่งเป็นคุณสมบัติด้านความทนทานของค่อนกรีต รวมถึงงานวิจัยที่เกี่ยวข้องกับถ้าแกลบ-เปลือกไม้ ถ้าปาล์มน้ำมัน และการแทรกซึมคลอไรด์เข้าสู่ค่อนกรีต

2.1 เถ้าแกลบ-เปลือกไม้และถ้าปาล์มน้ำมัน

โรงงานผลิตกระแสไฟฟ้าจากเชื้อเพลิงชีวนิเวศน์แห่ง ได้มีการใช้แกลบจากโรงงานสีขาวและเปลือกไม้ยูคาลิปตัสที่ได้จากโรงงานผลิตเยื่อกระดาษมาเป็นวัตถุคิดในการเผาเพื่อให้พลังงานความร้อน มีอัตราส่วนระหว่างแกลบต่อเปลือกไม้ก่อนการเผาเท่ากับ 65:35 โดยน้ำหนัก ใช้อุณหภูมิในการเผาประมาณ 800-900°C เมื่อเผาเสร็จจะมีถ้าแกลบ-เปลือกไม้เหลือจากการเผาซึ่งกองทิ้งไว้และมีการระดับน้ำเพื่อคงอุณหภูมิและป้องกันฝุ่นฟุ้งกระจายในบริเวณใกล้เคียง เถ้าแกลบ-เปลือกไม้มีปริมาณที่มาก จึงเกิดปัญหาในการจัดเก็บและหาที่ทิ้ง

นอกจากแกลบและเปลือกไม้แล้วยังมีโรงงานผลิตกระแสไฟฟ้าจากเชื้อเพลิงชีวนิเวศน์ที่ใช้ ทะลายปาล์มน้ำมัน เปลาลีกปาล์มน้ำมัน และถ้าปาล์มน้ำมัน เป็นวัตถุคิดในการเผาเพื่อให้พลังงานความร้อน ซึ่งวัสดุเหล่านี้มาจาก การผลิตน้ำมันปาล์มน้ำมัน เพื่อให้เกิดการเผาใหม่ที่ดีขึ้น ได้มีการนำทะลายปาล์มน้ำมันและเปลือกปาล์มน้ำมันไปผ่านกระบวนการตีให้เป็นเส้นจากนั้นจึงนำไปเผากับถ้าปาล์มน้ำมันโดยใช้เทคโนโลยีการเผาใหม่ระบบฟลูอิด ไอดีบีด (Fluidized Bed Combustion, FBC) อุณหภูมิที่ใช้ในการเผาใหม่ประมาณ 700-1000°C เถ้าปาล์มน้ำมันเป็นสิ่งที่เหลือจากการเผา ซึ่งมีลักษณะเป็นผงฝุ่น น้ำหนักเบาและฟุ้งกระจาย อีกทั้งยังมีปริมาณมาก ก่อให้เกิดผลกระทบภาวะต่อสิ่งแวดล้อม

2.2 การแทรกซึมคลอไรด์เข้าสู่ค่อนกรีต

ค่อนกรีตที่ดีต้องมีกำลังตามต้องการและทนทานต่อสภาพดินฟ้าอากาศหรือสภาพแวดล้อมตลอดอายุ การใช้งาน ความทนทานของค่อนกรีตหมายถึง การทนทานต่อสภาพการกัดกร่อน ไม่ว่าจะเป็นทางเคมี ทางกล หรือทางกายภาพ การแทรกซึมคลอไรด์เข้าสู่ค่อนกรีตคือ การแทรกซึมของคลอไรด์ที่ซึมเข้าสู่เนื้อค่อนกรีตโดยมีน้ำเป็นตัวนำพา ในกรณีที่น้ำซึมผ่านได้ก่อนข้างซ้ำ และน้ำที่มีคลอไรด์ละลายอยู่จะซึมเข้าสู่เนื้อค่อนกรีตไปทำปฏิกิริยากับเหล็กเสริมที่อยู่ในเนื้อค่อนกรีต เป็นผลทำให้เหล็กเสริมที่อยู่ในค่อนกรีตเป็นสนิมและการเบ่งของสนิมเหล็กและดันค่อนกรีตที่หุ้มเหล็กเสริมให้เกิดรอยร้าว

และหลุดล่อนออกมานอกในที่สุด การแทรกซึมคลอไรด์เข้าสู่คอนกรีตจึงเป็นปัจจัยที่บ่งบอกถึงความคงทนของคอนกรีตในสภาพแวดล้อมที่มีสารละลายคลอไรด์ การทดสอบหาการซึมแทรกคลอไรด์เข้าสู่คอนกรีตยังไม่มีมาตรฐานที่แน่นอน ปัจจุบันงานวิจัยส่วนใหญ่ในด้านการแทรกซึมคลอไรด์เข้าสู่คอนกรีตทำขึ้นในต่างประเทศ ส่วนในประเทศไทยมีงานวิจัยในด้านการแทรกซึมคลอไรด์เข้าสู่คอนกรีตน้อยมาก

Bai และคณะ (2003) ได้ทดลองหล่อคอนกรีต ซึ่งใช้ปูนซีเมนต์ เถ้าถ่านหิน และดินขาวเพา (Metakaolin) เป็นวัสดุประสาน เพื่อศึกษาการแทรกซึมคลอไรด์ และกำลังอัดของคอนกรีตที่แข็งในน้ำทะเลสังเคราะห์เป็นเวลา 18 เดือน พบว่าการแทนที่ปูนซีเมนต์ด้วยเถ้าถ่านหินในอัตราส่วนร้อยละ 30 ช่วยให้ความเข้มข้นและความสามารถในการแทรกซึมคลอไรด์ลดลง ซึ่งสามารถเห็นผลได้ชัดเจนขึ้น เมื่อระยะเวลาการแข็งน้ำทะเลนานขึ้น

Thomas และ Matthews (2004) ได้ทำการเก็บข้อมูลคอนกรีตที่อยู่ในสภาพแวดล้อมทะเลเป็นเวลา 10 ปี คอนกรีตดังกล่าวแข็งน้ำทะเลอยู่ที่ Building Research Establishment (BRE) บริเวณปากแม่น้ำ Thames Estuary เมือง Shoe Buryness ประเทศอังกฤษ Thomas รายงานว่า คอนกรีตที่ผสมเถ้าถ่านหินช่วยด้านทานปริมาณคลอไรด์ที่พยากรณ์ซึมเข้าในคอนกรีตได้ดีกว่าคอนกรีตที่ไม่ผสมเถ้าถ่านหิน และการบ่มคอนกรีตให้นานขึ้นมีผลต่อการซึมน้ำคลอไรด์เพียงเล็กน้อยเมื่อคอนกรีตนั้นแข็งในน้ำทะเลเป็นเวลานาน ขณะที่ผลการทดสอบของการเพิ่มกำลังอัดที่มีต่อการด้านทานคลอไรด์ มีอิทธิพลน้อยกว่าการเพิ่มปริมาณเถ้าถ่านหินในส่วนผสม

ในประเทศไทย ปริญญา จินดาประเสริฐ และอุกฤษฎ์ โจรศรี (2548) ได้หล่อคอนกรีตที่ผสมเถ้าถ่าน และเถ้าแกลบในปริมาณร้อยละ 40 ถึง 80 ทดสอบความสามารถในการด้านทานการแทรกซึมคลอไรด์ ตามมาตรฐาน ASTM C 1202 พบว่า คอนกรีตที่ผสมเถ้าถ่านและเถ้าแกลบสามารถด้านทานการแทรกซึมได้ดีกว่าคอนกรีตควบคุม การเพิ่มปริมาณเถ้าถ่านและเถ้าแกลบทำให้ความสามารถในการด้านทานดีขึ้น ส่วนความสามารถในด้านการรับกำลังอัด คอนกรีตที่ผสมเถ้าถ่านและเถ้าแกลบในอัตราส่วนร้อยละ 20 ที่อายุ 28 วัน ให้กำลังอัดที่ใกล้เคียงกับคอนกรีตควบคุม และที่อายุ 90 วัน กำลังอัดเพิ่มสูงขึ้น กว่าคอนกรีตควบคุม ทั้งนี้เนื่องจาก อิทธิพลของการเกื้อหนุนกัน (Synergic Effect) ระหว่างวัสดุปูชโซล่านาทั้งสอง

จากการศึกษาข้างต้นเห็นได้ว่าการศึกษาในด้านการแทรกซึมคลอไรด์เข้าสู่คอนกรีตที่ผสมเถ้าถ่าน-เปลือกไม้และเถ้าปาล์มน้ำมัน มีความสำคัญที่ใช้ยืนยันว่าเถ้าแกลบ-เปลือกไม้และเถ้าปาล์มน้ำมันสามารถเป็นวัสดุปูชโซล่านาที่ดีในงานคอนกรีตได้ จึงเป็นแนวคิดของการทำวิจัยครั้งนี้เพื่อเป็น

ประโยชน์ในการพัฒนาและยืนยันการใช้ถ้าแกลบ-เปลือกไม้และถ้าปาล์มน้ำมันในงานคونกรีตให้เป็นที่รู้จักมากขึ้น

2.3 งานวิจัยที่ผ่านมาของถ้าแกลบ-เปลือกไม้และถ้าปาล์มน้ำมัน

ข้อ จาตุรพิทักษ์กุล และคณะ (2545) ได้ศึกษาคุณสมบัติค้านกำลังอัดของมอร์ตาร์ที่ผสมถ้าแกลบ-เปลือกไม้ พบร่วมถ้าแกลบ-เปลือกไม้ที่ไม่ผ่านการบด มีคุณสมบัติการเป็นวัสดุปูชชาโฉลนที่ต่ำมาก และได้พัฒนาคุณภาพถ้าแกลบ-เปลือกไม้โดยการนำมาบดละเอียด ทำให้ถ้าแกลบ-เปลือกไม้มีคุณสมบัติการเป็นวัสดุปูชชาโฉลนที่ดี สามารถนำมาใช้ประโยชน์ในงานคุนกรีตได้ ต่อมากุญแจ (2548) ได้ศึกษาดัชนีกำลังที่เกิดจากปฏิกิริยาปูชชาโฉลนของถ้าแกลบ-เปลือกไม้ที่มีปริมาณอนุภาคค้างบนตะแกรงเบอร์ 325 เท่ากับร้อยละ 5±2 พบร่วมปฏิกิริยาปูชชาโฉลนของถ้าแกลบ-เปลือกไม้เริ่มต้นที่อายุ 3 วัน และมอร์ตาร์ที่มีถ้าแกลบ-เปลือกไม้เป็นส่วนผสมในอัตราส่วนร้อยละ 20 สามารถพัฒนากำลังอัดสูงกว่ามอร์ตาร์ควบคุมที่อายุ 28 วัน

ณัฐพงษ์ มงคลธช (2547) ได้ศึกษากำลังอัดและการขยายตัวของคุนกรีตที่ผสมถ้าแกลบ-เปลือกไม้ พบร่วม การเพิ่มปริมาณการแทนที่ถ้าแกลบ-เปลือกไม้ในปูนซีเมนต์ส่งผลให้ระยะเวลาการก่อตัวทั้งระยะต้นและระยะปลายนานยิ่งขึ้น ส่วนการขยายตัวของคุนกรีตที่ผสมถ้าแกลบ-เปลือกไม้ที่บดละเอียดมากที่มีปริมาณอนุภาคค้างบนตะแกรงเบอร์ 325 น้อยกว่าร้อยละ 5 โดยน้ำหนัก มีค่าน้อยกว่าคุนกรีตที่ใช้ปูนซีเมนต์ปอร์ตแลนด์ประเภทที่ 1 และการขยายตัวมีค่าลดลงเมื่อเพิ่มปริมาณการแทนที่ของถ้าแกลบ-เปลือกไม้ที่บดละเอียดปานกลางและบดละเอียดมากให้สูงขึ้น และเมื่อแทนที่ถ้าแกลบ-เปลือกไม้ในปริมาณที่สูงๆ (ร้อยละ 30 และ 40) ยังส่งผลให้เกิดความเสียหายเนื่องจากการทำลายของสารละลายแมgnีเซียมซัลเฟตมากอีกด้วย

ส่วนงานวิจัยค้านคุนกรีตกำลังสูง วันชัย สะตะ และคณะ(2546) ได้ศึกษาการใช้ถ้าแกลบ-เปลือกไม้ในการทำคุนกรีตกำลังสูงโดยใช้ถ้าแกลบ-เปลือกไม้ที่บดละเอียดที่มีขนาดค้างบนตะแกรงมาตรฐานเบอร์ 325 ไม่เกินร้อยละ 2 พบร่วมคุนกรีตกำลังสูงที่ผสมถ้าแกลบ-เปลือกไม้ให้กำลังอัดสูงกว่าคุนกรีตกำลังสูงที่ใช้ปูนซีเมนต์เพียงอย่างเดียว แต่กำลังอัดต่ำกว่าคุนกรีตที่มีซิลิกาฟูมควบแน่นร้อยละ 10 ที่อายุ 90 วัน อย่างไรก็ตามการใช้ซิลิกาฟูมควบแน่นมีราคาแพง เพราะต้องนำเข้าจากต่างประเทศ ส่วนถ้าแกลบ-เปลือกไม้ที่น้ำมีราคาถูกกว่า ทั้งยังช่วยลดการนำถ้าเหล่านี้ไปทิ้งและเป็นการลดปัญหาน้ำภาวะต่อสิ่งแวดล้อมไปในตัวด้วย

ปี ค.ศ. 1990 มีการศึกษาการใช้ถ้าปาล์มน้ำมันแทนที่ปูนซีเมนต์ในคอนกรีตโดย Tay (1990) ซึ่งได้นำถ้าปาล์มน้ำมันมาแทนที่ปูนซีเมนต์ในอัตราร้อยละ 10 ถึง 50 โดยนำหนักวัสดุประสานผลการทดสอบพบว่าคอนกรีตที่ผสมถ้าปาล์มน้ำมันให้กำลังอัดที่ต่ำ ความหนาแน่นน้อย และมีการดูดซึมน้ำมาก ทั้งนี้ เพราะถ้าปาล์มน้ำมันที่ไม่ผ่านการบดมีอนุภาคขนาดใหญ่จึงไม่เหมาะสมสำหรับใช้ในงานคอนกรีต (Tay และ Show , 1995)

ต่อมาในปี ค.ศ. 1996 Hussin และ Awal (1996) ทำการปรับปรุงคุณภาพถ้าปาล์มน้ำมันโดยการบดถ้าปาล์มน้ำมันให้มีความละเอียดมากขึ้น และใช้แทนที่ปูนซีเมนต์ในอัตราส่วนร้อยละ 10 ถึง 60 โดยนำหนักของวัสดุประสานพบว่าคอนกรีตที่ผสมถ้าปาล์มน้ำมันมีกำลังอัดที่ต่ำกว่าคอนกรีตควบคุมที่อายุ 28 วัน แต่หลังจากนั้นคอนกรีตที่ผสมถ้าปาล์มน้ำมันสามารถพัฒนากำลังอัดให้สูงขึ้นได้ โดยที่คอนกรีตที่ผสมถ้าปาล์มน้ำมันในอัตราส่วนร้อยละ 30 ของวัสดุประสานมีกำลังอัดสูงที่สุด และคอนกรีตที่ผสมถ้าปาล์มน้ำมันยังมีคุณสมบัติต้านทานการกัดกร่อนเนื่องจากสารละลายกรดไฮดรอกลอริกได้ดีกว่าคอนกรีตที่มีปูนซีเมนต์เป็นวัสดุประสานเพียงอย่างเดียว Ishida และคณะ(1999)ได้ศึกษาเกี่ยวกับการทดสอบตัวของคอนกรีตที่ใช้ถ้าปาล์มน้ำมันเป็นส่วนผสมในคอนกรีต โดยบ่มแห่งคอนกรีตในน้ำเป็นเวลา 7 วัน จากนั้นบ่มในอุณหภูมิห้องจนถึงอายุ 91 วัน พบว่าแห่งคอนกรีตที่ผสมถ้าปาล์มน้ำมันร้อยละ 30 มีค่าการทดสอบตัวน้อยกว่าแห่งคอนกรีตที่ใช้ปูนซีเมนต์เป็นวัสดุประสานเพียงอย่างเดียว แสดงให้เป็นว่าคอนกรีตที่ผสมถ้าปาล์มน้ำมันมีคุณสมบัติในการเพิ่มความทนทานให้กับคอนกรีต

จักรพล กลั่นนั่นคง และคณะ (2543) ทำการศึกษาถ้าปาล์มน้ำมันในประเทศไทย พบว่าถ้าปาล์มน้ำมันที่เพิ่มคุณภาพด้วยการบดให้มีความละเอียดสูงมีศักยภาพเพียงพอสามารถนำมาใช้เป็นวัสดุปูชโซลาม และการศึกษาต่อมาของ สุรพันธ์ สุคันธปรีดี และคณะ (2545) พบว่ามอร์ตาร์ที่ผสมถ้าปาล์มน้ำมันที่มีความละเอียดสูงแทนที่ปูนซีเมนต์ในอัตราส่วนไม่เกินร้อยละ 20 มีค่าดัชนีกำลังอัดที่อายุ 7 และ 28 วัน สูงกว่าร้อยละ 75 เมื่อเทียบกับมอร์ตาร์ควบคุม ซึ่งสอดคล้องกับการศึกษาของ Tangchirapat และคณะ (2007) ที่พบว่าถ้าปาล์มน้ำมันมีคุณสมบัติเป็นวัสดุปูชโซลามที่ดีเมื่อมีความละเอียดสูง โดยมอร์ตาร์ที่ผสมถ้าปาล์มน้ำมันที่บดละเอียดมากมีค่าดัชนีกำลังที่อายุ 7 และ 28 วัน สูงกว่าร้อยละ 90 และยังพบว่าสามารถต้านทานการกัดกร่อนชัลเฟต์ได้อีกด้วย ล้วน วันชัย สะตะ และ คณะ (2546) ได้นำถ้าปาล์มน้ำมันมาใช้ผสมในคอนกรีตกำลังสูง พบว่าคอนกรีตที่ผสมถ้าปาล์มน้ำมันในอัตราส่วนร้อยละ 10 ถึง 30 ให้กำลังอัดเมื่อเทียบกับคอนกรีตควบคุมคิดเป็นร้อยละ 100 ถึง 113 โดยการแทนที่ร้อยละ 20 มีแนวโน้มให้กำลังอัดสูงสุด

การศึกษาคุณสมบัติของถ้าแกลบ-เปลี่ยกไม้และถ้าปาล์มน้ำมันที่ผ่านมา ส่วนใหญ่เป็นการศึกษาด้านกำลังอัด แต่การศึกษาการแทรกซึมผ่านคลอไรด์เข้าสู่คอนกรีตที่ผสมถ้าแกลบ-เปลี่ยกไม้และถ้าปาล์มน้ำมัน มีน้อยมาก ซึ่งการศึกษาระดับนี้จะเป็นประโยชน์ในการนำถ้าแกลบ-เปลี่ยกไม้และถ้าปาล์มน้ำมันไปใช้งานคอนกรีตต่อไป

บทที่ 3 วิธีการทดสอบ

บทนี้กล่าวถึงวัสดุที่ใช้ในการศึกษา อุปกรณ์ เครื่องมือที่ใช้ในการทดสอบ การเตรียมวัสดุที่ใช้ในการศึกษา การออกแบบและส่วนผสมคอนกรีตที่ใช้ในการทดสอบ วิธีการทดสอบตามมาตรฐานต่างๆ วิธีการทดสอบตัวอย่างคอนกรีตเพื่อหาการแทรกซึมคลอร่าไรด์เข้าสู่คอนกรีต

3.1 วัสดุที่ใช้ในการทดสอบ

- 3.1.1 ปูนซีเมนต์ปอร์ตแลนด์ประเภทที่ 1 และประเภทที่ 5
- 3.1.2 เถ้าเกลบ-เปลือกไม้จาก บริษัท ไทยเพาเวอร์ ชัพพลาย จำกัด จังหวัดฉะเชิงเทรา
- 3.1.3 เถ้าป่าล่มน้ำมน้ำจาก บริษัท ชุมพรอุดสาหกรรมน้ำมน้ำป่าล่ม จำกัด (มหาชน)
- 3.1.4 ทรายแม่น้ำ
- 3.1.5 หินปูนย่อยขนาดโตสุดไม่เกิน 3/4 นิ้ว

3.2 อุปกรณ์และเครื่องมือที่ใช้ในการทดสอบ

- 3.2.1 เครื่องถ่ายภาพขยายกำลังสูง (Scanning Electron Microscope)
- 3.2.2 เครื่องบด (Grinding Machine)
- 3.2.3 ตะแกรงมาตรฐานเบอร์ 325 สำหรับวิเคราะห์ขนาด
- 3.2.4 ชุดทดสอบหาค่าความถ่วงจำเพาะ
- 3.2.5 เครื่องผสมคอนกรีต
- 3.2.6 แบบหล่อตัวอย่างคอนกรีตทรงกระบอกขนาดเส้นผ่าศูนย์กลาง 10 ซม. สูง 20 ซม.
- 3.2.7 ชุดทดสอบการยุบตัวของคอนกรีต
- 3.2.8 เครื่องสำหรับตัดตัวอย่างคอนกรีต
- 3.2.9 อุปกรณ์สำหรับขัดผิwtัวอย่างคอนกรีต เช่น แปรงลวด เป็นต้น
- 3.2.10 เครื่องทดสอบกำลังอัด
- 3.2.11 สารละลายนิتروร์ไนเตอร์ (AgNO_3) ความเข้มข้น 0.1 N
- 3.2.12 แบบหล่อตัวอย่างคอนกรีตด้วย Epoxy (รูปที่ 3.1)
- 3.2.13 เครื่องซั่งน้ำหนัก
- 3.2.14 Epoxy
- 3.2.15 สารละลายนิโตร์ไนเตอร์ (NaCl)
- 3.2.16 อ่างแช่สารละลายนิโตร์ไนเตอร์ (รูปที่ 3.2)
- 3.2.17 ระบบอกรีดพ่นสารละลายนิตร์ไนเตอร์ในเตรต



รูปที่ 3.1 แบบหล่อตัวอย่างคอนกรีตด้วยอีพอกซี (Eproxy)



รูปที่ 3.2 อ่างแช่คอนกรีตในสารละลายน้ำโซเดียมคลอไรด์

3.3 วิธีการทดสอบ

วิธีการศึกษาของวิทยานิพนธ์นี้ได้แบ่งออกเป็นขั้นตอนต่างๆ โดยเริ่มตั้งแต่การเตรียมวัสดุ จนถึงการทดสอบตัวอย่างคอนกรีต ดังนี้

3.3.1 การเตรียมตัวอย่างวัสดุ

นำถ้าแกลบ-เปลือกไม้ (RHBA) จากบริษัทไทยเพาเวอร์ซัพพลายจำกัด จังหวัดฉะเชิงเทรา โดย RHBA ที่ได้จากโรงงานโดยตรงนำมาตากแดดให้แห้งใช้สัญลักษณ์ OR จากนั้นนำมาบดให้มีอนุภาคค้างบนตะแกรงมาตรฐานเบอร์ 325 ในช่วงร้อยละ 15 – 20 และน้อยกว่าร้อยละ 5 โดยนำหันก ใช้สัญลักษณ์ G1R และ G2R ตามลำดับ

นำถ้าปาล์มน้ำมัน (POFA) จาก บริษัท ชุมพรอุตสาหกรรมน้ำมันปาล์มจำกัด (มหาชน) จังหวัดชุมพร โดย POFA ที่ได้จากโรงงานโดยตรงนำมาตากแดดให้แห้งใช้สัญลักษณ์ OP จากนั้นนำมาบดให้มีอนุภาคค้างบนตะแกรงมาตรฐานเบอร์ 325 ในช่วงร้อยละ 15 – 20 และน้อยกว่าร้อยละ 5 โดยนำหันก ใช้สัญลักษณ์ G1P และ G2P ตามลำดับ

3.3.2 การทดสอบคุณสมบัติของวัสดุที่ใช้ในงานวิจัย

3.3.2.1 ทดสอบความถ่วงจำเพาะของปูนซีเมนต์ปอร์ตแลนด์ประเภทที่ 1, ประเภทที่ 5, ถ้าแกลบ-เปลือกไม้และถ้าปาล์มน้ำมัน โดยใช้ขวดทดลอง Le Chatelier ตามมาตรฐาน ASTM C 188 (American Society for Testing and Materials, 2009) ซึ่งค่าความถ่วงจำเพาะเป็นอัตราส่วนระหว่างน้ำหนักของวัสดุต่อน้ำหนักของของเหลวที่มีปริมาตรเท่ากับวัสดุนั้น โดยการทดสอบนี้ใช้น้ำมันกีดเป็นของเหลวในการทดสอบเนื่องจากไม่ทำปฏิกิริยากับวัสดุที่ทดสอบ

3.3.2.2 ทดสอบน้ำหนักค้างบนตะแกรงเบอร์ 325 (มีขนาดช่องเปิดเท่ากับ 45 ไมโครเมตร) ของถ้าแกลบ-เปลือกไม้และถ้าปาล์มน้ำมัน ด้วยวิธี Wet Sieve Analysis ซึ่งทำโดยการนำเอาตัวอย่างมาร่อนผ่านตะแกรงโดยใช้น้ำ เมื่อน้ำไปอบให้แห้งจะได้ส่วนที่เหลือบนตะแกรง ซึ่งเป็นน้ำหนักที่ค้างบนตะแกรงเบอร์ 325

3.3.2.4 วิเคราะห์การกระจายตัวของอนุภาค (Particle Size Distribution) ของปูนซีเมนต์ปอร์ตแลนด์ประเภทที่ 1, ประเภทที่ 5, ถ้าแกลบ-เปลือกไม้และถ้าปาล์มน้ำมัน โดยการทดสอบด้วยเครื่อง Particle Size Analyzer Microtrac (Standard Range Analyzer : Model 7997-10 : Size 0.7 to 700 microns)

3.3.2.5 ถ่ายภาพขยายกำลังสูงของปูนซีเมนต์ปอร์ตแลนด์ประเภทที่ 1, ประเภทที่ 5, เถ้าเกลบ- เปลือก ไม้และถ้าปั๊มน้ำมัน ด้วยเครื่อง Scanning Electron Microscope (SEM) เพื่อศึกษาลักษณะรูปร่างของวัสดุที่ใช้ศึกษา

3.3.2.6 วิเคราะห์องค์ประกอบทางเคมีของปูนซีเมนต์ปอร์ตแลนด์ประเภทที่ 1, ประเภทที่ 5, เถ้าเกลบ- เปลือก ไม้และถ้าปั๊มน้ำมันด้วยเครื่อง X-Ray Fluorescence (XRF)

3.3.3 การเตรียมตัวอย่างคอนกรีต

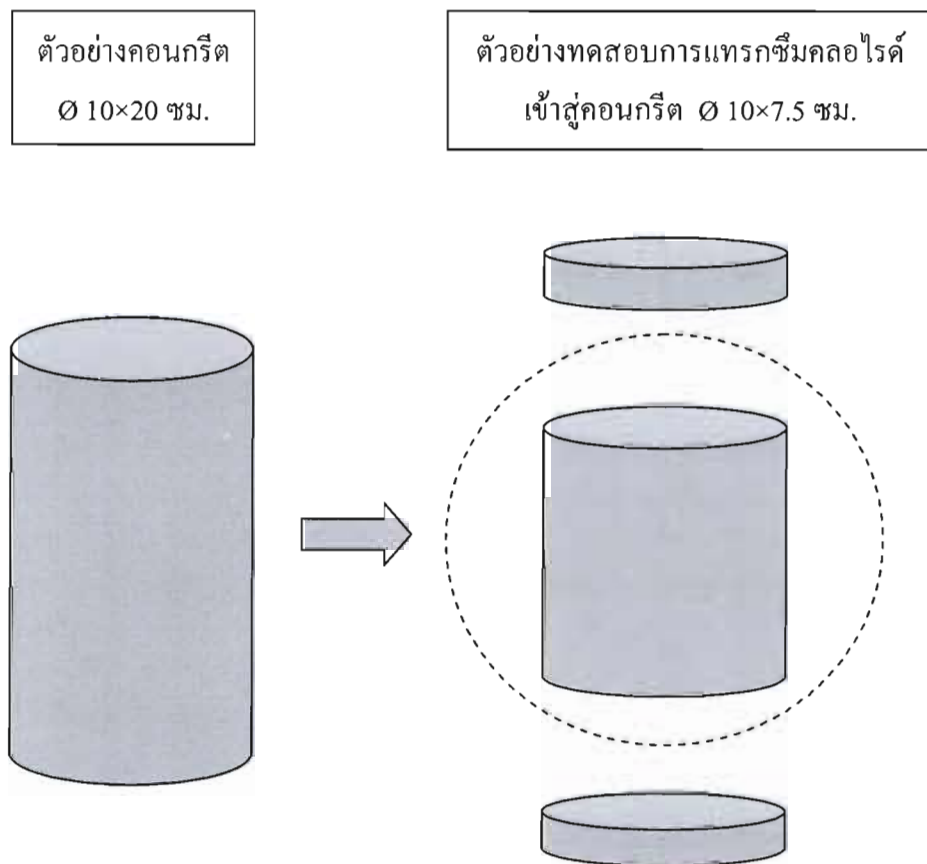
การศึกษานี้ได้ออกแบบกำลังอัดของคอนกรีตควบคุม (คอนกรีตที่ใช้ปูนซีเมนต์ปอร์ตแลนด์ประเภทที่ 1 และ 5 เป็นวัสดุประสาน) ที่อายุ 28 วันเท่ากับ 300 กก./ซม^2 ควบคุมค่าการยุบตัวของคอนกรีตทุกส่วนผสมให้อยู่ในช่วงระหว่าง 5-10 ซม. โดยปรับปริมาณน้ำในส่วนผสมของคอนกรีต จากนั้นแทนที่ปูนซีเมนต์ปอร์ตแลนด์ประเภทที่ 1 ด้วยถ้าเกลบ-เปลือกไม้หรือถ้าปั๊มน้ำมันแต่ละความละเอียดในอัตราส่วนร้อยละ 10, 20, 30 และ 40 โดยนำหนักวัสดุประสานเพื่อหล่อคอนกรีตขนาดเส้นผ่านศูนย์กลาง 10 ซม. สูง 20 ซม. โดยอัตราส่วนผสมของคอนกรีตได้แสดงในตารางที่ 3.1 ทำการทดสอบแบบคอนกรีตที่อายุ 1 วัน จากนั้นนำตัวอย่างคอนกรีตไปปั่นในน้ำประปา ทดสอบกำลังอัดที่อายุ 7, 28, 90 และ 360 วัน สำหรับการทดสอบการแทรกซึมคลอร์ไรด์เข้าสู่คอนกรีต นำคอนกรีตภายนอกจากน้ำในน้ำประปา 14 วันมาตัดและหล่ออีพอกซี่ (Epoxy) หุ้มตัวอย่างอีก 1 วันจากนั้นนำไปแช่ในสารละลายโซเดียมคลอร์ความเข้มข้นร้อยละ 3 โดยนำหนักน้ำจันคอนกรีตมีอายุ 90 และ 360 วัน

ตารางที่ 3.1 อัตราส่วนผสม อัตราส่วนน้ำต่อวัสดุประสาน และค่าขุนตัวของคอนกรีตผสมถ่านเกลือบ-เปลือกไม้และถ่านปาล์มน้ำมันที่ใช้ในการศึกษา

Mixes	Mix Proportion (kg/m ³)					W/B	Slump (cm)
	Cement	RHBA or POFA	Water	Sand	Coarse Aggregate		
CT1	300	0	210	915	1080	0.70	7.0
CT5	300	0	210	915	1080	0.70	6.0
OR10	270	30	216	900	1065	0.75	8.0
OR20	240	60	231	875	1035	0.81	7.5
G1R10	270	30	216	900	1065	0.74	9.0
G1R20	240	60	219	895	1055	0.74	8.0
G1R30	210	90	219	890	1050	0.75	8.0
G1R40	180	120	222	880	1040	0.77	7.5
G2R10	270	30	204	920	1085	0.69	7.0
G2R20	240	60	210	905	1070	0.71	6.5
G2R30	210	90	213	900	1060	0.71	6.5
G2R40	180	120	216	890	1050	0.72	7.5
OP10	270	30	216	900	1065	0.72	8.0
OP20	240	60	231	875	1035	0.77	7.0
G1P10	270	30	216	900	1065	0.72	8.0
G1P20	240	60	219	895	1055	0.73	9.0
G1P30	210	90	219	890	1050	0.73	8.0
G1P40	180	120	222	880	1040	0.74	9.5
G2P10	270	30	204	920	1085	0.68	5.5
G2P20	240	60	210	905	1070	0.70	6.5
G2P30	210	90	213	900	1060	0.71	7.5
G2P40	180	120	216	890	1050	0.72	9.0

3.3.4 การทดสอบการแทรกซึมคลอร์ไรด์เข้าสู่ผ่านคอนกรีต

เตรียมตัวอย่างทดสอบโดยนำคอนกรีตขนาดเส้นผ่านศูนย์กลาง 10 ซม. สูง 20 ซม. ที่บ่มในน้ำประปา 14 วัน มาตัดตามยาวที่ตำแหน่งตรงกลางของแท่งตัวอย่าง โดยให้มีขนาดความสูง 7.5 ซม. ดังแสดงในรูปที่ 3.3 แล้วทำการทดสอบความสามารถผิวของก้อนตัวอย่างให้สะอาดปราศจากฝุ่น หลังจากนั้นทำการหล่ออีพอกซี (Epoxy) โดยรอบของตัวอย่าง ให้มีความหนาโดยรอบประมาณ 1 ซม. จากผิวตัวอย่างคอนกรีต และหล่อปิดหน้าตัดหนึ่งด้านให้เหลือหน้าตัดคอนกรีตไว้ด้านหนึ่งเพื่อให้สารละลายคลอร์สามารถซึมผ่านเข้าไปได้เพียงด้านเดียวดังแสดงในรูปที่ 3.4

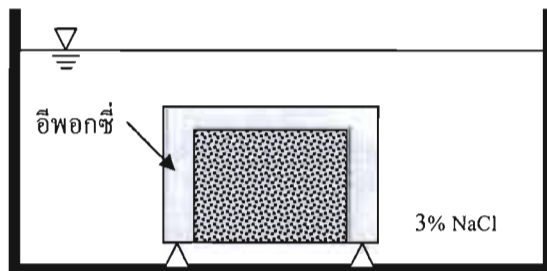


รูปที่ 3.3 การตัดตัวอย่างคอนกรีต



รูปที่ 3.4 ตัวอย่างคอนกรีตที่หล่ออีพอกซี (Epoxy)

หลังจากหล่ออีพอกซีเป็นเวลา 24 ชั่วโมง จึงนำตัวอย่างมาแซ่ในสารละลายน้ำโซเดียมคลอไรด์ความเข้มข้นร้อยละ 3 โดยน้ำหนัก โดยวางตัวอย่างให้ด้านที่ไม่ได้ถูกอีพอกซีหล่อปิดคว่ำหน้าลง ดังแสดงในรูปที่ 3.5 เมื่อถึงขาขุ่นทดสอบนำตัวอย่างขึ้นจากน้ำสารละลายน้ำโซเดียมคลอไรด์ (NaCl) มาทำการกดตัวอย่างแบบผ่าซีก (Splitting) เพื่อให้ตัวอย่างแตกออกจากกันตามแนวยาวและฉีดสารละลายน้ำโซเดียมคลอไรด์ที่แทรกซึมเข้าสู่คอนกรีต



รูปที่ 3.5 ตัวอย่างที่นำมาแซ่ในสารละลายน้ำโซเดียมคลอไรด์

การฉีดสารเคมีชิลเวอร์ (AgNO_3) ความเข้มข้น 0.1 N ลงบนเนื้อคอนกรีตที่ทำการผ่าซีก ซึ่งหากคลอไรด์แทรกซึมไปถึงตำแหน่งใดสีของสารเคมีจะเปลี่ยนไป ทำให้สามารถทราบถึงความลึกของคลอไรด์ที่แทรกซึมเข้าสู่เนื้อคอนกรีต (ดูรูปที่ 3.6) ทำการวัดความลึกทั้งหมด 5 ตำแหน่ง แต่ละตำแหน่งห่างกัน 2 เซนติเมตร และห่างจากขอบ 1 เซนติเมตร เนื่องจากค่าที่ได้บันทึกผล



รูปที่ 3.6 ตัวอย่างที่ทำการผ่าซีกเพื่อฉีดสารละลายซิลเวอร์ในเตรต (AgNO_3)

3.4 สัญลักษณ์ที่ใช้ในการศึกษา

CT {1, 5} หมายถึง ตัวอย่างคอนกรีตควบคุมที่ใช้ปูนซีเมนต์ปอร์ตแลนด์ประเภทที่ 1 และตัวอย่างคอนกรีตควบคุมที่ใช้ปูนซีเมนต์ปอร์ตแลนด์ประเภทที่ 5 เป็นวัสดุประสาน

{O, G1, G2} {R ,P} {10, 20, 30, 40} หมายถึง เถ้าเกลบ-เปลือกไม้และเถ้าปาล์มน้ำมัน ที่มีความละเอียดและอัตราการแทนที่ในปูนซีเมนต์ปอร์ตแลนด์ประเภทที่ 1 ต่างกัน โดยมีความหมายของสัญลักษณ์ดังนี้

{O, G1, G2} หมายถึง ระดับความละเอียดของวัสดุ โดย O หมายถึงวัสดุก่ออิฐปูนบดซึ่งไม่ได้ปรับปรุงคุณภาพ, G1 คือวัสดุบดละเอียดปานกลางมีอนุภาคค้างบนตะแกรงเบอร์ 325 ร้อยละ 15-20 โดยน้ำหนัก และ G2 คือวัสดุบดละเอียดมากมีอนุภาคค้างบนตะแกรงเบอร์ 325 น้อยกว่าร้อยละ 5 โดยน้ำหนัก

{R, P} หมายถึง เถ้าเกลบ-เปลือกไม้และเถ้าปาล์มน้ำมัน ตามลำดับ

{10, 20, 30, 40} หมายถึง ปริมาณการแทนที่ในปูนซีเมนต์ในอัตราร้อยละ 10, 20, 30 และ 40 โดยน้ำหนักวัสดุประสาน ตามลำดับ

ตัวอย่างการอ่านสัญลักษณ์

G2R10 หมายถึง คอนกรีตที่ผสมเด้าแกลบ-เปลือกไม้บดละเอียดมาก (มีปริมาณอนุภาคค้างบนตะแกรงเบอร์ 325 น้อยกว่าร้อยละ 5 โดยน้ำหนัก) แทนที่ปูนซีเมนต์ร้อยละ 10 โดยน้ำหนักของวัสดุประسان

G1P10 หมายถึง คอนกรีตที่ผสมเด้าปาล์มน้ำมันบดละเอียดปานกลาง (มีปริมาณอนุภาคค้างบนตะแกรงเบอร์ 325 ร้อยละ 15-20 โดยน้ำหนัก) แทนที่ปูนซีเมนต์ร้อยละ 10 โดยน้ำหนักของวัสดุประسان

OR20 หมายถึง คอนกรีตที่ผสมเด้าแกลบ-เปลือกไม้หuhnที่ไม่ได้ปรับปรุงคุณภาพด้วยการบด แทนที่ปูนซีเมนต์ร้อยละ 20 โดยน้ำหนักของวัสดุประسان

บทที่ 4 ผลการทดสอบและการวิเคราะห์ผล

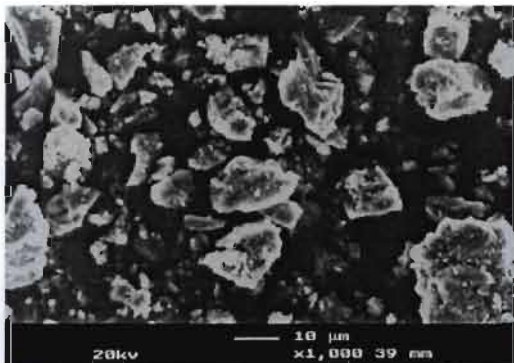
ในบทนี้กล่าวถึงผลการทดสอบและการวิเคราะห์ผลการทดสอบคุณสมบัติทางกายภาพและทางเคมีของปูนซีเมนต์ปอร์ตแลนด์ประเภทที่ 1, ประเภทที่ 5, เถ้าแกลบ-เบล็อกไม้ และถ้าปาล์มน้ำมัน ตลอดจนผลกระบวนการของถ้าแกลบ-เบล็อกไม้และถ้าปาล์มน้ำมันที่แทนที่ปูนซีเมนต์ปอร์ตแลนด์ประเภทที่ 1 บางส่วน ต่อกำลังอัดและการแทรกซึมคลอร์ไรด์เข้าสู่คอนกรีต

4.1 คุณสมบัติจำเพาะของวัสดุ

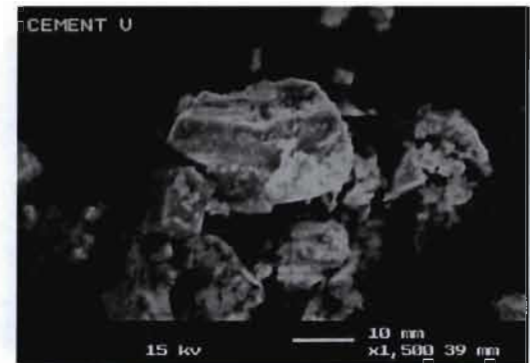
4.1.1 ลักษณะรูปร่างของอนุภาค

ภาพถ่ายของอนุภาคของปูนซีเมนต์ปอร์ตแลนด์ประเภทที่ 1 และประเภทที่ 5 (รูปที่ 4.1) พบว่ามีลักษณะรูปร่างคล้ายกัน คือ เป็นเหลี่ยมนูน รูปร่างไม่แน่นอน และมีเนื้อแน่น สำหรับถ้าแกลบ-เบล็อกไม้จากแหล่งผลิตโดยตรง (OR) (รูปที่ 4.2 ก.) มีลักษณะหยาบสามารถมองเห็นได้ด้วยตาเปล่า รูปร่างเป็นเหลี่ยมนูน และผิวขรุขระ ส่วนถ้าแกลบ-เบล็อกไม้ที่ผ่านการบด G1R และ G2R (รูปที่ 4.2 ข. และ ค.) อนุภาคมีลักษณะเป็นเหลี่ยมนูน รูปร่างไม่แน่นอน มีผิวขรุขระ และมีขนาดเล็กกว่าถ้าแกลบ-เบล็อกไม้ก่อนบด

ลักษณะอนุภาคของถ้าปาล์มน้ำมันจากแหล่งผลิตโดยตรงและผ่านการบด พบว่าถ้าปาล์มน้ำมันจากแหล่งผลิตโดยตรง (OP) (รูปที่ 4.3 ก.) มีลักษณะรูปร่างโดยรวมค่อนข้างหยาบ รูปร่างกลมมน ติดต่อกันเป็นกลุ่มก้อนและขนาดไม่สม่ำเสมอ ส่วนถ้าปาล์มน้ำมันที่ผ่านการบด G1P และ G2P (รูปที่ 4.3 ข. และ ค.) มีลักษณะอนุภาคคล้ายกัน คือ เป็นเหลี่ยมนูน รูปร่างไม่แน่นอน และอนุภาคมีขนาดเล็กลงเมื่อเทียบกับถ้าปาล์มน้ำมัน OP ซึ่งผลการศึกษาคล้ายกับงานวิจัยของ วีรชาติ ตั้งจิรภัทร (2546)

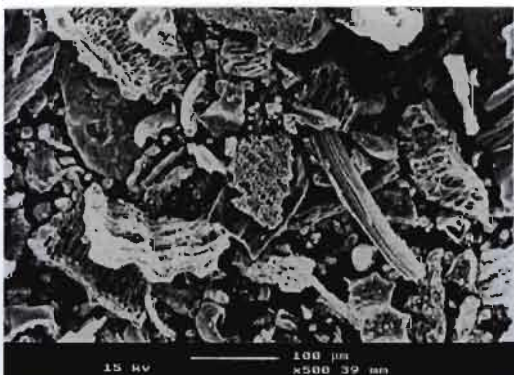


ก. ปูนซีเมนต์ปอร์ตแลนด์ประเภทที่ 1

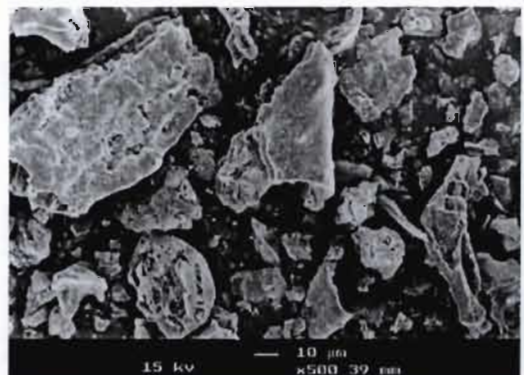


ข. ปูนซีเมนต์ปอร์ตแลนด์ประเภทที่ 5

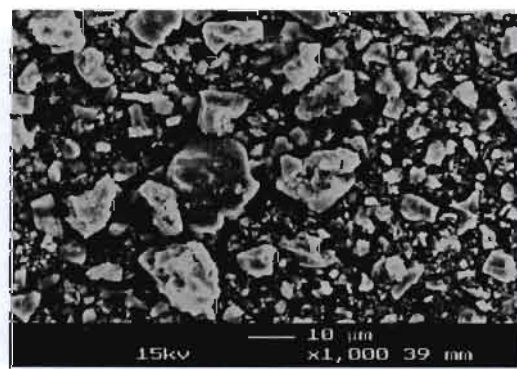
รูปที่ 4.1 รูปถ่ายกำลังสูงของปูนซีเมนต์ปอร์ตแลนด์ประเภทที่ 1 และ 5



ก. เถ้าแกลบุ-เปลือกไม้ที่ไม่ผ่านการบด

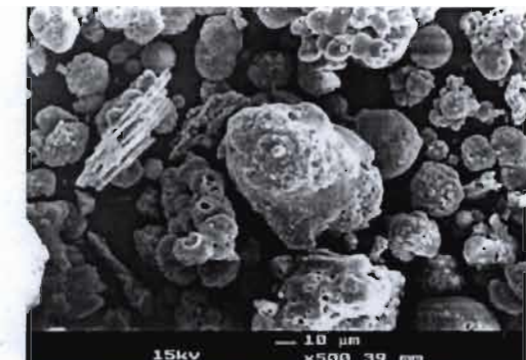


ข. เถ้าแกลบุ-เปลือกไม้ความละเอียดปานกลาง

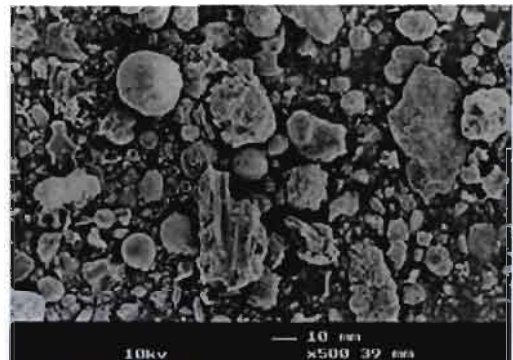


ค. เถ้าแกลบุ-เปลือกไม้ความละเอียดสูงสุด

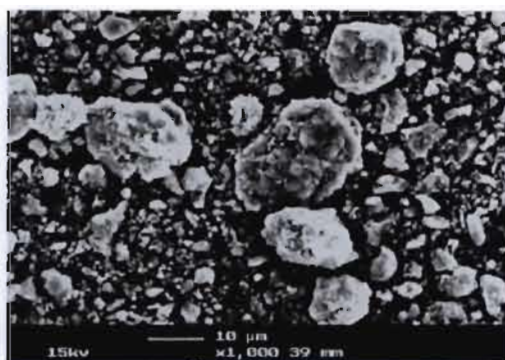
รูปที่ 4.2 รูปถ่ายกำลังสูงของเถ้าแกลบุ-เปลือกไม้



ก. เถ้าปาล์มน้ำมันที่ไม่ผ่านการบด



ข. เถ้าปาล์มน้ำมันความละเอียดปานกลาง



ค. เถ้าปาล์มน้ำมันความละเอียดสูงสุด

รูปที่ 4.3 รูปถ่ายกล้องสูงของถ้าปาล์มน้ำมัน

4.1.2 ความถ่วงจำเพาะ

ค่าความถ่วงจำเพาะของปูนซีเมนต์ปอร์ตแลนด์ประเภทที่ 1 และ 5 ที่แสดงในตารางที่ 4.1 พบว่า มีค่าความถ่วงจำเพาะเท่ากับ 3.14 และ 3.17 ตามลำดับ ซึ่งเป็นค่าที่อยู่ในเกณฑ์ปกติทั่วไปของปูนซีเมนต์ คือ มีค่าอยู่ระหว่าง 3.00 ถึง 3.20 (Lea, 1970)

ความถ่วงจำเพาะของถ้าแกลบ-เปลือกไม้ OR, G1R และ G2R มีค่าเท่ากับ 2.03, 2.10 และ 2.15 ตามลำดับ ซึ่งมีค่าใกล้เคียงกับการศึกษาถ้าแกลบ-เปลือกไม้ที่ผ่านมาของ ชาตรุพิทักษ์กุล และ คณะ (2545) ที่มีค่าอยู่ระหว่าง 1.89 ถึง 2.24 และมีค่าใกล้เคียงกับถ้าแกลบที่มีค่าเท่ากับ 2.18 (Jaturapitakkul และ Roongreung, 2003) นอกจากนี้เห็นได้ว่า ค่าความถ่วงจำเพาะของถ้าแกลบ-เปลือกไม้ G1R และ G2R มีค่าเพิ่มขึ้นจากถ้าแกลบ-เปลือกไม้ OR ตามความละเอียดที่เพิ่มขึ้น แสดงให้เห็นได้ว่า ถ้าแกลบ-เปลือกไม้จากแหล่งผลิตโดยตรงมีความพรุน แต่เมื่อผ่านการบดแล้ว ทำให้อนุภาคที่มีขนาดใหญ่และมีความพรุนแตกออกเป็นอนุภาคที่มีขนาดเล็กลง รูพรุนจึงน้อยลง ทำให้ค่าความถ่วงจำเพาะเพิ่มขึ้นด้วย

ส่วนถ้าปาล์มน้ำมัน OP, G1P และ G2P มีค่าความถ่วงจำเพาะเท่ากับ 1.97, 2.17 และ 2.33 ตามลำดับ เห็นได้ว่าการบดถ้าปาล์มน้ำมันให้มีความละเอียดเพิ่มขึ้น ทำให้ค่าความถ่วงจำเพาะมีค่าสูงขึ้น ทั้งนี้ เพราะว่าอนุภาคของถ้าปาล์มน้ำมันจากแหล่งผลิตโดยตรงมีความพรุนและมีโครงอากาศภายในอนุภาคสูง แต่เมื่อผ่านการบดแล้วทำให้ค่าความถ่วงจำเพาะเพิ่มขึ้น เช่นเดียวกับถ้าแกลบ-เปลือกไม้ (Paya และคณะ, 1997) ซึ่งสอดคล้องกับการศึกษาที่ผ่านมาของ Jaturapitakkul และ Cheerarot (2003) ที่พบว่าการบดไม้เพียงแต่ลดขนาดอนุภาคของวัสดุ แต่ยังสามารถลดความพรุนได้ด้วยเช่นเดียวกับถ้าแกลบ-เปลือกไม้

ตารางที่ 4.1 ความถ่วงจำเพาะ ความละเอียด และขนาดอนุภาคเฉลี่ยของวัสดุ

Sample	Specific Gravity	Retained on a Sieve No. 325 (%)	Median Particle Size, d_{50} (micron)
Cement Type I	3.14	N/A	14.7
Cement Type V	3.17	N/A	7.5
OR	2.03	68.7	75.3
G1R	2.10	16.9	27.5
G2R	2.15	1.9	10.9
OP	1.97	41.2	65.6
G1P	2.17	17.1	19.9
G2P	2.33	1.5	10.2

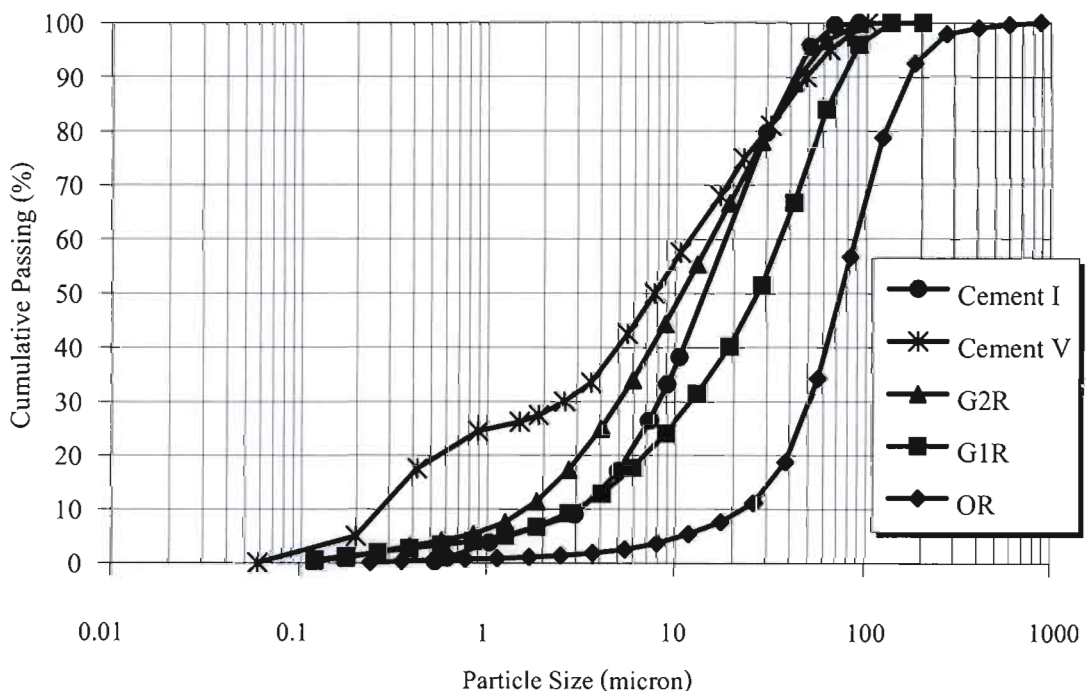
หมายเหตุ : N/A = Not Applied

4.1.3 การกระจายตัวและขนาดเฉลี่ยของอนุภาค

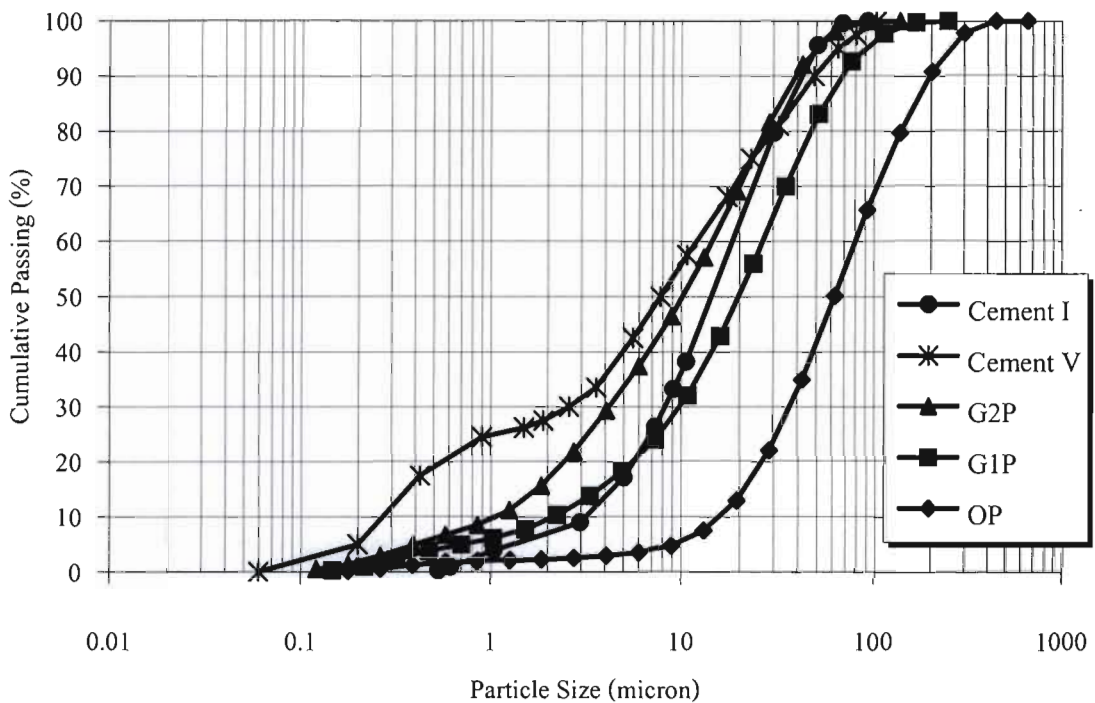
ผลวิเคราะห์การกระจายตัวของปูนซีเมนต์ปอร์ตแลนด์ ถ้าแกลบ-เปลือกไม้และถ้าปาล์มน้ำมันจาก การศึกษาของวีรชาติ ตั้งจิรภัทร (2546) และตารางที่ 4.1 แสดงขนาดอนุภาคเฉลี่ยของวัสดุ พบว่า ปูนซีเมนต์ปอร์ตแลนด์ประเภทที่ 1 มีการกระจายตัวของอนุภาคร้อยละ 80 อยู่ในช่วง 3 ถึง 40 ไมครอน และมีขนาดอนุภาคเฉลี่ยเท่ากับ 14.7 ไมครอน ในขณะที่ปูนซีเมนต์ปอร์ตแลนด์ประเภทที่ 5 มีการกระจายตัวของอนุภาคร้อยละ 80 อยู่ในช่วง 0.3 ถึง 50 ไมครอน ซึ่งมีความแตกต่างระหว่าง อนุภาคขนาดเล็กกับขนาดใหญ่ค่อนข้างสูง อย่างไรก็ตามขนาดอนุภาคเฉลี่ยของปูนซีเมนต์ปอร์ตแลนด์ประเภทที่ 5 ยังเล็กกว่าปูนซีเมนต์ปอร์ตแลนด์ประเภทที่ 1 คือ มีค่าเท่ากับ 7.5 ไมครอน

สำหรับถ่านแกลบ-เปลือกไม้จากเหล็กผลิตโดยตรง (OR) พบร่วมกับการกระจายตัวของอนุภาคร้อยละ 80 อยู่ในช่วง 25 ถึง 180 ไมครอน มีขนาดอนุภาคเฉลี่ยเท่ากับ 75.3 ไมครอน ซึ่งมีขนาดใหญ่มาก หลังจากปรับปรุงคุณภาพโดยการบดทำให้ถ่านแกลบ-เปลือกไม้มีขนาดอนุภาคเฉลี่ยเล็กลงเท่ากับ 27.5 (G1R) และ 10.9 (G2R) ไมครอน ตามลำดับ และถ่านแกลบ-เปลือกไม้ G1R และ G2R มีการกระจายตัวของอนุภาคร้อยละ 80 อยู่ในช่วง 3 ถึง 80 และ 2 ถึง 40 ไมครอนตามลำดับ

ส่วนการกระจายตัวของอนุภาคถ่านป่าล้มนำมันก่อนบด (OP) พบร่วมกับการกระจายตัวของอนุภาคขนาดใหญ่มากกว่าปูนซีเมนต์ปอร์ตแลนด์ทั้งสองประเภทอย่างมาก จากเส้นกราฟ (รูปที่ 4.5) การกระจายตัวที่มีลักษณะค่อนไปทางด้านขวาอย่างเห็นได้ชัด และเมื่อพิจารณาขนาดอนุภาคเฉลี่ยพบว่ามีขนาดเท่ากับ 65.6 ไมครอน ซึ่งใหญ่กว่าปูนซีเมนต์ปอร์ตแลนด์มาก แต่หลังปรับปรุงคุณภาพโดยการบด พบร่วมกับถ่านป่าล้มนำมัน G1P และ G2P มีการกระจายตัวของอนุภาคแบบลงและขนาดอนุภาคเฉลี่ยเล็กลงโดย G2P มีการกระจายตัวและขนาดอนุภาคใกล้เคียงปูนซีเมนต์ปอร์ตแลนด์ประเภทที่ 1 ซึ่งการกระจายตัวของอนุภาค G1P และ G2P ร้อยละ 80 อยู่ในช่วง 2 ถึง 70 และ 1 ถึง 40 ไมครอน ตามลำดับและขนาดอนุภาคเฉลี่ยเท่ากับ 19.9 และ 10.2 ไมครอนตามลำดับ โดยมีขนาดลดลงจากถ่านป่าล้มนำมันก่อนบด (OP) ประมาณ 3 และ 6 เท่า ตามลำดับ



รูปที่ 4.4 การกระจายตัวของอนุภาคของปูนซีเมนต์ปอร์ตแลนด์ประเภทที่ 1, ประเภทที่ 5 และถ่านแกลบ-เปลือกไม้



รูปที่ 4.5 การกระจายตัวอนุภาคของปูนซีเมนต์ปอร์ตแลนด์ประเภทที่ 1, ประเภทที่ 5 และถ้าปาล์มน้ำมัน

4.1.4 ความละเอียด

เมื่อพิจารณาความละเอียดของวัสดุ โดยการหาน้ำหนักที่ค้างบนตะแกรงมาตรฐานเบอร์ 325 (ขนาดช่อง เปิด 45 ไมครอน) พบว่าร้อยละน้ำหนักของอนุภาคที่ค้างบนตะแกรงมาตรฐานเบอร์ 325 ของถ้าแกลบ-เปลือกไม้ OR มีค่าเท่ากับร้อยละ 68.7 ซึ่งสูงกว่าที่มาตรฐาน ASTM C 618 (American Society for Testing and Materials, 2008) กำหนดไว้ที่ไม่เกินร้อยละ 34 อย่างมาก ส่วนถ้าแกลบ-เปลือกไม้ G1R และ G2R มีร้อยละที่ค้างบนตะแกรงลดลงจากถ้าแกลบ-เปลือกไม้ OR อย่างมาก คือมีค่าเท่ากับ 16.9 และ 1.9 ตามลำดับ

ส่วนถ้าปาล์มน้ำมัน OP, G1P และ G2P มีน้ำหนักที่ค้างบนตะแกรงมาตรฐานเบอร์ 325 เท่ากับร้อยละ 41.2, 17.1 และ 1.5 ตามลำดับ เห็นได้ว่าปริมาณอนุภาคของถ้าปาล์มน้ำมัน OP ที่ค้างบนตะแกรงมาตรฐานเบอร์ 325 มีค่าสูงกว่าที่มาตรฐาน ASTM C 618 (American Society for Testing and Materials, 2009) กำหนดไว้ คือ ไม่เกินร้อยละ 34 อยู่พอสมควร แต่หลังจากปรับปรุงคุณภาพโดยการบดถ้าปาล์มน้ำมัน G1P และ G2P มีร้อยละที่ค้างบนตะแกรงลดลงจากถ้าแกลบ-เปลือกไม้ OP

ถ้าแกลบ-เปลือกไม้และถ้าปัลมน้ำมันที่ผ่านการบดทั้งสองขนาด (G1 และ G2) มีค่าความถ่วงจำเพาะต่ำกว่าปูนซีเมนต์ นอกจานี้ขนาดอนุภาคเฉลี่ยยังมีค่าไกส์เคียงและใหญ่กว่าปูนซีเมนต์ปอร์ตแลนด์ประเภทที่ 1 และประเภทที่ 5 ตามลำดับ ประกอบกับภาพถ่ายของอนุภาคของวัสดุทั้งสอง สามารถบอกได้ว่าอนุภาคของถ้าแกลบ-เปลือกไม้และถ้าปัลมน้ำมันยังมีความพรุนเหลืออยู่

4.2 องค์ประกอบทางเคมี

ตารางที่ 4.2 แสดงองค์ประกอบทางเคมีของวัสดุที่ใช้ในงานวิจัยครั้งนี้ พบว่าปูนซีเมนต์ปอร์ตแลนด์ประเภทที่ 1 และประเภทที่ 5 มี CaO เป็นองค์ประกอบหลักร้อยละ 65.4 และ 62.4 ตามลำดับ โดยปูนซีเมนต์ทั้ง 2 ประเภทมี MgO ไม่เกินร้อยละ 6 ค่าการสูญเสียน้ำหนักเนื่องจากการเผา (LOI) มีไม่เกินร้อยละ 3 และมี SO₃ ไม่เกินร้อยละ 3.5 และ 2.5 สำหรับปูนซีเมนต์ปอร์ตแลนด์ประเภทที่ 1 และประเภทที่ 5 ตามลำดับ เห็นได้ว่าปูนซีเมนต์ทั้ง 2 ประเภทมีค่าอยู่ในเกณฑ์ตามที่มาตรฐาน ASTM C 150/C 150M (American Society for Testing and Materials, 2009) กำหนดไว้

องค์ประกอบทางเคมีของถ้าแกลบ-เปลือกไม้ จากตารางที่ 4.2 พบว่าถ้าแกลบ-เปลือกไม้มีปริมาณ SiO₂ เป็นองค์ประกอบหลักสูงถึงร้อยละ 74.8 ผลรวมของปริมาณ SiO₂, Al₂O₃ และ Fe₂O₃ เท่ากับร้อยละ 75.8 มีปริมาณ SO₃ เท่ากับร้อยละ 0.5 ซึ่งน้อยกวาร้อยละ 4 แต่มีค่าการสูญเสียน้ำหนักเนื่องจากการเผา (LOI) เท่ากับร้อยละ 11.2 ซึ่งสูงกว่าที่กำหนดโดยมาตรฐาน ASTM C618 (American Society for Testing and Materials, 2009) คือ ไม่เกินร้อยละ 10 เมื่อพิจารณาองค์ประกอบทางเคมีของถ้าแกลบ-เปลือกไม้พบว่าไม่สามารถจัดเป็นวัสดุปอชโซลาน Class N ตามมาตรฐาน ASTM C 618 ได้ อย่างไรก็ตามงานวิจัยที่ผ่านมาพบว่าถ้าแกลบ-เปลือกไม้มีคุณสมบัติเป็นวัสดุปอชโซลานที่ดี และสามารถนำมาใช้ในงานคอนกรีตได้ (ชัย ชาตรพิทักษ์กุล และคณะ, 2545; จตุพล ตั้งปภาศิล และคณะ, 2548; Makaratat, et al., 2004) แม้ว่าจะมี LOI สูงกว่าที่กำหนดโดย ASTM C618

สำหรับถ้าปัลมน้ำมัน (G2P) มี SiO₂ เป็นองค์ประกอบหลักเท่ากับร้อยละ 65.3 มี Al₂O₃ และ Fe₂O₃ เท่ากับร้อยละ 2.6 และ 2.0 ตามลำดับ ซึ่งมีค่าแตกต่างจากงานศึกษาที่ผ่านมาของ Tay และคณะ (1990) ที่พบว่ามีปริมาณ SiO₂, Al₂O₃ และ Fe₂O₃ เท่ากับร้อยละ 34.3, 24.6 และ 14.9 ตามลำดับ และยังแตกต่างจากงานศึกษาของ Hussin และ Awal (1996) ที่มีปริมาณ SiO₂, Al₂O₃ และ Fe₂O₃ เท่ากับร้อยละ 43.6, 11.4 และ 4.7 ตามลำดับ แสดงให้เห็นว่าถ้าปัลมน้ำมันแต่ละแหล่งมีความเปลี่ยนแปลงทางเคมีสูง ทั้งนี้อาจเนื่องจากอุณหภูมิและวิธีการที่ใช้ในการเผาต่างกัน และเมื่อพิจารณาถ้าปัลมน้ำมันที่ใช้ในการศึกษานี้พบว่ามีผลรวมของ SiO₂, Al₂O₃ และ Fe₂O₃ เท่ากับร้อยละ 69.9 มีปริมาณ SO₃ เพียงร้อยละ 0.5 และมีค่าการสูญเสียน้ำหนักเนื่องจากการเผา (Loss On Ignition, LOI) เท่ากับร้อยละ 10.1

เมื่อพิจารณาด้านองค์ประกอบทางเคมีของถ้าปัลมน้ำมันแล้วไม่สามารถจัดให้อยู่ในวัสดุปอชโซล่า Class N ได้ แต่วัสดุปอชโซล่าที่ดีไม่สามารถจำแนกโดยใช่องค์ประกอบเคมีเพียงอย่างเดียว แต่ต้องพิจารณาองค์ประกอบด้านอื่นๆด้วย ซึ่งจากการวิจัยที่ผ่านมาแสดงให้เห็นว่าถ้าปัลมน้ำมันสามารถนำมาใช้งานคอนกรีตได้ (Tangchirapat และคณะ, 2007; จักรพล กลั่นนั่นคง และคณะ, 2543; Tay และคณะ, 1990; Hussin และ Awal, 1996; Jaturapitakkul และคณะ, 2007)

ตารางที่ 4.2 องค์ประกอบทางเคมีของวัสดุ

Chemical Composition (%)	Cement Type I	Cement Type V	RHBA (G2R)	POFA (G2P)
Silicon Dioxide (SiO_2)	20.9	22.2	74.8	65.3
Aluminium Oxide (Al_2O_3)	4.8	3.5	0.2	2.6
Ferric Oxide (Fe_2O_3)	3.4	5.6	0.8	2.0
Calciam Oxide (CaO)	65.4	62.4	5.9	6.4
Magnesium Oxide (MgO)	1.3	1.0	0.6	3.1
Sodium Oxide (Na_2O)	0.3	0.1	0.2	0.4
Potassium Oxide (K_2O)	0.4	0.2	2.0	5.7
Sulfur Trioxide (SO_3)	2.7	1.1	0.5	0.5
Loss On Ignition (LOI)	1.0	1.7	11.2	10.1
Tricalcium Silicates (C_3S)	62.9	51.2	-	-
Dicalcium Silicates (C_2S)	12.5	24.9	-	-
Tricalcium Aluminate (C_3A)	6.8	0.0	-	-
Tetracalcium Aluminoferrite (C_4AF)	10.4	17.0	-	-

หมายเหตุ : LOI ที่ระบุใน ASTM C 618 ให้มีไม่เกินร้อยละ 10 ซึ่งพบว่าถ้าแกลบ-เปลือกไม้และถ้าปัลมน้ำมันนี้

LOI เกินไปเล็กน้อย

สำหรับสาเหตุที่วิเคราะห์องค์ประกอบทางเคมีเฉพาะถ้าแกลบ-เปลือกไม้และถ้าปัลมน้ำมันที่ขนาดบดละเอียดมาก (G2P และ G2R) เท่านั้น แต่ไม่วิเคราะห์ถ้าแกลบ-เปลือกไม้และถ้าปัลมน้ำมันขนาดอื่น เพราการศึกษาการบดของถ้าถ่านหินที่ผ่านมาพบว่าการปรับปรุงคุณภาพโดยการบดไม่ทำให้องค์ประกอบทางเคมีของวัสดุเปลี่ยนแปลงมากนัก (Jaturapitakkul และ Roongreung, 2003; สมิตร ส่างพิริยะกิจ และ ชาญ ชาตรุพิทักษ์กุล, 2538)

4.3 ความต้องการนำของคอนกรีตสด

อัตราส่วนน้ำต่อวัสดุประสานของคอนกรีตควบคุม CT1, CT5, คอนกรีตที่ผสมถ้าเกลบ-เปลือกไม้ และถ้าปานั่มน้ำมันทั้ง 3 ความละเอียดแทนที่ปูนซีเมนต์ปอร์ตแลนด์ประเภทที่ 1 ในอัตราส่วนร้อยละ 10, 20, 30 และ 40 โดยน้ำหนักวัสดุประสาน แสดงในตารางที่ 4.3 โดยออกแบบคอนกรีตควบคุมให้มีค่าขุบตัวระหว่าง 5 ถึง 10 ซม. คอนกรีตที่ผสมถ้าเกลบ-เปลือกไม้และถ้าปานั่มน้ำมันใช้วิธีการปรับปริมาณน้ำเพื่อให้มีค่าขุบตัวอยู่ในช่วงเดียวกับคอนกรีตควบคุม โดยคอนกรีตควบคุม CT1 และคอนกรีตมาตรฐาน CT5 มีอัตราส่วนน้ำต่อวัสดุประสานเท่ากันคือ 0.70

4.3.1 ความต้องการนำของคอนกรีตที่ผสมถ้าเกลบ-เปลือกไม้

จากตารางที่ 4.3 พบว่า ความต้องการนำของคอนกรีตที่ผสมถ้าเกลบ-เปลือกไม้ที่ไม่ผ่านการบดมีค่าสูงกว่าคอนกรีตควบคุม และการแทนที่ถ้าเกลบ-เปลือกไม้ในสัดส่วนที่สูงขึ้นคอนกรีตมีความต้องการน้ำมากขึ้น เช่น คอนกรีต OR10 และ OR20 มีอัตราส่วนน้ำต่อวัสดุประสานเท่ากับ 0.75 และ 0.81 ตามลำดับ สอดคล้องกับงานวิจัยของ Ismail และ Waliuddin (1996) ที่พบว่าการเพิ่มปริมาณการแทนที่ของถ้าเกลบให้สูงขึ้นส่งผลให้ความต้องการนำของคอนกรีตสดที่ผสมถ้าเกลบสูงขึ้นด้วยทั้งนี้เนื่องจากลักษณะอนุภาคของถ้าเกลบ-เปลือกไม้ OR มีพิษรุนแรงมาก มีความพรุนสูง มีการขัดกันระหว่างอนุภาค ดังนั้นเพื่อให้ได้ค่าการขุบตัวที่เท่ากันจึงต้องการปริมาณน้ำที่มากขึ้นซึ่งส่งผลให้เกิดโครงอากาศจำนวนมากในเนื้อคอนกรีตและมีความพรุนสูง (Chindaprasirt และคณะ, 2005) ส่วนคอนกรีตที่ผสมถ้าเกลบ-เปลือกไม้ที่มีความละเอียดมากขึ้น (G1R และ G2R) พบว่าความต้องการนำลดลง แต่แนวโน้มของความต้องการนำยังสูงขึ้นเมื่อแทนที่ถ้าเกลบ-เปลือกไม้ในปริมาณที่สูงขึ้น เช่น คอนกรีต G1R10 และ G1R40 มีอัตราส่วนน้ำต่อวัสดุประสานเท่ากับ 0.74 และ 0.77 ตามลำดับ ซึ่งมีความต้องการน้ำน้อยกว่าคอนกรีตที่ผสมถ้าเกลบ-เปลือกไม้ OR และเมื่อเพิ่มความละเอียดของถ้าเกลบ-เปลือกไม้ขึ้นอีก เห็นได้ว่าคอนกรีต G2R10 และ G2R40 มีอัตราส่วนน้ำต่อวัสดุประสานเป็น 0.69 และ 0.72 ตามลำดับ แสดงให้เห็นว่าการบดถ้าเกลบ-เปลือกไม้ให้มีความละเอียดมากขึ้นสามารถลดความพรุนและโครงอากาศได้มากขึ้นเป็นผลให้ความต้องการนำของคอนกรีตต่ำกว่ากรณีที่ใช้ถ้าเกลบ-เปลือกไม้ที่มีความละเอียดน้อยกว่า และเมื่อเพิ่มปริมาณการแทนที่ปูนซีเมนต์ให้สูงขึ้นพบว่าความต้องการนำของคอนกรีตสดเพิ่มขึ้น ซึ่งเป็นแนวโน้มเดียวกันกับความต้องการนำของถ้าเกลบซึ่งคล้ายกับงานวิจัยของ Zhang และคณะ (1996) นอกจากนี้ค่า LOI ของถ้าเกลบ-เปลือกไม้มีค่าสูงถึงร้อยละ 11.2 เป็นผลให้คอนกรีตดูดน้ำมากขึ้น (Makaratat และคณะ, 2004)

4.3.2 ความต้องการน้ำของคอนกรีตที่ผสมถ้าปาล์มน้ำมัน

เมื่อพิจารณาความต้องการน้ำของคอนกรีตที่ผสมถ้าปาล์มน้ำมันดังตารางที่ 4.3 พบว่ามีแนวโน้มคล้ายกับกลุ่มที่ผสมถ้าแกลบ-เบลือกไม้กล่าวคือความต้องการน้ำสูงขึ้นเมื่อแทนที่ปูนซีเมนต์ในปริมาณที่มากขึ้นและการบดถ้าปาล์มน้ำมันให้ละเอียดขึ้นสามารถลดความต้องการน้ำลงได้ เช่น คอนกรีต OP10 และ OP20 มีอัตราส่วนน้ำต่อวัสดุประสานเท่ากับ 0.72 และ 0.77 ตามลำดับ ทั้งนี้เมื่อนำถ้าปาล์มน้ำมันมาบดให้มีความละเอียดเพิ่มขึ้น (G1P) พบว่าคอนกรีต G1P10 และ G1P40 มีอัตราส่วนน้ำต่อวัสดุประสานลดลงจากที่ใช้ถ้าปาล์มน้ำมัน OP ซึ่งเท่ากับ 0.72 และ 0.74 ตามลำดับ ซึ่งเมื่อเพิ่มความละเอียดของถ้าปาล์มน้ำมันขึ้นอีก (G2P) พบว่าความต้องการน้ำของคอนกรีตลดลงจากคอนกรีตที่ผสมถ้าแกลบ-เบลือกไม้ G1P โดยคอนกรีต G2P10 และ G2P40 มีอัตราส่วนน้ำต่อวัสดุประสานลดลงและมีค่าเท่ากับ 0.68 และ 0.72 ตามลำดับ เมื่อจากอนุภาคของถ้าปาล์มน้ำมัน OP มีโครงอาการจำานวนมากและความพรุนสูง ทำให้เกิดการคุดซึมมากขึ้น เมื่อมีการบดถ้าปาล์มน้ำมันให้ละเอียดขึ้นทำให้ความพรุนลดลง ส่งผลให้ความต้องการปริมาณน้ำของคอนกรีตที่ผสมถ้าปาล์มน้ำมัน G2P น้อยกว่า G1P แต่ยังมีค่าสูงขึ้นเมื่อการแทนที่ปูนซีเมนต์เพิ่มขึ้นอีก อีกสาเหตุหนึ่งเนื่องมาจากถ้าปาล์มน้ำมันมีค่าการสูญเสียน้ำหนักเนื่องจากการเผา (LOI) ที่สูงถึงร้อยละ 10.1 จึงทำให้มีการคุดน้ำสูงขึ้นตามด้วย ซึ่งสอดคล้องกับงานวิจัยที่ใช้ถ้าถ่านหินในการแทนที่ปูนซีเมนต์ (Berg และ Kukko, 1991; เอนก ศิริพานิชกร, 2536)

4.3.3 เปรียบเทียบความต้องการน้ำของคอนกรีตที่ผสมถ้าแกลบ-เบลือกไม้และถ้าปาล์มน้ำมัน

เมื่อเปรียบเทียบอัตราส่วนของน้ำต่อวัสดุประสานของคอนกรีตที่ผสมถ้าแกลบ-เบลือกไม้และถ้าปาล์มน้ำมันพบว่า คอนกรีตที่ผสมถ้าแกลบ-เบลือกไม้ส่วนใหญ่มีความต้องการน้ำสูงกว่าคอนกรีตที่ผสมถ้าปาล์มน้ำมัน เช่นที่ความละเอียดใกล้เคียงกันคอนกรีตที่ผสมถ้าแกลบ-เบลือกไม้ G2R10 และ G2R20 มี W/B เท่ากับ 0.69 และ 0.71 ตามลำดับ ในขณะที่คอนกรีตที่ผสมถ้าปาล์มน้ำมัน G2P10 และ G2P20 มี W/B เท่ากับ 0.68 และ 0.70 ตามลำดับ ทั้งนี้เนื่องจากค่า LOI ของคอนกรีตที่ผสมถ้าแกลบ-เบลือกไม้สูงกว่าซึ่งมีการคุดซึมมากกว่า เมื่อเปรียบเทียบกับคอนกรีตที่มีถ้าถ่านหินเป็นส่วนผสมเมื่อปริมาณการแทนที่เพิ่มขึ้น ส่งผลให้ความต้องการน้ำมีค่าลดลง (Shiqun และ Della, 1986) ซึ่งตรงกันข้ามกับความต้องการน้ำของคอนกรีตที่มีถ้าแกลบ-เบลือกไม้และถ้าปาล์มน้ำมัน เป็นส่วนผสม อาจเป็นเพราะว่าถ้าแกลบ-เบลือกไม้และถ้าปาล์มน้ำมันมีลักษณะอนุภาคที่เป็นเหลี่ยมมุม ผิวขรุขระ ส่วนถ้าถ่านหินมีอนุภาคที่กลมตัน ผิวเรียบ เมื่อเพิ่มปริมาณการแทนที่มากขึ้นสามารถช่วยในการลื่นไหลได้ดีกว่าอนุภาคที่เป็นเหลี่ยมมุม (Hansen, 1990) ซึ่งความต้องการน้ำที่แตกต่างกันนี้ส่งผลโดยตรงต่อกำลังอัดของคอนกรีตตามกฎของ Abrams (Abrams, 1918)

4.4 กำลังอัดของคอนกรีต

ตารางที่ 4.3 แสดงค่ากำลังอัดและร้อยละของกำลังอัดของคอนกรีตที่ผสมเต้าแกลบ-เปลือกไม้และเต้าปะลิมน้ำมันแทนที่ในปูนซีเมนต์ปอร์ตแลนด์ประเภทที่ 1 ในอัตราส่วนร้อยละ 10 ถึง 40 โดยนำหักวัสดุประสาน

4.4.1 กำลังอัดและร้อยละกำลังอัดของคอนกรีตเมื่อเทียบกับคอนกรีตควบคุม

ผลการทดสอบกำลังอัดและร้อยละกำลังอัดของคอนกรีตควบคุม ซึ่งใช้ปูนซีเมนต์ปอร์ตแลนด์ประเภทที่ 1 เป็นวัสดุประสาน และคอนกรีตที่ใช้ปูนซีเมนต์ปอร์ตแลนด์ประเภทที่ 5 เป็นวัสดุประสาน ดังแสดงในตารางที่ 4.3 โดยออกแบบกำลังอัดที่อายุ 28 วัน เท่ากับ 300 กก./ซม.² มีการปรับปริมาณน้ำเพื่อควบคุมให้คอนกรีตมีค่าการยุบตัว 5 ถึง 10 ซม. จากการทดสอบพบว่า คอนกรีตควบคุม (CT1) มีกำลังอัดที่อายุ 28 วันเท่ากับ 299 กก./ซม.² ซึ่งใกล้เคียงกับค่ากำลังอัดที่ออกแบบไว้ ส่วนคอนกรีต CT5 ที่อายุ 7, 28, 90 และ 360 วันมีกำลังอัดเท่ากับ 192, 285, 348 และ 414 กก./ซม.² หรือคิดเป็นร้อยละ 93, 95, 103 และ 108 ของคอนกรีตควบคุม CT1 ตามลำดับ ผลการทดสอบชี้ให้เห็นว่า คอนกรีตควบคุม CT1 และ CT5 มีแนวโน้มการพัฒนากำลังอัดอย่างรวดเร็วจนถึงอายุ 28 วัน จากนั้น กำลังอัดจะเพิ่มขึ้นอย่างช้าๆ จนถึงอายุ 360 วัน

ผลการทดสอบของคอนกรีตควบคุม CT5 แสดงได้ชัดเจนว่ามีกำลังอัดต่ำกว่าคอนกรีตควบคุม CT1 ในช่วงอายุต้นๆ เมื่ออายุเพิ่มขึ้นกำลังอัดมีแนวโน้มสูงขึ้นและสูงกว่าคอนกรีตควบคุม CT1 ที่อายุ 90 วันขึ้นไป เนื่องจากปูนซีเมนต์ปอร์ตแลนด์ประเภทที่ 5 มีปริมาณ C₃S ซึ่งเป็นสารประกอบหลักที่ให้กำลังอัดแก่คอนกรีตในช่วงอายุต้นๆ ต่ำกว่าปูนซีเมนต์ปอร์ตแลนด์ประเภทที่ 1 ถึงร้อยละ 11.4 ทำให้ การพัฒนากำลังอัดในช่วงอายุต้นมีค่าต่ำ แต่มีปริมาณของ C₂S ซึ่งเป็นสารประกอบช่วยพัฒนากำลังอัดในช่วงอายุปลายสูงกว่าปูนซีเมนต์ปอร์ตแลนด์ประเภทที่ 1 ถึง 2 เท่า ดังนั้นจึงสามารถพัฒนากำลังอัดที่อายุ 90 วันให้สูงกว่าคอนกรีต CT1 ได้ (ประกาศ ทองประไพ, 2541)

ตารางที่ 4.3 กำลังอัดและร้อยละกำลังอัดของตัวอย่างคอนกรีตที่ผสมถ้าแกลบ-เปลือกไม้และถ้า
ปัลมน้ำมัน

Sample	W/B	Slump (cm)	Compressive Strength (ksc) - (Normalized Strength to CT1, %)			
			7 days	28 days	90 days	360 days
CT1	0.70	7.0	205 - (100)	299 - (100)	339 - (100)	384 - (100)
CT5	0.70	6.0	192 - (93)	285 - (95)	348 - (103)	414 - (108)
OR10	0.75	8.0	170 - (83)	235 - (79)	278 - (82)	358 - (93)
OR20	0.81	7.5	126 - (62)	197 - (66)	245 - (72)	229 - (78)
G1R10	0.74	8.0	189 - (92)	283 - (95)	341 - (101)	405 - (105)
G1R20	0.74	7.5	179 - (87)	271 - (91)	319 - (94)	362 - (94)
G1R30	0.75	7.0	147 - (72)	243 - (81)	290 - (86)	323 - (84)
G1R40	0.77	6.5	129 - (63)	210 - (70)	265 - (78)	288 - (75)
G2R10	0.69	6.5	241 - (117)	345 - (116)	392 - (116)	422 - (110)
G2R20	0.71	7.5	214 - (104)	309 - (103)	361 - (106)	410 - (107)
G2R30	0.71	6.0	183 - (89)	294 - (98)	334 - (99)	377 - (98)
G2R40	0.72	8.0	178 - (87)	281 - (94)	324 - (96)	361 - (94)
OP10	0.72	8.0	160 - (78)	237 - (79)	271 - (90)	346 - (90)
OP20	0.77	7.0	137 - (67)	206 - (69)	236 - (70)	316 - (82)
G1P10	0.72	8.0	192 - (93)	280 - (94)	331 - (98)	375 - (98)
G1P20	0.73	9.0	175 - (85)	249 - (83)	294 - (87)	335 - (87)
G1P30	0.73	8.0	160 - (78)	227 - (76)	269 - (79)	310 - (81)
G1P40	0.74	9.5	138 - (67)	203 - (68)	246 - (72)	267 - (70)
G2P10	0.68	5.5	210 - (102)	303 - (101)	358 - (106)	396 - (103)
G2P20	0.70	6.5	197 - (96)	293 - (98)	344 - (102)	383 - (100)
G2P30	0.71	7.5	186 - (91)	277 - (93)	331 - (98)	364 - (95)
G2P40	0.72	9.0	175 - (85)	257 - (86)	299 - (88)	330 - (86)

4.4.2 กำลังอัดและร้อยละกำลังอัดของคอนกรีตที่ผสมถ้าเกลน-เปลือกไม้

รูปที่ 4.6 แสดงความสัมพันธ์ระหว่างกำลังอัดกับอายุของคอนกรีตที่ผสมถ้าเกลน-เปลือกไม้ OR พบว่าการแทนที่ด้วยถ้าเกลน-เปลือกไม้ OR ทุกส่วนผสมมีกำลังอัดต่ำกว่าคอนกรีตควบคุมทุกอายุ การทดสอบโดยการแทนที่ถ้าเกลน-เปลือกไม้ OR ในปริมาณที่มากขึ้นส่งผลให้กำลังอัดต่ำลง นอกจากนั้นเมื่อพิจารณาข้อการเพิ่มของกำลังอัดของคอนกรีตควบคุมมีลักษณะที่คล้ายกันกล่าวคือ มีการเพิ่มของกำลังอัดอย่างต่อเนื่องจนถึงอายุ 360 วัน เช่น คอนกรีต OR10 และ OR20 มีกำลังอัดที่ อายุ 7 วันเท่ากับ 170 และ 126 กก./ซม.² หรือคิดเป็นร้อยละ 83 และ 62 ของคอนกรีตควบคุม ตามลำดับ และพัฒนากำลังอัดให้สูงขึ้นจนถึงอายุ 90 วันเท่ากับ 278 และ 245 กก./ซม.² หรือคิดเป็นร้อยละ 82 และ 72 ของคอนกรีตควบคุม ตามลำดับ และเมื่ออายุ 360 วันมีการพัฒนากำลังอัดเท่ากับ 358 และ 229 กก./ซม.² หรือคิดเป็นร้อยละ 93 และ 75 ของคอนกรีตควบคุมตามลำดับ นอกจากนั้นเห็นได้ชัดว่าคอนกรีต OR ให้กำลังอัดที่ต่ำกว่าคอนกรีตควบคุมมากและไม่มีแนวโน้มที่จะพัฒนากำลังอัดให้สูงกว่าคอนกรีตควบคุม CT1 ได้ เมื่อจากอัตราการเพิ่มของกำลังอัดใกล้เคียงกับกลุ่มของคอนกรีตควบคุม และการพัฒนากำลังอัดเริ่มมีค่าคงที่จึงส่งผลให้กำลังอัดที่อายุมากขึ้นต่ำกว่าคอนกรีตควบคุม นอกจากนี้การแทนที่ถ้าเกลน-เปลือกไม้ OR ในปริมาณที่มากขึ้นทำให้คอนกรีตต้องการน้ำเพิ่มขึ้น ส่งผลให้กำลังอัดมีค่าต่ำลงตามกฎของ Abrams (1918) จากผลการศึกษาชี้ให้เห็นว่าถ้าเกลน-เปลือกไม้ที่นำมาจากแหล่งผลิตโดยตรง (OR) โดยไม่ผ่านกระบวนการ ไม่เหมาะสมที่จะนำมาแทนที่ปูนซีเมนต์เพื่อใช้ในงานคอนกรีต เนื่องจากมีความพรุนสูงและมีอนุภาคขนาดใหญ่ จึงทำปฏิกิริยาปอชโซลานได้น้อย เมื่อนำมาแทนที่ในปูนซีเมนต์ จึงทำให้กำลังอัดลดลง เพราะกำลังอัดที่ได้จากปฏิกิริยาปอชโซลานไม่สามารถทดเชยกำลังอัดที่ลดลงเนื่องจากการลดปูนซีเมนต์ลงได้ ซึ่งตรงกับการศึกษาของณัฐพงษ์ มงคลชัย (2547) ที่พบว่าถ้าเกลน-เปลือกไม้ที่นำมาจากแหล่งผลิตโดยตรง เมื่อนำมาแทนที่ปูนซีเมนต์ใน คอนกรีตทำให้กำลังอัดของคอนกรีตต่ำลง

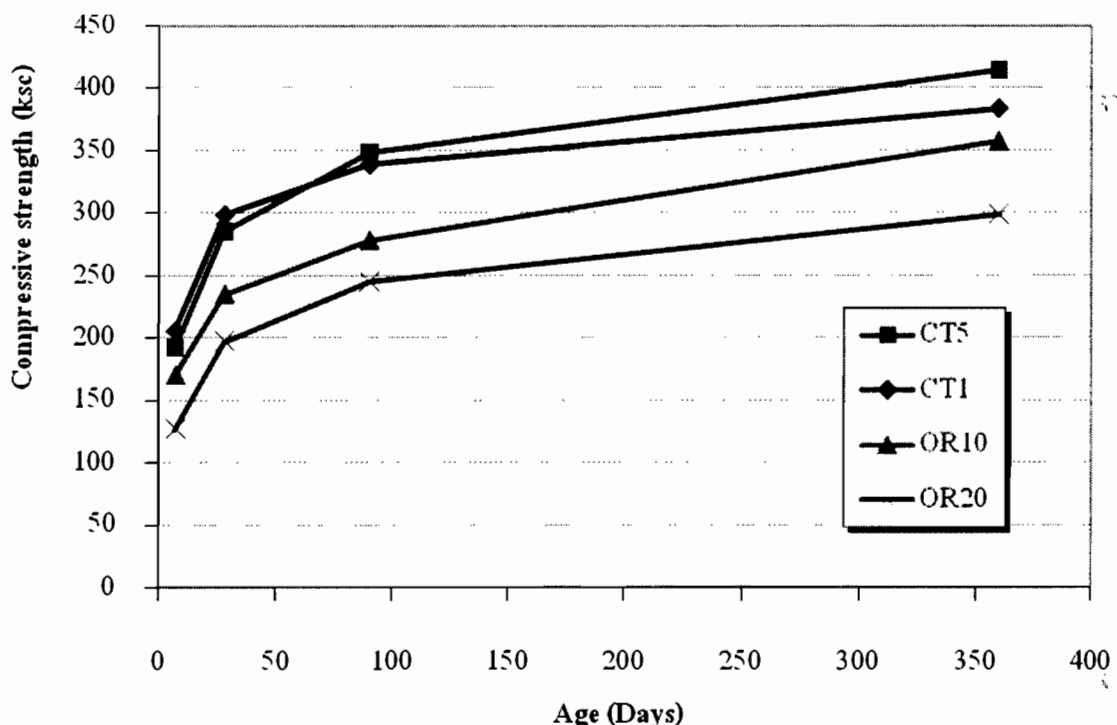
เมื่อพิจารณากำลังอัดของคอนกรีตที่ผสมถ้าเกลน-เปลือกไม้ที่มีความละเอียดมากขึ้น (G1R) ดังแสดงในรูปที่ 4.7 พบว่าเมื่ออายุคอนกรีตเพิ่มขึ้นกำลังอัดจะสูงขึ้น ที่อายุ 7 วันคอนกรีต G1R10, G1R20, G1R30 และ G1R40 มีค่ากำลังอัดเท่ากับ 189, 179, 147 และ 129 กก./ซม.² หรือคิดเป็นร้อยละ 92, 87, 72 และ 63 ของคอนกรีตควบคุม ตามลำดับ และเมื่อคอนกรีตอายุ 28 วันกำลังอัดเพิ่มสูงขึ้นเป็น 283, 271, 243 และ 210 กก./ซม.² หรือคิดเป็นร้อยละ 95, 91, 81 และ 70 ของคอนกรีตควบคุม ตามลำดับ จากค่ากำลังอัดที่อายุ 7 และ 28 วันจะเห็นว่าอัตราการเพิ่มของกำลังอัดเมื่อเทียบกับคอนกรีตควบคุม ไม่ต่างกันมากแสดงว่าในระยะเวลา 28 วันผลของปฏิกิริยาปอชโซลานในคอนกรีตที่ผสมถ้าเกลน-เปลือกไม้ G1R ไม่ได้ส่งผลต่อการพัฒนากำลังอัด ได้เร็วกว่าปฏิกิริยาไไซเดรชันในคอนกรีตควบคุม แต่ในช่วง 28 ถึง 360 วัน พบว่าอัตราการเพิ่มของกำลังอัดในคอนกรีตที่ผสมถ้าเกลน-เปลือกไม้ G1R ในอัตราร้อยละ 10 เพิ่มขึ้นและมีค่าใกล้เคียงกับคอนกรีตควบคุม อย่างไรก็ตามเมื่อ

เปรียบเทียบกับค่อนกรีตที่ผสมถ้าแกลน-เปลือกไม้ OR เห็นได้ชัดว่ากำลังอัดของค่อนกรีต G1R เพิ่มมากกว่าค่อนกรีต OR ในปริมาณการแทนที่ที่เท่ากัน แสดงให้เห็นว่าอนุภาคที่เล็กและความพรุนที่ลดลงของถ้าแกลน-เปลือกไม้ G1R สามารถทำปฏิกิริยาปอชโซลานได้เร็วและดีกว่าถ้าแกลน-เปลือกไม้ OR มาก

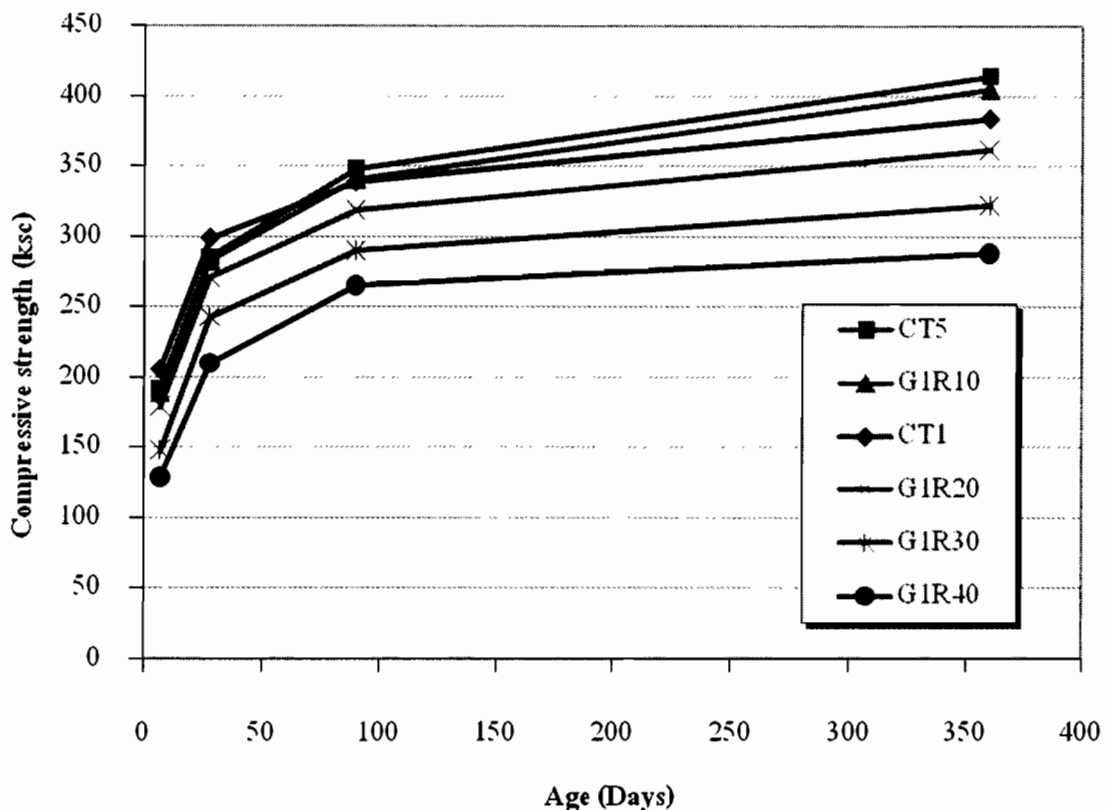
เมื่อพิจารณาการพัฒนากำลังอัดของค่อนกรีตที่ผสมถ้าแกลน-เปลือกไม้ที่มีความละเอียดมาก (G2R) พบว่าค่อนกรีตมีการพัฒนากำลังอัดคล้ายกับค่อนกรีตที่แทนที่ถ้าแกลน-เปลือกไม้ OR และ G1R แต่มีค่ากำลังอัดที่สูงกว่า ดังแสดงในรูป 4.8 เช่น การแทนที่ถ้าแกลน-เปลือกไม้ในอัตราเร้อยละ 20 พ布ว่า ค่อนกรีต OR20, G1R20 และ G2R20 ที่ผสมถ้าแกลน-เปลือกไม้ OR, G1R และ G2R มีกำลังอัดที่อายุ 28 วันเท่ากับ 197, 271 และ 309 กก./ซม.² หรือคิดเป็นร้อยละ 66, 91 และ 103 ของค่อนกรีตควบคุม ตามลำดับ และแนวโน้มดังกล่าวยังเป็นเช่นเดิมเมื่อค่อนกรีตมีอายุ 90 วัน และ 360 วัน ด้วยดังแสดงในรูปที่ 4.10 และ 4.11 เมื่อพิจารณาการพัฒนากำลังอัดของค่อนกรีตที่ผสมถ้าแกลน-เปลือกไม้ G2R พบว่าค่อนกรีต G2R10, G2R20, G2R30 และ G2R40 มีค่ากำลังอัดที่อายุ 7 วันเท่ากับ 241, 214, 183 และ 178 กก./ซม.² และพัฒนากำลังอัดที่อายุ 28 วันเท่ากับ 345, 309, 294 และ 281 กก./ซม.² โดยที่อายุ 7 และ 28 วันค่อนกรีตสามารถพัฒนากำลังได้รวดเร็ว แต่ช่วงอายุ 28 ถึง 360 วัน อัตราการเพิ่มของกำลังอัดต่ำลงโดยมีกำลังอัดที่อายุ 90 วันเท่ากับ 392, 361, 334 และ 324 กก./ซม.² ตามลำดับ และกำลังอัดที่อายุ 360 วันเท่ากับ 422, 410, 377 และ 361 ตามลำดับ ซึ่งกำลังอัดของค่อนกรีต G2R ในทุกอัตราการแทนที่พบว่ากำลังอัดที่อายุ 90 และ 360 วันมากกว่าร้อยละ 90 ของค่อนกรีตควบคุมซึ่งถือว่าอยู่ในเกณฑ์ดี นอกจากนี้ยังพบว่าค่อนกรีต G2R30 และ G2R40 มีกำลังอัดต่ำกว่าค่อนกรีตควบคุมที่อายุ 7 และ 28 วัน แต่สามารถพัฒนากำลังอัดให้ใกล้เคียงกับค่อนกรีตควบคุม CT1 ที่อายุ 90 และ 360 วัน ขณะที่ค่อนกรีต G2R10 และ G2R20 มีกำลังอัดมากกว่าค่อนกรีตควบคุม CT1 ในทุกช่วงอายุการทดสอบ ทั้งนี้เนื่องจากความละเอียดที่สูงมากของถ้าแกลน-เปลือกไม้ G2R สามารถทำปฏิกิริยาปอชโซลานได้รวดเร็ว อนุภาคที่เล็กมากได้แทรกไปตามช่องว่างต่างๆ ของค่อนกรีต ทำให้เกิดการอัดแน่นในค่อนกรีต ซึ่ง Isaias และ คณะ (2003) ได้กล่าวไว้ว่าการบดถ้าแกลนให้มีความละเอียดสูงทำให้ถ้าแกลนมีความเป็นวัสดุปอชโซลานที่ดีขึ้น

อย่างไรก็ตามพบว่าการเพิ่มปริมาณการแทนที่ถ้าแกลน-เปลือกไม้ G1R และ G2R ให้สูงขึ้นทำให้กำลังอัดของค่อนกรีตมีค่าลดลง ซึ่งมีแนวโน้มที่คล้ายกับค่ากำลังอัดที่ลดลงเมื่อเพิ่มปริมาณการแทนที่ถ้าแกลนในค่อนกรีตของงานวิจัยที่ผ่านมา (Ismail และ Waliuddin, 1996; Zhang และ คณะ, 1996; Isaias และ คณะ, 2003) ทั้งนี้อาจเป็นเพราะการบดวัสดุอาจยังมีความพรุนเหลืออยู่ในถ้าแกลน-เปลือกไม้ เมื่อเพิ่มปริมาณการแทนที่ให้สูงขึ้นอัตราส่วนของน้ำต่อวัสดุประสานจึงสูงขึ้นด้วย มีผลทำให้กำลังอัดลดต่ำลง ซึ่งสอดคล้องกับงานวิจัยของ Ikpong (1993) และ Ismail และ Waliuddin (1996) ที่

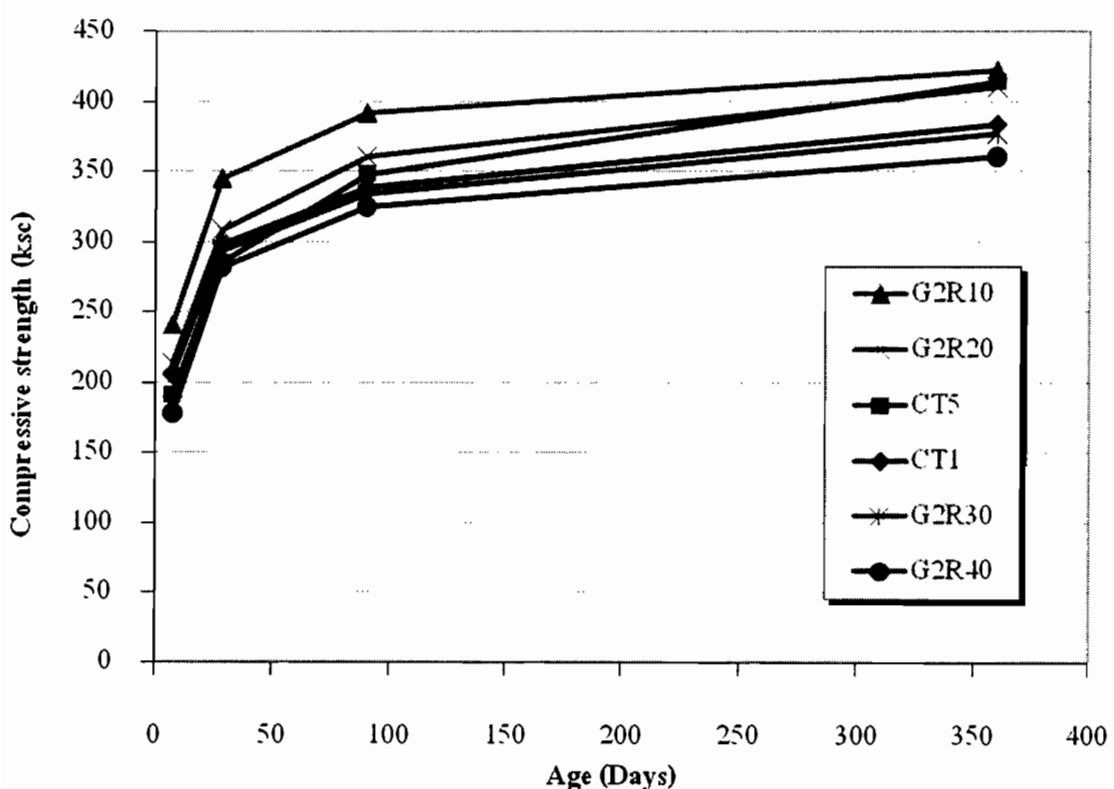
พบว่าการเพิ่มปริมาณการแทนที่ของถ่านแกลบให้สูงขึ้นส่งผลให้ความต้องการน้ำของคอนกรีตลดลง ผสมถ่านแกลบสูงขึ้นด้วย แต่การปรับปรุงความละเอียดของถ่านแกลบ-เปลือกไม้ทำให้การพัฒนาがらังอัดดีกว่าคอนกรีตควบคุม และคอนกรีตที่ผสมถ่านแกลบ-เปลือกไม้ OR เนื่องจากอนุภาคเล็กจึงทำปฏิกิริยากับแคลเซียมไอกซ์ไซด์ในปูนซีเมนต์ได้ดีกว่า



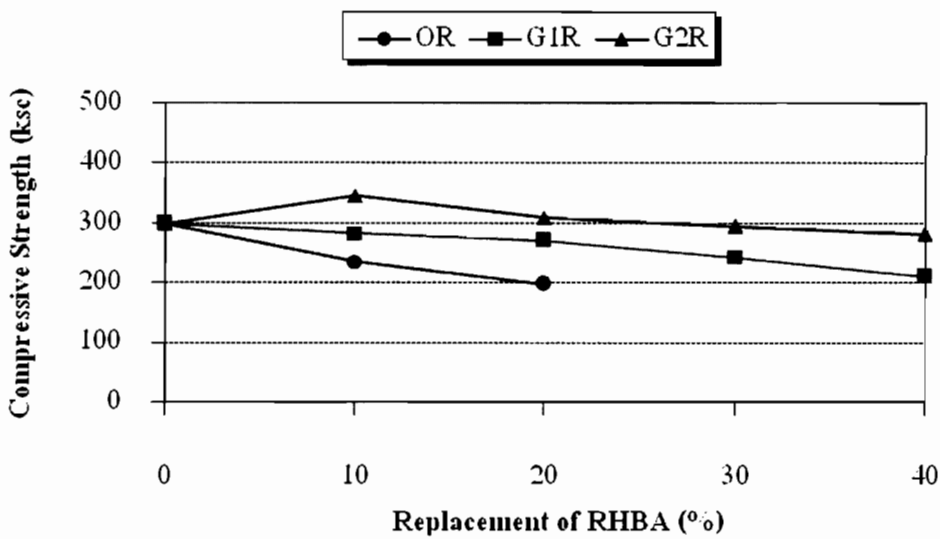
รูปที่ 4.6 ความสัมพันธ์ระหว่างกำลังอัดกับอายุของคอนกรีตที่ผสมถ่านแกลบ-เปลือกไม้ OR



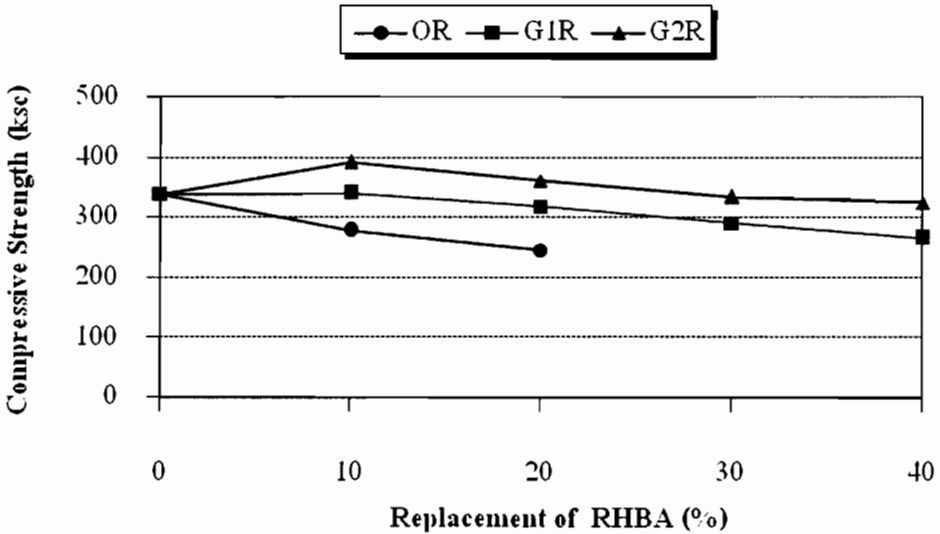
รูปที่ 4.7 ความสัมพันธ์ระหว่างกำลังอัดกับอายุของคอนกรีตที่ผสมเจ้าแกลบ-เปลือกไม้ G1R



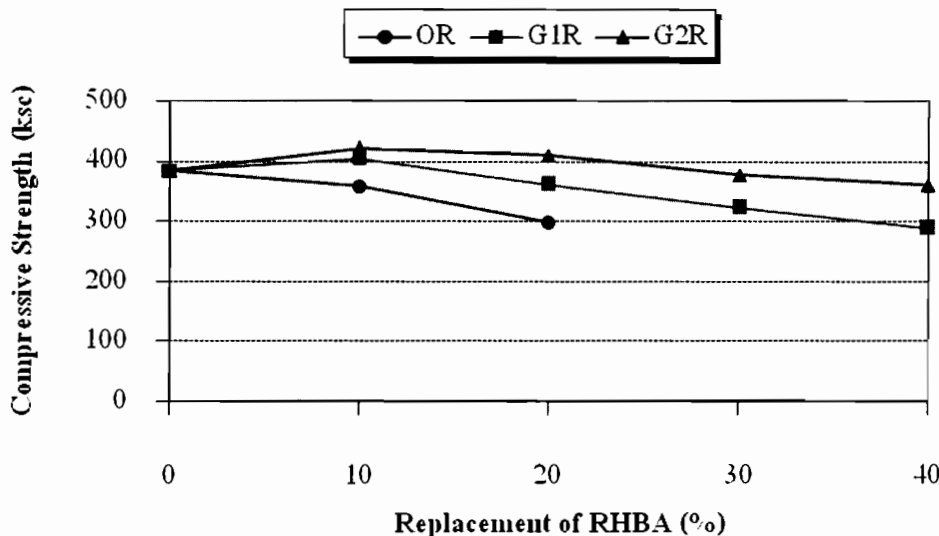
รูปที่ 4.8 ความสัมพันธ์ระหว่างกำลังอัดกับอายุของคอนกรีตที่ผสมเจ้าแกลบ-เปลือกไม้ G2R



รูปที่ 4.9 ความสัมพันธ์ระหว่างกำลังอัดและร้อยละการแทนที่ของถ้าแกลบ-เปลือกไม้ที่มีความละเอียดต่างกันที่อายุ 28 วัน



รูปที่ 4.10 ความสัมพันธ์ระหว่างกำลังอัดและร้อยละการแทนที่ของถ้าแกลบ-เปลือกไม้ที่มีความละเอียดต่างกันที่อายุ 90 วัน



รูปที่ 4.11 ความสัมพันธ์ระหว่างกำลังอัดและร้อยละการแทนที่ของถ้าแกลบ-เปลือกไม้ที่มีความละเอียดต่างกันที่อายุ 360 วัน

4.4.3 กำลังอัดและร้อยละกำลังอัดของคอนกรีตที่ผสมถ้าปาล์มน้ำมัน

รูปที่ 4.12 แสดงความสัมพันธ์ระหว่างกำลังอัดกับอายุของคอนกรีตผสมถ้าปาล์มน้ำมันที่นำมาจากแหล่งผลิตโดยตรง OP โดยคอนกรีต OP10 และ OP20 มีกำลังอัดที่อายุ 7 วันเท่ากับ 160 และ 137 กก/ซม² หรือคิดเป็นร้อยละ 78 และ 67 ของคอนกรีตควบคุม และกำลังอัดมีค่าเพิ่มขึ้นเป็น 237 และ 206 กก/ซม² หรือคิดเป็นร้อยละ 79 และ 69 ของคอนกรีตควบคุมที่อายุ 28 วันตามลำดับ แต่ยังคงต่ำกว่าคอนกรีตควบคุม CT1 แล้วเมื่ออายุ 360 วัน คอนกรีต OP10 และ OP20 มีกำลังอัดเท่ากับ 346 และ 316 กก/ซม² หรือคิดเป็นร้อยละ 90 และ 82 ของคอนกรีตควบคุม CT1 ตามลำดับ และไม่มีคอนกรีตส่วนผสมใดที่สามารถพัฒนากำลังอัดให้มีค่าสูงกว่าคอนกรีตควบคุม CT1 ซึ่งมีแนวโน้มเดียวกันกับกำลังอัดของมอร์ต้าร์ที่ผสมถ้าปาล์มน้ำมันที่ไม่ผ่านการบดซึ่งมีค่าต่ำกว่ากำลังอัดของมอร์ต้าร์ควบคุม (Tangchirapat และคณะ, 2007) นอกจากนี้การแทนที่ปูนซีเมนต์มากขึ้นยังส่งผลให้กำลังอัดลดลงด้วยเหตุที่เป็นเช่นนี้ เพราะว่าถ้าปาล์มน้ำมันก่อนบดมีความพรุนสูงและขนาดใหญ่ จึงทำปฏิกิริยาปอชโซลานได้น้อย เมื่อนำมาแทนที่ปูนซีเมนต์มีผลทำให้กำลังอัดลดลง เพราะกำลังอัดที่ได้จากการปอชโซลานไม่สามารถชดเชยกำลังอัดที่ลดลงเนื่องจากการลดปูนซีเมนต์ได้

เมื่อพิจารณาการพัฒนากำลังอัดของคอนกรีตที่ผสมถ้าปาล์มน้ำมันที่มีความละเอียดมากขึ้น G1P ดังแสดงในรูปที่ 4.13 พบว่าคอนกรีตทุกส่วนผสมมีอัตราการเพิ่มขึ้นของกำลังอัดอย่างรวดเร็วในช่วงอายุ 7 ถึง 28 วัน และอัตราการเพิ่มของกำลังอัดจะช้าลงในช่วงอายุ 28 ถึง 360 วัน ซึ่งแนวโน้มดังกล่าวคล้ายกับการศึกษาของ (Tangchirapat และคณะ, 2007) ที่พบว่าถ้าปาล์มน้ำมันเมื่อปรับปรุงขนาดให้มีความ

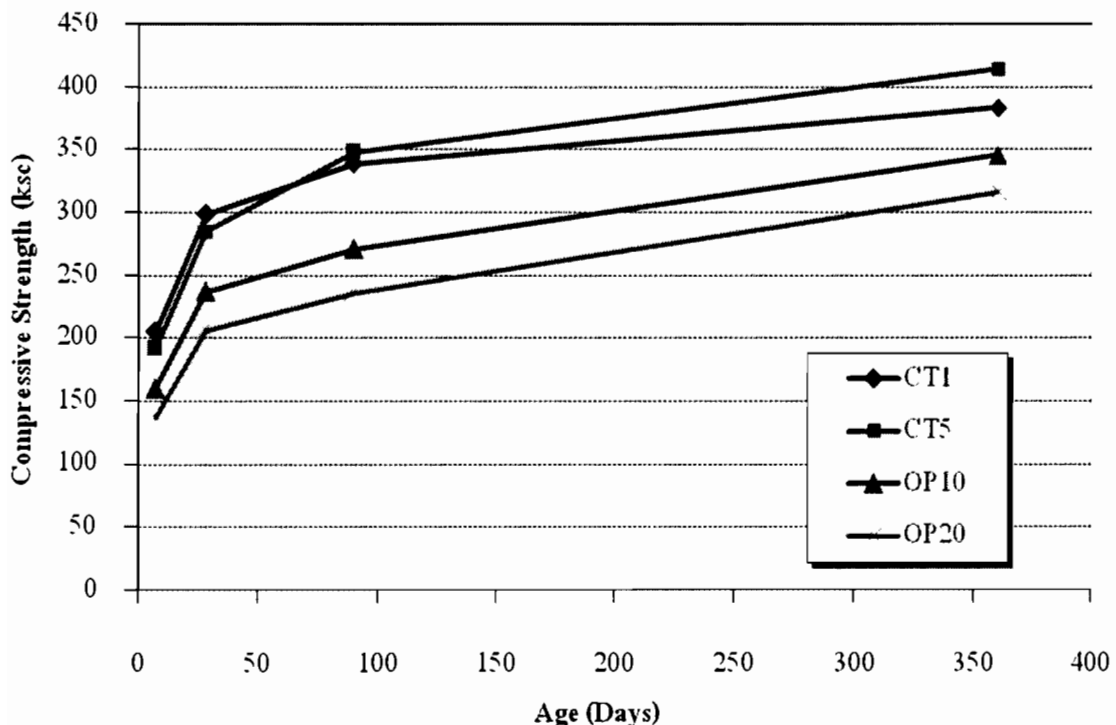
จะเอียดมากขึ้น และแทนที่ปูนซีเมนต์ในคอนกรีตทำให้กำลังอัดของคอนกรีตสูงกว่าคอนกรีตที่ผสมถ้าปาล์มน้ำมันที่นำมาจากแหล่งผลิตโดยตรง โดยคอนกรีต G1P10, G1P20, G1P30 และ G1P40 มีค่ากำลังอัดที่อายุ 7 วันเท่ากับ 192, 175, 160 และ 138 กก./ซม.² ตามลำดับ หลังจากนั้นมีค่าอัตราการหักห้ามที่อายุ 28 วัน กำลังอัดพัฒนาเพิ่มขึ้นเป็น 280, 249, 227 และ 203 กก./ซม.² ซึ่งเห็นได้ว่าในช่วงอายุ 7 ถึง 28 วัน กำลังอัดทุกส่วนผสมเพิ่มขึ้นอย่างรวดเร็ว แต่มีอัตราการหักห้ามของกำลังอัดพบว่าที่อายุ 7 และ 28 วัน ไม่แตกต่างกันนัก ซึ่งที่อายุ 7 วัน มีกำลังอัดของคอนกรีตที่ผสมถ้าปาล์มน้ำมัน G1P ร้อยละ 10, 20, 30 และ 40 มีค่าเท่ากับร้อยละ 93, 85, 78 และ 67 ของคอนกรีตควบคุม ตามลำดับ ในขณะที่อายุ 28 วัน กำลังอัดของคอนกรีตกลุ่มนี้ยังคงเป็นร้อยละ 94, 83, 76 และ 68 ของคอนกรีตควบคุม ตามลำดับ ซึ่งไม่แตกต่างจากที่อายุ 7 วันมากนัก นั่นแสดงให้เห็นว่าผลของปฏิกิริยาปอชโซลานที่เกิดจากถ้าปาล์มน้ำมัน ไม่ชัดเจนมากนักในช่วงอายุ 7 ถึง 28 วัน แต่มีค่าอัตราการหักห้าม G1P10, G1P20, G1P30 และ G1P40 เพิ่มขึ้นเป็นร้อยละ 98, 87, 79 และ 72 ของคอนกรีตควบคุมตามลำดับ และเมื่ออายุ 360 วัน ค่าอัตราการหักห้ามที่กำลังอัดเป็นร้อยละ 98, 87, 81 และ 70 ของคอนกรีตควบคุม ตามลำดับ ซึ่งใกล้เคียงกันแสดงให้เห็นว่าผลของปฏิกิริยาปอชโซลานที่เกิดจากถ้าปาล์มน้ำมันจะเด่นชัดเมื่อค่าอัตราการหักห้ามมากกว่า 28 วัน และคอนกรีต G1P10 สามารถพัฒนากำลังอัดเมื่อมีอายุ 90 วัน ให้ใกล้เคียงกับคอนกรีตควบคุม CT1 ได้

เมื่อแทนที่ปูนซีเมนต์ด้วยถ้าปาล์มน้ำมันที่ผ่านการบดให้ละเอียดมากขึ้น (G2P) พบว่ากำลังอัดของคอนกรีตที่พัฒนาตามอายุมีลักษณะคล้ายกับคอนกรีตที่ผสมถ้าปาล์มน้ำมัน OP และ G1P กล่าวคือ คอนกรีตทุกส่วนผสมมีการพัฒนากำลังอัดเพิ่มขึ้นเป็นอย่างมากในช่วงอายุ 7 ถึง 28 วัน ดังแสดงในรูป 4.14 เมื่อสังเกตจากค่าร้อยละของกำลังอัดจะเห็นได้ว่าคอนกรีตที่แทนที่ด้วยถ้าปาล์มน้ำมัน G2P ถึงร้อยละ 30 สามารถพัฒนากำลังอัดได้ใกล้เคียงกับคอนกรีตควบคุมที่อายุตั้งแต่ 7 วัน โดยที่อายุ 7 วัน คอนกรีต G2P10, G2P20 และ G2P30 มีร้อยละของกำลังอัดเท่ากับ 102, 96 และ 91 ของคอนกรีตควบคุม ตามลำดับ อย่างไรก็ตาม เมื่อค่าอัตราการหักห้ามที่อายุ 28 วัน แม้ว่ากำลังอัดคอนกรีตจะเพิ่มขึ้นอย่างมาก จากอายุ 7 วัน แต่ผลของถ้าปาล์มน้ำมันไม่ได้ส่งผลชัดเจนต่อการเพิ่มของกำลังอัดเมื่อเทียบกับคอนกรีตควบคุม ซึ่งสังเกตได้จากค่าร้อยละของกำลังอัดที่อายุ 28 วัน ไม่แตกต่างจากที่อายุ 7 วันมากนัก แต่ผลของถ้าปาล์มน้ำมันสามารถส่งผลให้กำลังอัด ใกล้เคียงหรือสูงกว่าคอนกรีตควบคุมที่อายุ 90 และ 360 วัน โดยที่อายุ 90 วัน คอนกรีต G2P10, G2P20, G2P30 และ G2P40 มีกำลังอัดเท่ากับ 358, 344, 331 และ 299 กก./ซม.² หรือคิดเป็นร้อยละ 106, 102, 98 และ 88 ของคอนกรีตควบคุม ตามลำดับ และเมื่ออายุ 360 วัน มีกำลังอัดเท่ากับ 396, 383, 364 และ 330 กก./ซม.² หรือคิดเป็นร้อยละ 103, 100, 95 และ 86 ของคอนกรีตควบคุม ตามลำดับ สังเกตเห็นว่าที่อายุ 7 วันขึ้นไป คอนกรีต G2P10 มีค่ากำลังอัดมากกว่าคอนกรีตควบคุม CT1 ทุกอายุการทดสอบ ส่วนคอนกรีต G2P20 มีค่ากำลังอัดใกล้เคียงกับคอนกรีตควบคุมที่อายุ 7 และ 28 วัน และสามารถพัฒนาให้มากกว่าคอนกรีตควบคุมที่อายุ

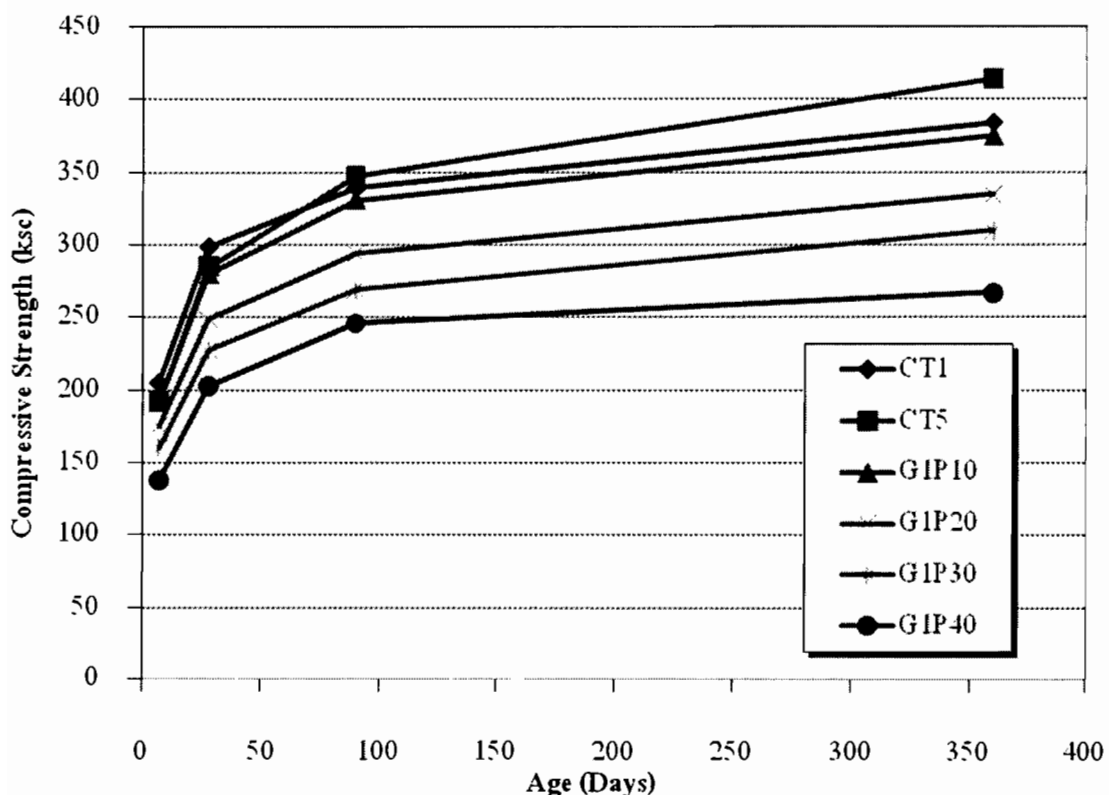
90 และ 360 วัน และหากพิจารณาคุณกรีต G2P30 ถือว่าค่ากำลังอัดอัคซูในเกณฑ์ที่คีในทุกอายุการทดสอบ ซึ่งพบว่าคุณกรีตผสมเด็กปัลมน้ำมันที่ผ่านการบด G2P มีการพัฒนากำลังอัดมากกว่าคุณกรีต OP และ G1P อย่างชัดเจน เนื่องจากอนุภาคที่มีความละเอียดมากกว่าสามารถทำปฏิกิริยาปอชโ Zhoulan ได้เร็วและดีกว่า ซึ่งสอดคล้องกับงานวิจัยของจตุพล ตั้งปภาติและคณะ (2548) ที่พบว่า วัสดุปอช Zhoulan ที่มีความละเอียดสูงสามารถทำปฏิกิริยาปอช Zhoulan ได้มากกว่าวัสดุที่หยาบกว่า

รูปที่ 4.15, 4.16 และ 4.17 แสดงความสัมพันธ์ระหว่างกำลังอัดและร้อยละการแทนที่ปูนซีเมนต์ด้วยเด็กปัลมน้ำมันที่มีความละเอียดต่างกันที่อายุ 28, 90 และ 360 วันตามลำดับ ซึ่งเมื่อเพิ่มปริมาณการแทนที่พบว่า ค่ากำลังอัดมีแนวโน้มลดต่ำลง แสดงให้เห็นว่าความพรุนของเด็กปัลมน้ำมันยังมีอยู่ เม้มว่าจะบดให้มีขนาดอนุภาคที่เล็กกว่าปูนซีเมนต์ก็ตาม แต่การบดเด็กปัลมน้ำมันให้มีอนุภาคเฉลี่ยเท่ากับ 10.2 ไมครอน สามารถแทนที่ปูนซีเมนต์ปอร์ตแลนด์ประเภทที่ 1 ได้สูงถึงร้อยละ 40 และขังคงให้กำลังอัดที่อายุ 28, 90 และ 360 วันเป็นที่น่าพอใจ (ประมาณร้อยละ 90 เมื่อเทียบกับคุณกรีตควบคุม)

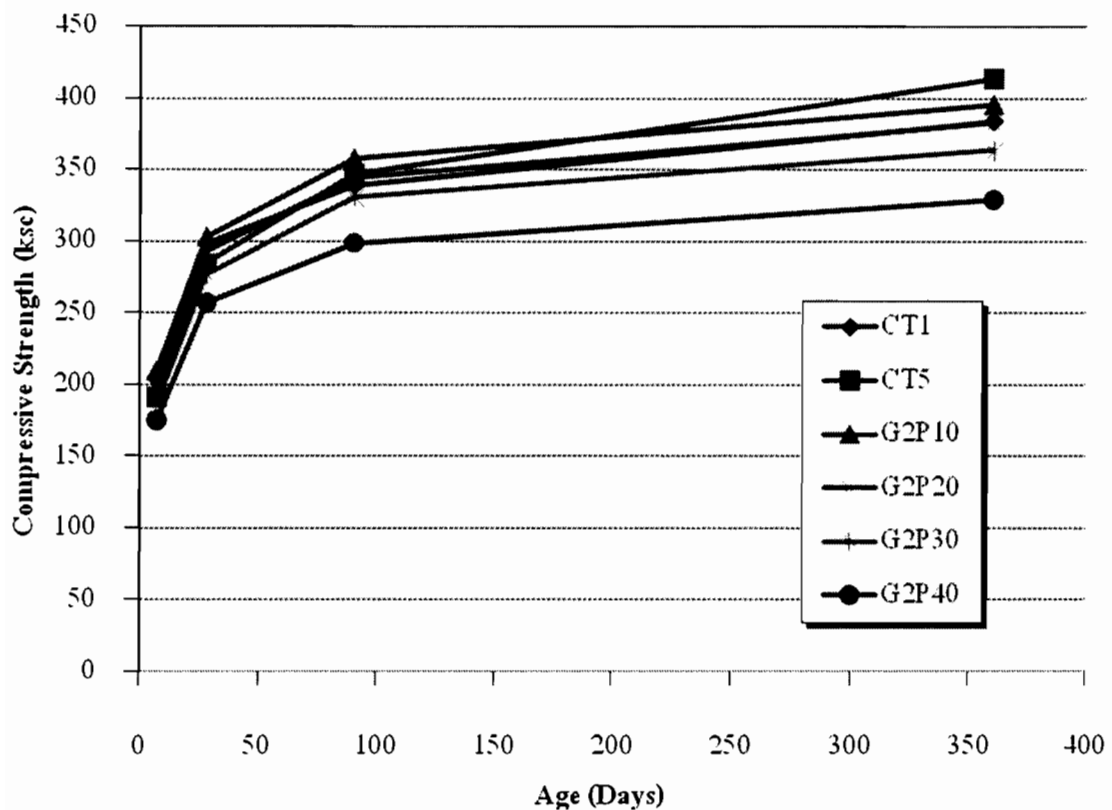
เมื่อเปรียบเทียบระหว่างกำลังอัดของคุณกรีตที่ผสมเด็กแกลบ-เปลือกไม้และเด็กปัลมน้ำมันที่มีความละเอียดระดับเดียวกันและแทนที่ปูนซีเมนต์ในปริมาณเท่ากันที่อายุ 90 และ 360 วัน พบร่วมกับคุณกรีตที่ผสมเด็กแกลบ-เปลือกไม้มีกำลังอัดสูงกว่าคุณกรีตที่ผสมเด็กปัลมน้ำมันไม่มากนัก โดยการแทนที่เด็กแกลบ-เปลือกไม้และเด็กปัลมน้ำมันที่มีความละเอียด G2 ในอัตราร้อยละ 20 ที่อายุ 90 วันมีร้อยละของกำลังอัดเท่ากับ 106 และ 102 ตามลำดับ และอายุ 360 วันมีร้อยละของกำลังอัดเท่ากับ 107 และ 100 ตามลำดับ ซึ่งสอดคล้องกับงานวิจัยมอร์ต้าร์ที่ผสมเด็กแกลบ-เปลือกไม้และเด็กปัลมน้ำมันของจตุพล ตั้งปภาติและคณะ (2548) ที่พบว่ามอร์ต้าร์ที่ผสมเด็กแกลบ-เปลือกไม้มีกำลังอัดสูงกว่ามอร์ต้าร์ที่ผสมเด็กปัลมน้ำมัน โดยจากการแทนที่เด็กแกลบ-เปลือกไม้และเด็กปัลมน้ำมันที่มีปริมาณค้างตะแกรงเบอร์ 325 ไม่เกินร้อยละ 5 โดยน้ำหนักในอัตราร้อยละ 20 พบร่วมมอร์ต้าร์มีกำลังอัดที่อายุ 90 วันคิดเป็นร้อยละ 107 และ 105 ของมอร์ต้าร์ควบคุมตามลำดับ การใช้เด็กแกลบ-เปลือกไม้ให้กำลังอัดสูงกว่าการใช้เด็กปัลมน้ำมันเพียงร้อยละ 2 และเมื่อเปรียบเทียบคุณกรีตในทุกการแทนที่ขังคงพบว่า เด็กแกลบ-เปลือกไม้ให้กำลังอัดดีกว่าคุณกรีตที่ผสมเด็กปัลมน้ำมัน



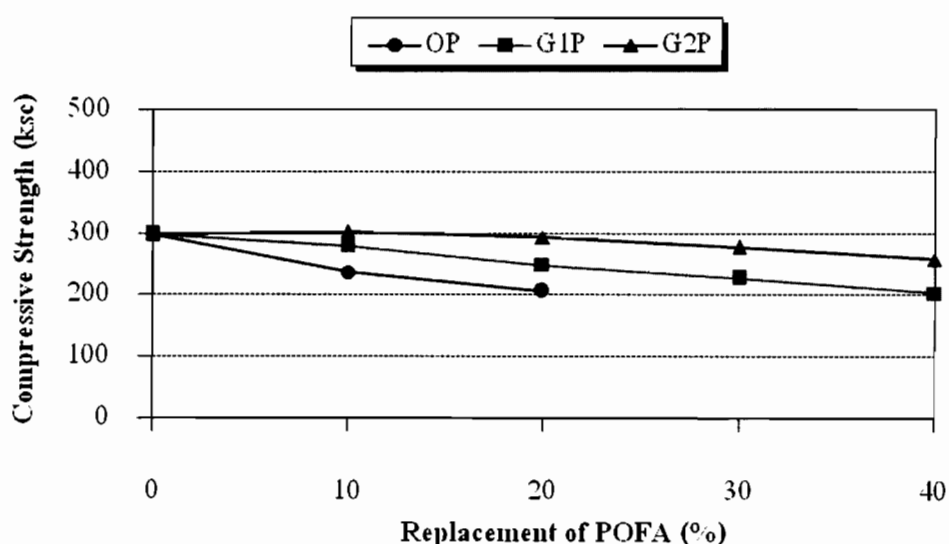
รูปที่ 4.12 ความสัมพันธ์ระหว่างกำลังอัดกับอายุของคอนกรีตที่ผสมถ้าปาล์มน้ำมัน OP



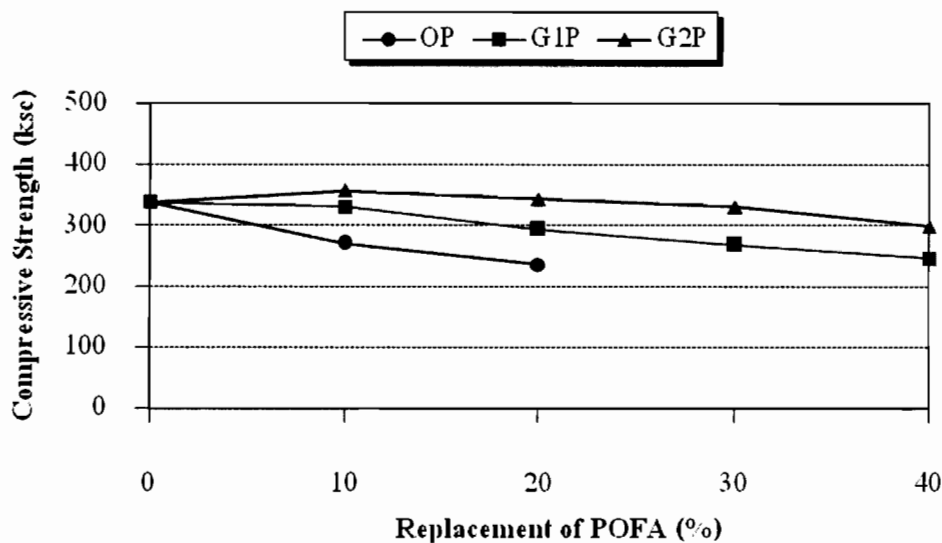
รูปที่ 4.13 ความสัมพันธ์ระหว่างกำลังอัดกับอายุของคอนกรีตที่ผสมถ้าปาล์มน้ำมัน GIP



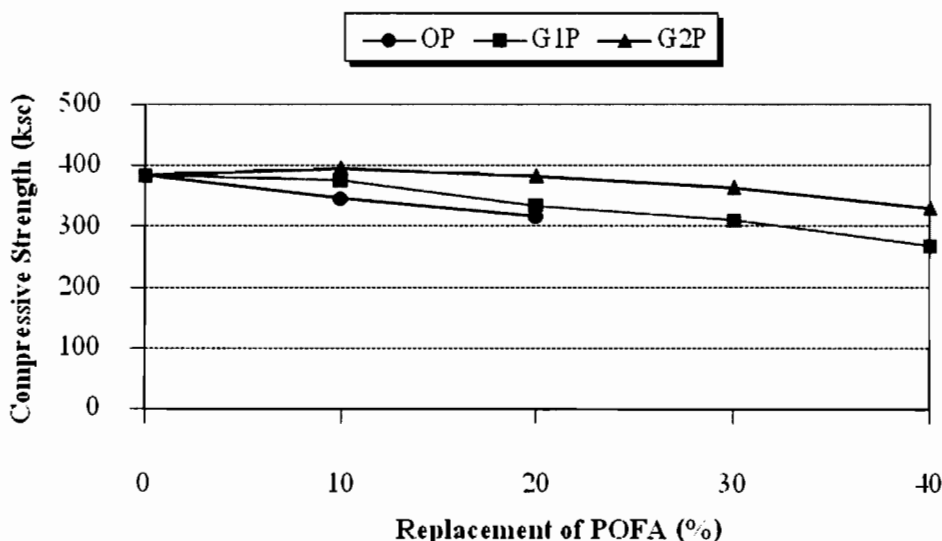
รูปที่ 4.14 ความสัมพันธ์ระหว่างกำลังอัดกับอายุของคอนกรีตที่ผสมถ้าปาล์มน้ำมัน G2P



รูปที่ 4.15 ความสัมพันธ์ระหว่างกำลังอัดและร้อยละการแทนที่ของถ้าปาล์มน้ำมัน
ที่ความละเอียดต่างกันที่อายุ 28 วัน



รูปที่ 4.16 ความสัมพันธ์ระหว่างกำลังอัดและร้อยละการแทนที่ของถ้าปาล์มน้ำมันที่ความละเอียดต่างกันที่อายุ 90 วัน



ก. อายุ 360 วัน

รูปที่ 4.17 ความสัมพันธ์ระหว่างกำลังอัดและร้อยละการแทนที่ของถ้าปาล์มน้ำมันที่ความละเอียดต่างกันที่อายุ 360 วัน

4.5 การแทรกซึมคลอไรด์เข้าสู่ค่อนกรีต

ตารางที่ 4.4 แสดงผลการทดสอบการแทรกซึมคลอไรด์เข้าสู่ค่อนกรีตที่แสดงเป็นค่าความลึกมีหน่วยเป็นเซนติเมตร และแสดงค่าร้อยละของการแทรกซึมคลอไรด์เข้าสู่ค่อนกรีตผสมเด้าแกลบ-เปลือกไม้และค่อนกรีตผสมเด้าปาร์มน้ำมันเมื่อเทียบกับค่อนกรีตควบคุม โดยที่อายุ 90 และ 360 วัน ค่อนกรีตควบคุม CT1 มีค่าการแทรกซึมคลอไรด์เข้าสู่ค่อนกรีต CT1 เท่ากับ 1.44 และ 4.82 เซนติเมตร ขณะที่มีกำลังอัดเท่ากับ 339 และ 384 กก/ซม² ตามลำดับ

4.5.1 ความสัมพันธ์ระหว่างร้อยละการแทนที่และความลักษณะของเด้าแกลบ-เปลือกไม้ต่อการแทรกซึมคลอไรด์เข้าสู่ค่อนกรีต

การแทนที่ปูนซีเมนต์ด้วยเด้าแกลบ-เปลือกไม้ที่มีความลักษณะอ่อนตัว พบว่าสามารถลดการแทรกซึมคลอไรด์เข้าสู่ค่อนกรีตลงได้ โดยเห็นผลทั้งค่อนกรีตที่ผสมเด้าแกลบ-เปลือกไม้ที่ปรับปรุงความลักษณะจาก OR เป็น G1R และจากความลักษณะอ่อนตัว G1R เป็น G2R เช่น ค่อนกรีต OR10 และ OR20 มีการแทรกซึมคลอไรด์เข้าสู่ค่อนกรีตที่อายุ 90 วันเท่ากับ 1.68 และ 1.36 เซนติเมตร หรือมีอัตราส่วนของการแทรกซึมคลอไรด์เข้าสู่ค่อนกรีตเท่ากับร้อยละ 117 และ 94 ของค่อนกรีตควบคุม CT1 ตามลำดับ และเมื่อเพิ่มความลักษณะอ่อนตัวเป็น G1R การแทรกซึมคลอไรด์เข้าสู่ค่อนกรีตให้ลดลงเป็น 1.62 และ 1.30 เซนติเมตร หรือมีอัตราส่วนของการแทรกซึมคลอไรด์เข้าสู่ค่อนกรีตเท่ากับร้อยละ 113 และ 90 ของค่อนกรีตควบคุม ตามลำดับ เมื่อเพิ่มความลักษณะอ่อนตัวเป็น G2R มีการแทรกซึมคลอไรด์เข้าสู่ค่อนกรีตเท่ากับ 1.06 และ 1.02 เซนติเมตร หรือมีอัตราส่วนของการแทรกซึมคลอไรด์เข้าสู่ค่อนกรีตเท่ากับร้อยละ 74 และ 71 ของค่อนกรีตควบคุม ตามลำดับ ดังนั้นการใช้เด้าแกลบ-เปลือกไม้แทนที่ปูนซีเมนต์ในปริมาณที่สูงขึ้นและการเพิ่มความลักษณะอ่อนตัวสามารถลดการแทรกซึมคลอไรด์เข้าสู่ค่อนกรีตได้ และแนวโน้มดังกล่าวนี้เป็นเช่นเดียวกับค่อนกรีตที่อายุ 360 วัน ทั้งนี้เนื่องจากเด้าแกลบ-เปลือกไม้ที่มีอนุภาคที่เล็กทำให้ความพรุนของเพชร์ในเนื้อค่อนกรีตลดลงค่อนกรีตมีความทึบมากขึ้นสามารถป้องกันการแทรกซึมคลอไรด์ได้ดีขึ้น ซึ่งสอดคล้องกับการศึกษาการซึมผ่านอากาศของ Chindaprasirt และคณะ (2005) ที่พบว่าเมื่อแทนที่เด้าถ่านหินที่มีขนาดเล็กในเพชร์ความพรุนจะลดลง และการซึมผ่านอากาศลดลงด้วย

เมื่อพิจารณาการแทรกซึมคลอไรด์เข้าสู่ค่อนกรีตตามระยะเวลาบ่มพบร่วมกับค่อนกรีตที่ผสมเด้าแกลบ-เปลือกไม้ทั้ง 3 ความลักษณะมีแนวโน้มเหมือนกันคือ ระยะเวลาบ่มเพิ่มขึ้นอัตราส่วนของการแทรกซึมคลอไรด์เข้าสู่ค่อนกรีตเมื่อเทียบกับค่อนกรีตควบคุมจะลดลง เช่น ค่อนกรีตที่ผสมเด้าแกลบ-เปลือกไม้ G1R ในอัตราร้อยละ 10, 20, 30 และ 40 ที่อายุ 90 วัน มีการแทรกซึม

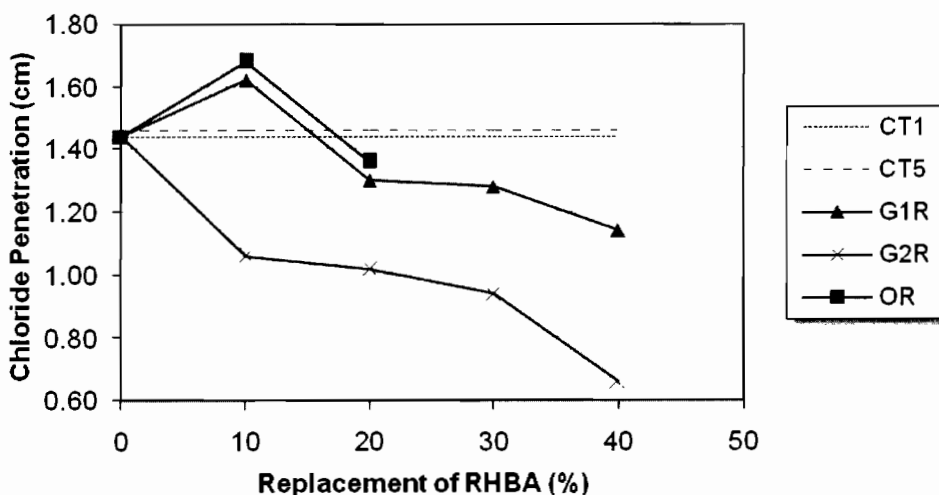
คลอไพรค์เข้าสู่ค่อนกรีตเท่ากับ 1.62, 1.30, 1.38 และ 1.14 เซนติเมตร หรือมีอัตราส่วนของการแทรกซึ่งคลอไพรค์เข้าสู่ค่อนกรีตเท่ากับร้อยละ 113, 90, 96 และ 79 ของค่อนกรีตควบคุมตามลำดับ และที่อายุ 360 วัน ค่อนกรีต G1R มีการแทรกซึ่งคลอไพรค์เข้าสู่ค่อนกรีตเท่ากับ 2.44, 2.02, 1.86, 1.74 เซนติเมตร หรือมีอัตราส่วนของการแทรกซึ่งคลอไพรค์เท่ากับร้อยละ 57, 47, 43 และ 41 ของค่อนกรีตควบคุม ตามลำดับ ซึ่งถ้ากว่าค่อนกรีตควบคุมทุกอัตราการแทนที่แนวโน้มดังกล่าวเป็นเพราะยะเวลาบ่นที่นานขึ้น การเกิดปฏิกิริยาปอชโซลานและปฏิกิริยาไไซเครชันมีความสมบูรณ์มากขึ้น ส่งผลให้ขนาดและปริมาณโพรงในค่อนกรีตมีค่าลดลง ทำให้การแทรกซึ่งคลอไพรค์เข้าสู่ค่อนกรีตเป็นไปได้ยากขึ้น

การปรับปรุงคุณภาพของถ้าเกลน-เปลือกไม้โดยการบดให้มีความละเอียดมากมีประสิทธิภาพในการลดการแทรกซึ่งคลอไพรค์เข้าสู่ค่อนกรีตลงได้ โดยพิจารณาจากค่อนกรีตที่ผสมถ้าเกลน-เปลือกไม้ที่บดละเอียดมาก พบว่าค่อนกรีต G2R10, G2R20, G2R30 และ G2R40 มีการแทรกซึ่งคลอไพรค์เข้าสู่ค่อนกรีตที่อายุ 90 วันเท่ากับ 1.06, 1.02, 0.94 และ 0.66 เซนติเมตร หรือมีอัตราส่วนของการแทรกซึ่งคลอไพรค์เข้าสู่ค่อนกรีตผสมถ้าเกลน-เปลือกไม้ที่อายุ 360 วันโดยมีค่าเท่ากับ 1.80, 1.72, 1.40 และ 0.92 เซนติเมตร ซึ่งเท่ากับร้อยละ 42, 40, 33 และ 21 ของค่อนกรีตควบคุม ตามลำดับ และการแทรกซึ่งคลอไพรค์เข้าสู่ค่อนกรีตผสมถ้าเกลน-เปลือกไม้ที่อายุ 28 และ 90 วัน แม้ว่าค่า W/B ของค่อนกรีต G2R ส่วนใหญ่มีค่าสูงกว่าค่อนกรีตควบคุม อ้างเป็นเพราะถ้าเกลน-เปลือกไม้มีความต้องการน้ำสูงเนื่องจากมีค่า LOI ก่อนขึ้นสูง แต่การแทรกซึ่งคลอไพรค์เข้าสู่ค่อนกรีตนั้นไม่ได้ขึ้นอยู่กับค่า W/B เพียงอย่างเดียว ยังขึ้นอยู่กับขนาด รูปร่าง การกระจายตัว และความต่อเนื่องของโพรงในเนื้อค่อนกรีตด้วย (Neville, 1995) และที่สำคัญคือขึ้นกับวัสดุปอชโซลานที่ใช้แทนที่ปูนซีเมนต์ในส่วนผสมของค่อนกรีต

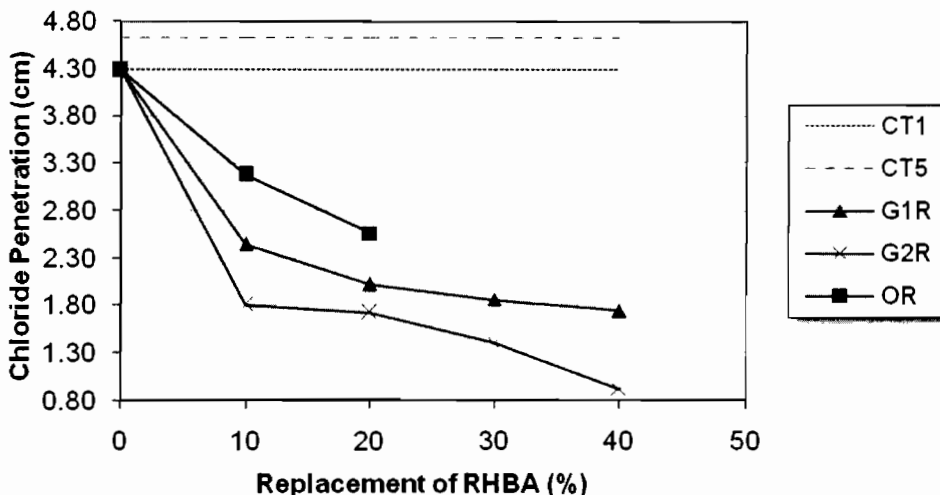
ตารางที่ 4.4 การแทรกซึมคลอไรด์เข้าสู่คอนกรีตและอัตราส่วนของการแทรกซึมคลอไรด์เข้าสู่คอนกรีตที่ผสมเท้าเกลบ-เปลือกไม้และเท้าป่าล้มนำมันเปรียบเทียบกับคอนกรีตควบคุม CT1

Sample	Chloride Penetration (cm) -	
	(Normalized Chloride Penetration to CT1, %)	
	90 days	360 days
CT1	1.44 (100)	4.28 (100)
CT5	1.46 (99)	4.62 (108)
OR10	1.68 (117)	3.18 (74)
OR20	1.36 (94)	2.56 (60)
G1R10	1.62 (113)	2.44 (57)
G1R20	1.30 (90)	2.02 (47)
G1R30	1.38 (96)	1.86 (43)
G1R40	1.14 (79)	1.74 (41)
G2R10	1.06 (74)	1.80 (42)
G2R20	1.02 (71)	1.72 (40)
G2R30	0.94 (65)	1.40 (33)
G2R40	0.66 (46)	0.92 (21)
OP10	2.02 (140)	3.52 (82)
OP20	1.98 (138)	2.70 (63)
G1P10	1.94 (135)	2.94 (69)
G1P20	1.72 (119)	2.12 (50)
G1P30	1.32 (92)	2.08 (49)
G1P40	1.26 (88)	1.56 (36)
G2P10	1.58 (110)	1.98 (46)
G2P20	1.30 (90)	1.58 (37)
G2P30	1.30 (90)	1.40 (33)
G2P40	0.82 (57)	1.12 (26)

รูปที่ 4.18 และ 4.19 แสดงความสัมพันธ์ระหว่างการแทรกซึมคลอไรด์เข้าสู่คอนกรีตและร้อยละการแทนที่ปูนซีเมนต์ปอร์ตแลนด์ประเภทที่ 1 ด้วยถ่านแกลบн-เปลือกไม้ความละอียดต่างๆ ที่อายุ 90 และ 360 วันตามลำดับ ซึ่งมีแนวโน้มที่ชัดเจนว่าเมื่อเพิ่มปริมาณการแทนที่ปูนซีเมนต์ด้วยถ่านแกลบн-เปลือกไม้มากขึ้นการแทรกซึมคลอไรด์เข้าสู่คอนกรีตจะลดลงตามความละอียดที่เพิ่มขึ้น สาเหตุ เพราะว่าถ่านแกลบн-เปลือกไม้ที่ได้รับการปรับปรุงขนาดให้มีความละอียดนิอนุภาคเล็กกว่าปูนซีเมนต์ แม้ความต้องการน้ำยังสูงขึ้นตามปริมาณการแทนที่ปูนซีเมนต์ที่สูงขึ้น แต่ส่งผลให้คอนกรีตมีความสามารถในการต้านทานการแทรกซึมคลอไรด์ได้ดีขึ้นซึ่งมีอิทธิพลมากกว่าความต้องการน้ำที่เพิ่มขึ้น จึงทำให้การแทรกซึมคลอไรด์เข้าสู่คอนกรีตลดลง

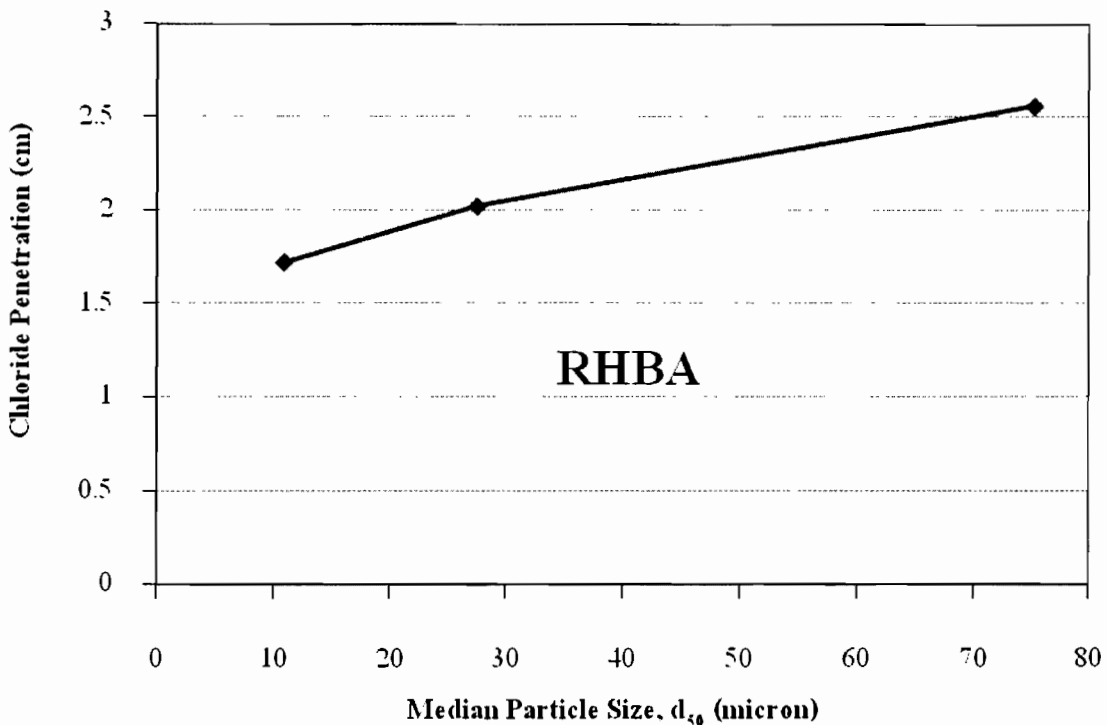


รูปที่ 4.18 ความสัมพันธ์ระหว่างการแทรกซึมคลอไรด์เข้าสู่คอนกรีตและร้อยละการแทนที่ของถ่านแกลบн-เปลือกไม้ที่อายุ 90 วัน



รูปที่ 4.19 ความสัมพันธ์ระหว่างการแทรกซึมคลอไรด์เข้าสู่คอนกรีตและร้อยละการแทนที่ของถ้าแกลบ-เปลือกไม้ที่อายุ 360 วัน

การเพิ่มความละเอียดให้กับถ้าแกลบ-เปลือกไม้สามารถลดการแทรกซึมคลอไรด์เข้าสู่คอนกรีตได้ อย่างชัดเจนดังแสดงในรูปที่ 4.20 ซึ่งเป็นความสัมพันธ์ระหว่างขนาดอนุภาคเฉลี่ยและการแทรกซึมคลอไรด์เข้าสู่คอนกรีตที่แทนที่ปูนซีเมนต์ด้วยถ้าแกลบ-เปลือกไม้ในอัตรา 20% ที่ อายุ 360 วัน พบว่าคอนกรีตที่ผสมถ้าแกลบ-เปลือกไม้ในปริมาณที่เท่ากันแต่ขนาดต่างกันทำให้การแทรกซึมคลอไรด์เข้าสู่คอนกรีตต่างกัน โดยที่คอนกรีตผสมถ้าแกลบ-เปลือกอนุภาคขนาดเล็กมีการแทรกซึมคลอไรด์เข้าสู่คอนกรีตต่ำกว่าคอนกรีตผสมถ้าแกลบ-เปลือกไม้อนุภาคขนาดใหญ่กว่า แสดงว่าอนุภาคถ้าแกลบ-เปลือกไม้ที่เล็กลงสามารถลดความชื้นของในคอนกรีต เพิ่มความแน่นและทำให้คอนกรีตทึบน้ำมากขึ้น เช่นเดียวกับงานวิจัยของ Chindaprasirt และคณะ (2005) ที่พบว่าขนาดโพรงเฉลี่ยของเพสต์ผสมถ้าถ่านหินมีค่าลดลง เมื่อมีการแทนที่ถ้าถ่านหินขนาดเล็กในเพสต์ อีกทั้งถ้าแกลบ-เปลือกไม้ อนุภาคเล็กสามารถตักจับคลอไรด์ที่แทรกซึมเข้าสู่คอนกรีตได้ดีกว่าถ้าแกลบ-เปลือกไม้อนุภาคใหญ่ ดังนั้นการบดถ้าแกลบ-เปลือกไม้จึงเป็นการเพิ่มความสามารถในการต้านทานการแทรกซึมคลอไรด์เข้าสู่คอนกรีตได้เป็นอย่างดี



รูปที่ 4.20 ความสัมพันธ์ระหว่างขนาดอนุภาคเฉลี่ยและการแทรกซึมคลอไรด์เข้าสู่คอนกรีตที่แทนที่ปูนซีเมนต์ด้วยถ่านแกลบ-เปลือกไม้ในอัตราร้อยละ 20 ที่ อายุ 360 วัน

4.5.2 ความสัมพันธ์ระหว่างร้อยละการแทนที่และการแทรกซึมคลอไรด์เข้าสู่คอนกรีต

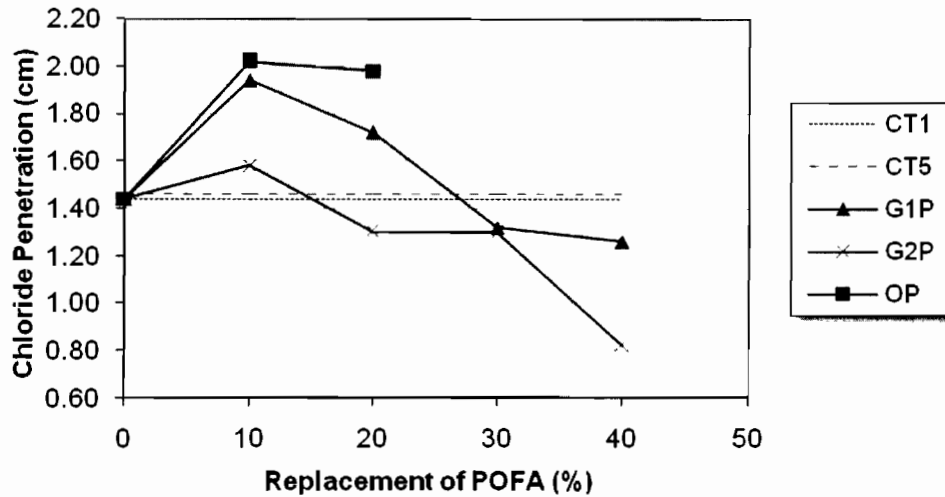
เมื่อพิจารณาการแทรกซึมคลอไรด์เข้าสู่คอนกรีตในตารางที่ 4.4 พบว่าคอนกรีตที่ผสมถ่านป่าล้มนำมันที่นำมาจากแหล่งผลิตโดยตรง (OP) ในอัตราร้อยละ 10 และ 20 โดยหนักของวัสดุประสาน มีผลในทิศทางเดียวกันกับคอนกรีตที่ผสมถ่านแกลบ-เปลือกไม้ที่นำมาจากแหล่งผลิตโดยตรงกล่าวคือที่อายุ 90 วันคอนกรีต OP10 และ OP20 มีการแทรกซึมคลอไรด์เข้าสู่คอนกรีตเท่ากับ 2.02 และ 1.98 เซนติเมตร หรือมีการแทรกซึมคลอไรด์เข้าสู่คอนกรีตเท่ากับร้อยละ 140 และ 138 ของคอนกรีตควบคุม CT1 ตามลำดับ และการแทรกซึมคลอไรด์เข้าสู่คอนกรีตที่อายุ 360 วันเท่ากับ 3.52 และ 2.70 เซนติเมตร หรือมีการแทรกซึมคลอไรด์เข้าสู่คอนกรีตเท่ากับร้อยละ 82 และ 63 ของคอนกรีตควบคุม CT1 ตามลำดับ ซึ่งมีค่าลดลงเมื่อเทียบกับคอนกรีตที่อายุ 90 วัน คอนกรีต OP มีการแทรกซึมคลอไรด์เข้าสู่คอนกรีตสูงกว่าคอนกรีตควบคุมที่อายุ 90 วัน แต่สามารถพัฒนาให้มีการแทรกซึมคลอไรด์เข้าสู่คอนกรีตลดต่ำลงกว่าคอนกรีตควบคุม ได้ที่อายุ 360 วัน ทั้งนี้เนื่องจากอนุภาคที่มีขนาดใหญ่และมีความพรุนสูงของถ่านป่าล้มนำมัน OP ทำให้เกิดช่องว่างในเนื้อคอนกรีต จึงมีการแทรกซึมคลอไรด์เข้าสู่คอนกรีตสูงกว่าคอนกรีตควบคุม แต่เมื่อเวลาผ่านไปปฏิกรณ์ปอกโซล่า�ที่เพิ่มขึ้นสามารถพัฒนาให้

ค่อนกรีตที่ผสมถ้าปาล์มน้ำมันมีการแทรกซึ่งคลอไฮด์เข้าสู่ค่อนกรีตต่ำกว่าค่อนกรีตควบคุม รูปที่ 4.21 และ 4.22 แสดงให้เห็นว่าค่อนกรีต OP มีการแทรกซึ่งคลอไฮด์เข้าสู่ค่อนกรีตต่ำลงเมื่ออัตราการแทนที่ถ้าปาล์มน้ำมันในค่อนกรีตมากขึ้น โดยเฉพาะที่อายุ 360 วัน พบว่า การแทรกซึ่งคลอไฮด์เข้าสู่ค่อนกรีตมีแนวโน้มลดลงอย่างชัดเจนเมื่อแทนที่ถ้าปาล์มน้ำมัน OP มากขึ้น

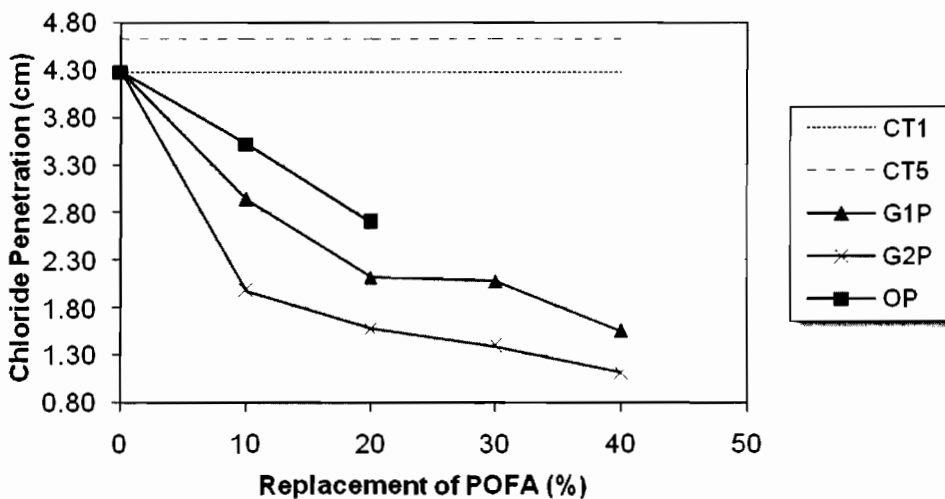
ส่วนค่อนกรีตที่แทนที่ปูนซีเมนต์ด้วยถ้าปาล์มน้ำมันที่มีความละอิจปานกลาง (G1P) ในอัตราเร้อยละ 10, 20, 30 และ 40 โดยน้ำหนักของวัสดุประสานพนวนมีการแทรกซึ่งคลอไฮด์เข้าสู่ค่อนกรีตที่อายุ 90 วันเท่ากับ 1.94, 1.72, 1.32 และ 1.26 เซนติเมตร หรือมีร้อยละการแทรกซึ่งคลอไฮด์เท่ากับ 135, 119, 92 และ 88 ของค่อนกรีตควบคุม ตามลำดับ และเมื่ออายุเพิ่มเป็น 360 วันมีการแทรกซึ่งคลอไฮด์เข้าสู่ค่อนกรีตเท่ากับ 2.94, 2.12, 2.08 และ 1.96 หรือมีร้อยละการแทรกซึ่งคลอไฮด์เท่ากับ 69, 50, 49 และ 36 ของค่อนกรีตควบคุม ตามลำดับ ซึ่งต่ำกว่าค่อนกรีตควบคุมในทุกการแทนที่ เมื่อว่าที่อายุ 90 วันยังมีการแทรกซึ่งคลอไฮด์เข้าสู่ค่อนกรีตสูงกว่าค่อนกรีตควบคุมที่อัตราการแทนที่ปูนซีเมนต์ด้วยถ้าปาล์มน้ำมัน G1P ร้อยละ 10 และ 20 และเมื่อแทนที่ปูนซีเมนต์ด้วยถ้าปาล์มน้ำมัน G1P ในอัตราเร้อยละ 30 และ 40 สามารถลดการแทรกซึ่งคลอไฮด์เข้าให้ต่ำกว่าค่อนกรีตควบคุมได้ที่อายุ 90 วัน แสดงว่าเมื่อเพิ่มปริมาณถ้าปาล์มน้ำมัน G1P แทนที่ในปูนซีเมนต์จะทำให้ค่อนกรีตมีความแน่น และทึบหนักกว่าถ้าปาล์มน้ำมันที่นำมาจากแหล่งผลิตโดยตรง

ค่อนกรีต G2P10, G2P20, G2P30 และ G2P40 มีการแทรกซึ่งคลอไฮด์เข้าสู่ค่อนกรีตที่อายุ 90 วันเท่ากับ 1.58, 1.30, 1.30 และ 0.82 หรือมีร้อยละการแทรกซึ่งคลอไฮด์เท่ากับ 110, 90, 90 และ 57 ของค่อนกรีตควบคุม ตามลำดับ และที่อายุ 360 วันค่อนกรีตดังกล่าวสามารถลดการแทรกซึ่งคลอไฮด์ให้ต่ำลงเท่ากับ 1.98, 1.58, 1.40 และ 1.12 หรือมีร้อยละการแทรกซึ่งคลอไฮด์เท่ากับ 46, 37, 33 และ 26 ของค่อนกรีตควบคุม ตามลำดับ

การแทรกซึ่งคลอไฮด์เข้าสู่ค่อนกรีตที่ผสมถ้าปาล์มน้ำมัน G2P ต่ำกว่าค่อนกรีตควบคุมทั้งที่อายุ 90 และ 360 วัน แม้ว่ามีความต้องการน้ำในส่วนผสมของค่อนกรีตสูงกว่าค่อนกรีตควบคุม แต่ค่อนกรีตดังกล่าวยังสามารถลดการแทรกซึ่งคลอไฮด์เข้าสู่ค่อนกรีตได้ และแนวโน้มของการแทรกซึ่งคลอไฮด์เข้าสู่ค่อนกรีตคล้ายกับค่อนกรีตที่ผสมถ้าปาล์มน้ำมัน OP และ G1P คือสามารถลดการแทรกซึ่งคลอไฮด์เข้าสู่ค่อนกรีตเมื่อเทียบกับค่อนกรีตควบคุมเมื่อมีอายุมากขึ้น และค่อนกรีตที่ผสมถ้าปาล์มน้ำมัน G2P มีอัตราการแทรกซึ่งคลอไฮด์เข้าสู่ค่อนกรีตต่ำกว่าค่อนกรีตที่ผสมถ้าปาล์มน้ำมัน OP และ G1P ในทุกอัตราการแทนที่



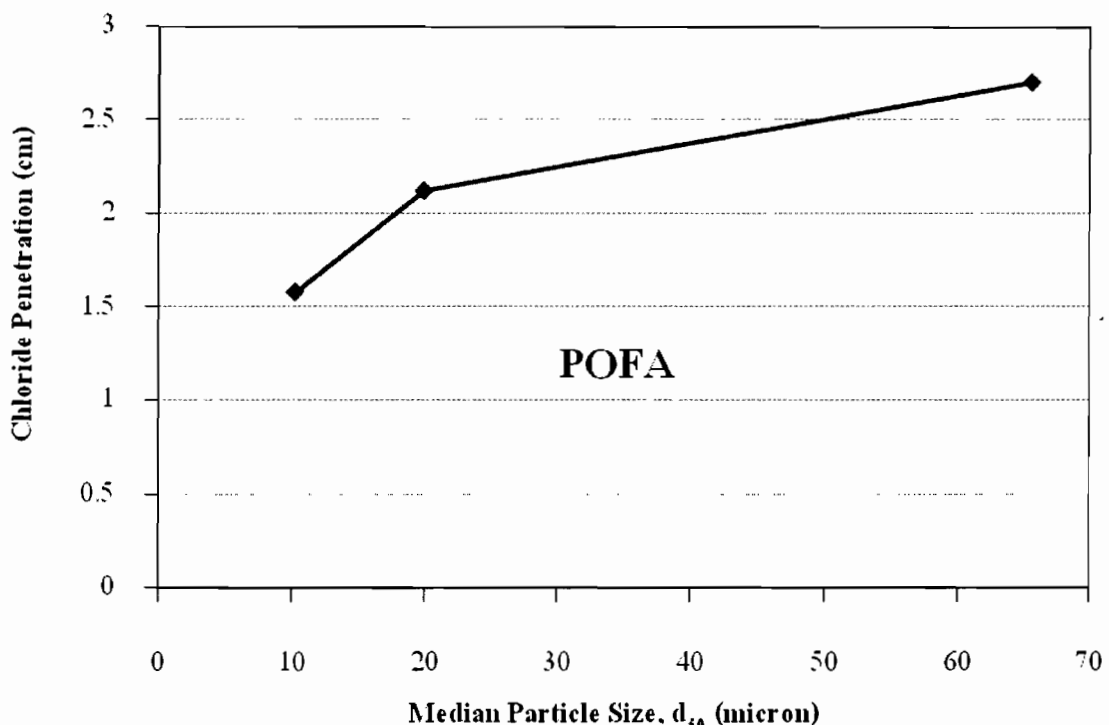
รูปที่ 4.21 ความสัมพันธ์ระหว่างค่าการแทรกซึมคลอไรด์เข้าสู่คอนกรีต และร้อยละการแทนที่ของถ่านปาล์มน้ำมันที่อายุ 90 วัน



รูปที่ 4.22 ความสัมพันธ์ระหว่างการแทรกซึมคลอไรด์เข้าสู่คอนกรีต และร้อยละการแทนที่ของถ่านปาล์มน้ำมันที่อายุ 360 วัน

ความสัมพันธ์ระหว่างขนาดอนุภาคและร้อยละของถ่านปาล์มน้ำมันและการแทรกซึมคลอไรด์เข้าสู่คอนกรีต คล้ายกับกรณีของถ่านแกลบ-เบล็อกไม้ ดังรูปที่ 4.23 กล่าวคือคอนกรีตที่แทนที่ปูนซีเมนต์ด้วยถ่านปาล์มน้ำมันขนาดเล็กลง พบว่ามีการแทรกซึมคลอไรด์เข้าสู่คอนกรีตต่ำลง เพราะอนุภาคถ่านปาล์มน้ำมันที่เล็กลงสามารถอุดตามช่องว่างในคอนกรีต เพิ่มความแน่นและทำให้คอนกรีตทึบนำมากขึ้น

อีกทั้งถ้าปัลมน้ำมันอนุภาคขนาดเล็กสามารถดักจับคลอร์ได้ที่กว่าถ้าปัลมน้ำมันอนุภาคขนาดใหญ่ แสดงว่าการทดสอบสามารถเพิ่มคุณภาพทั้งถ้าเกลน-เบล็อกไม้มีและถ้าปัลมน้ำมันได้เป็นอย่างดี ซึ่งตรงกับการศึกษาของ Chindaprasirt และคณะ (2007) ที่พบว่าการแทนที่ถ้าเกลน-เบล็อกไม้มีที่ผ่านการบดโดยมีร้อยละค้างแรงเบอร์ 325 ร้อยละ 5 และแทนที่ปูนซีเมนต์อัตราร้อยละ 40 มีอัตราการซึมของน้ำผ่านคอนกรีตต่ำ



รูปที่ 4.23 ความสัมพันธ์ระหว่างขนาดอนุภาคเฉลี่ยและการแทรกซึมคลอร์เข้าสู่คอนกรีตที่แทนที่ปูนซีเมนต์ด้วยถ้าปัลมน้ำมันในอัตราร้อยละ 20 ที่ อายุ 360 วัน

4.6 การเปรียบเทียบถ้าเกลน-เบล็อกไม้มีและถ้าปัลมน้ำมัน

ตารางที่ 4.5 แสดงการเปรียบเทียบคอนกรีตที่แทนที่ปูนซีเมนต์ด้วยถ้าเกลน-เบล็อกไม้มีและถ้าปัลมน้ำมันในอัตราร้อยละ 40 พบร่วมที่อายุ 360 วัน กำลังอัดของคอนกรีตที่ผสมถ้าเกลนเบล็อกไม้มีสูงกว่าคอนกรีตที่ผสมถ้าปัลมน้ำมันโดยมีค่า 361 และ 330 กก./ซม.² ตามลำดับ หรือคิดเป็นร้อยละ 94 และ 89 ของคอนกรีตควบคุมตามลำดับ การนำถ้าหั้งสองมาตรฐานให้ลักษณะเดียวกันและแทนที่

ปูนซีเมนต์ในอัตราที่เท่ากัน พบว่าคอนกรีตผสมถ้าเกลน-เบลีอุกไม่ให้กำลังอัดสูงกว่าคอนกรีตผสมถ้าปาล์มน้ำมันประมาณร้อยละ 10

การแทรกซึมคลอไรด์เข้าสู่คอนกรีตที่ผสมถ้าเกลน-เบลีอุกไม่และถ้าปาล์มน้ำมันในอัตราร้อยละ 40 พบว่าที่อายุ 360 วัน การแทรกซึมคลอไรด์ของคอนกรีตที่ผสมถ้าเกลน-เบลีอุกไม่น้อยกว่าคอนกรีตที่ผสมถ้าปาล์มน้ำมันโดยมีค่า 0.92 และ 1.12 เซนติเมตร ตามลำดับ หรือคิดเป็นร้อยละ 21 และ 26 ของคอนกรีตควบคุม ตามลำดับ เห็นได้ว่านอกจากกำลังอัดแล้วคอนกรีตที่ผสมถ้าเกลน-เบลีอุกไม่ยังมีคุณภาพด้านการต้านทานการแทรกซึมคลอไรด์ดีกว่าคอนกรีตที่ผสมถ้าปาล์มน้ำมัน แต่ทั้งนี้ถ้าปาล์มน้ำมันบดละเอียดยังสามารถใช้แทนที่ปูนซีเมนต์โดยการแทนที่ปูนซีเมนต์ในอัตราร้อยละ 30 มีค่ากำลังอัดใกล้เคียงคอนกรีตควบคุมและต้านทานการแทรกซึมคลอไรด์ได้

ตารางที่ 4.5 การเปรียบเทียบกำลังอัดและการแทรกซึมคลอไรด์เข้าสู่คอนกรีตที่แทนที่ปูนซีเมนต์ด้วยถ้าเกลน-เบลีอุกไม่และถ้าปาล์มน้ำมันในอัตราร้อยละ 40 ที่อายุ 360 วัน

Ash	Compressive Strength (ksc) - (Normalized Strength to CT1, %)	Chloride Penetration (cm) - (Normalized Chloride Penetration to CT1, %)
RBHA (G2R)	361 (94)	0.92 (21)
POFA (G2P)	330 (86)	1.12 (26)

บทที่ 5 สรุปผลการทดสอบและข้อเสนอแนะ

5.1 สรุปผลการวิจัย

จากผลการทดสอบที่ได้ทำการศึกษาทั้งหมดสามารถสรุปผลได้ดังนี้

5.1.1 ค่อนกรีตที่ใช้ถ้าแกลบ-เปลือกไม้และถ้าปาล์มน้ำมันที่นำมาจากแหล่งผลิตโดยตรง (OR และ OP) แทนที่ปูนซีเมนต์ปอร์ตแลนด์ประเภทที่ 1 ในอัตราร้อยละ 10 และ 20 พบร่วงหลังอัดต่ำกว่า ค่อนกรีตควบคุม และมีแนวโน้มต่ำลงมากเมื่อการแทนที่เพิ่มมากขึ้น ค่อนกรีต OR และ OP ยังมีการแทรกซึมคลอไรด์เข้าสู่ค่อนกรีตสูงกว่าค่อนกรีตควบคุมที่อายุ 90 วัน ถึงแม้ว่าที่อายุ 360 วัน ค่อนกรีตสามารถด้านทานการแทรกซึมคลอไรด์เข้าสู่ค่อนกรีตได้ดีกว่าค่อนกรีตควบคุม แต่ทางด้านกำลังอัดยังถือว่ามีค่าต่ำกว่ามาก ดังนั้นถ้าแกลบ-เปลือกไม้และถ้าปาล์มน้ำมันที่นำมาจากแหล่งผลิตโดยตรงจึงไม่เหมาะสมที่จะนำมาใช้เป็นวัสดุป้องโ Zhoulan ในงานค่อนกรีต

5.1.2 การปรับปรุงขนาดอนุภาคของถ้าแกลบ-เปลือกไม้และถ้าปาล์มน้ำมันให้มีขนาดเล็กลง เมื่อ นำมาแทนที่ปูนซีเมนต์ในค่อนกรีตส่งผลให้กำลังอัดสูงกว่าและการแทรกซึมคลอไรด์เข้าสู่ค่อนกรีต ต่ำกว่าค่อนกรีตที่ผสมถ้าแกลบ-เปลือกไม้และถ้าปาล์มน้ำมันที่นำมาจากแหล่งผลิตโดยตรง

5.1.3 การเพิ่มปริมาณการแทนที่ของถ้าแกลบ-เปลือกไม้และถ้าปาล์มน้ำมันส่งผลให้กำลังอัดมีค่า ต่ำลงที่อายุดัน แต่สามารถพัฒนาให้สูงขึ้นได้เมื่ออายุมากขึ้น และเมื่อเพิ่มปริมาณการแทนที่ ปูนซีเมนต์ด้วยถ้าแกลบ-เปลือกไม้ หรือถ้าปาล์มน้ำมัน ส่งผลให้ค่อนกรีตสามารถด้านทานการแทรกซึมคลอไรด์ได้ดีขึ้น

5.1.4 เมื่อพิจารณาถึงคุณสมบัติด้านกำลังอัด และการแทรกซึมคลอไรด์เข้าสู่ค่อนกรีต พบร่วงถ้าแกลบ-เปลือกไม้สามารถแทนที่ปูนซีเมนต์ในค่อนกรีตได้มากกว่าถ้าปาล์มน้ำมัน โดยถ้าแกลบ-เปลือกไม้ที่มีความละเอียดปานกลาง (G1R) แทนที่ปูนซีเมนต์ได้ในอัตราร้อยละ 10 และถ้าแกลบ-เปลือกไม้ที่มีความละเอียดมาก (G2R) แทนที่ได้ถึงร้อยละ 40 ส่วนถ้าปาล์มน้ำมันที่มีความละเอียดมาก (G2P) สามารถแทนที่ปูนซีเมนต์ได้ถึงร้อยละ 30 โดยไม่ทำให้คุณสมบัติทางด้านกำลังอัดต่ำกว่า ค่อนกรีตควบคุม และยังเพิ่มความด้านทานการแทรกซึมคลอไรด์เข้าสู่ค่อนกรีตให้ดีขึ้น

5.2 ข้อเสนอแนะ

5.2.1 จากผลการวิจัยในครั้งนี้แสดงให้เห็นได้ว่าความละเอียดที่สูงขึ้นของถ้าเกลน-เปลือกไม้และถ้าปัล์มน้ำมันสามารถทำให้กำลังอัดของคอนกรีตเพิ่มขึ้นและสามารถลดการแทรกซึมคลอร์ไรด์เข้าสู่คอนกรีตได้ดังนั้นหากสามารถพัฒนาให้ถ้าเกลน-เปลือกไม้และถ้าปัล์มน้ำมันมีความละเอียดสูงจะสามารถใช้ในส่วนผสมของคอนกรีตกำลังสูงหรือใช้แทนที่ปูนซีเมนต์ในปริมาณมากๆ ซึ่งเป็นการนำถ้าเกลน-เปลือกไม้และถ้าปัล์มน้ำมันมาใช้ประโยชน์มากขึ้นด้วย

5.2.2 การใช้คอนกรีตในสภาวะเสี่ยงต่อสารละลายคลอร์ไรด์ควรพิจารณาคุณสมบัติอื่นเพิ่มเติม นอกจากกำลังอัด โดยเฉพาะการใช้วัสดุป้องโชลนแทนที่ปูนซีเมนต์บางส่วน เพราะการต้านทานการแทรกซึมคลอร์ไรด์ในคอนกรีตไม่ได้ขึ้นอยู่กับกำลังอัดเพียงอย่างเดียว แต่ยังขึ้นอยู่กับชนิดของถ้าความละเอียด และร้อยละการแทนที่ปูนซีเมนต์ต้องนำมาพิจารณาร่วมเมื่อต้องใช้คอนกรีตในสภาวะเสี่ยงต่อสารละลายคลอร์ไรด์

เอกสารอ้างอิง

จคุพล ตั้งปภาศิต, แสวง ทรงหมู่, ชัย จาตุรพิทักษ์กุล และ ไกรวุฒิ เกียรติโภมล, 2548, “การศึกษาค่าดัชนีกำลังของมอร์ตัาร์ที่เกิดจากปฏิกิริยาไฮเครชัน การอัดตัวของอนุภาค และปฏิกิริยาปอชโซลาน ของถ่านแกลบ-เปลือกไม้ และถ่านปาล์มน้ำมัน”, วารสารวิจัยและพัฒนา นจช., ฉบับที่ 28 : หน้า 465-476.

จักพล กลั่นบั้นคง, ดนัย สินา และ ธนวัฒน์ โชคสว่างเนตร, 2543, การศึกษาศักยภาพของ เถ้าปาล์มน้ำมันเพื่อใช้เป็นวัสดุปอชโซลาน, วิทยานิพนธ์ปริญญาวิศวกรรมศาสตรบัณฑิต สาขาวิชาวิศวกรรมโยธา คณะวิศวกรรมศาสตร์ มหาวิทยาลัยเทคโนโลยีพระจอมเกล้าธนบุรี, หน้า 52-53.

ชัย จาตุรพิทักษ์กุล, จักรพันธุ์ วงศ์พา และสุรพันธุ์ สุคันปริย์, 2545, “การพัฒนาถ่านแกลบ-เปลือกไม้ เพื่อใช้ในงานคอนกรีต”, การประชุมวิชาการวิศวกรรมโยธาแห่งชาติ ครั้งที่ 8, ขอนแก่น, หน้า (MAT-163)-(MAT-172).

ณัฐพงษ์ mgrสช, 2547, การศึกษากำลังอัดและการขยายตัวของคอนกรีตที่ใช้ถ่านแกลบ-เปลือกไม้ แทนที่ปูนซีเมนต์ปอร์ตแลนด์บางส่วน, วิทยานิพนธ์ปริญญาวิศวกรรมศาสตรมหาบัณฑิต สาขาวิชาวิศวกรรมโยธา คณะวิศวกรรมศาสตร์ มหาวิทยาลัยเทคโนโลยีพระจอมเกล้าธนบุรี, หน้า 44-45.

ดิลก คุรัตนเวช, สาลาก หอนมูติพงศ์, ชัย จาตุรพิทักษ์กุลและปริญญา จินดาประเสริฐ, 2545. “ผลกระแทบทองถ่านถ่านหินที่มีต่อค่าการซึมผ่านน้ำในคอนกรีต”, การประชุมวิชาการวิศวกรรมโยธา แห่งชาติ ครั้งที่ 10, ชลบุรี, หน้า (MAT-55)-(MAT-60)

ธวัชชัย สาสกุล, 2550, กำลังอัด การแทรกซึมของคลอไรด์ และการกัดกร่อนของเหล็กในคอนกรีตที่ใช้ ถ่านถ่านหินแทนที่ปูนซีเมนต์ประเภทที่ 5 ที่แข็งในน้ำทะเล, วิทยานิพนธ์ปริญญาวิศวกรรมศาสตร มหาบัณฑิต สาขาวิชาวิศวกรรมโยธา คณะวิศวกรรมศาสตร์ มหาวิทยาลัยเทคโนโลยีพระจอมเกล้า ชลบุรี, หน้า 38-64.

ประกาศ ท้องประไฟ, 2541, ผลกระทบของสารละอุยแมกนีเซียมชั้ลเฟตต่อกำลังอัดและการขยายตัวของวัสดุซีเมนต์ซึ่งแทนที่ด้วยถ่านหินจากแม่น้ำ, วิทยานิพนธ์ปริญญาวิศวกรรมศาสตรมหาบัณฑิต, สาขาวิชาวิศวกรรมโยธา คณะวิศวกรรมศาสตร์ สถาบันเทคโนโลยีพระจอมเกล้าชาน្តรี, หน้า 95-96.

ปริญญา จินดาประเสริฐ และอุตุฤทธิ์ ไช่คี, 2548, “กำลังรับแรงและความสามารถในการต้านทานการซึมผ่านของคลอไรด์ของคอนกรีตผสมถ่านหินและถ่านแกลูบ”, การประชุมวิชาการวิศวกรรมโยธาแห่งชาติ ครั้งที่ 10, 2-4 พฤษภาคม, ชลบุรี, หน้า MAT 49-54.

ปริญญา จินดาประเสริฐ และชัย ชาตรุพิทักษ์กุล, 2551, ปูนซีเมนต์ ปอชโซล่า และคอนกรีต, พิมพ์ครั้งที่ 5, สมาคมคอนกรีตไทย, หน้า 331-342.

วีระชาติ ตั้งจิรภัทร, 2546, การศึกษากำลังอัดของมอร์ตาร์ที่ผสมถ่านป่าลំน้ำมันและการขยายตัวของแท่งมอร์ตาร์ที่ผสมถ่านป่าลំน้ำมันและถ่านแกลูบ-เปลือกไม้, วิทยานิพนธ์ปริญญาวิศวกรรมศาสตรมหาบัณฑิต สาขาวิชาวิศวกรรมโยธา คณะวิศวกรรมศาสตร์ มหาวิทยาลัยเทคโนโลยีพระจอมเกล้าชาน្តรี, หน้า 143-145.

วันชัย สะตะ, ชัย ชาตรุพิทักษ์กุล และไกรวุฒิ เกียรติโภนล, “การใช้ถ่านป่าลំน้ำมันและถ่านแกลูบ-เปลือกไม้ในการทำคอนกรีตกำลังสูง”, วิศวกรรมสาร ฉบับวิจัยและพัฒนา, ปีที่ 4, ฉบับที่ 2, พ.ศ. 2546, หน้า 27-32

สุรพันธ์ สุคันธปรีดี, ชринทร์ นนรักษ์ และ ชัย ชาตรุพิทักษ์กุล, 2545, “การใช้ถ่านแคลเซียมคาร์บอเนตและถ่านป่าลំน้ำมันในงานคอนกรีต”, การประชุมใหญ่ทางวิศวกรรมประจำปี 2545, 20-23 มิถุนายน, กรุงเทพฯ, หน้า 191-199

สมิตร ลังพิริยะกิจ และ ชัย ชาตรุพิทักษ์กุล, 2538, “การศึกษาการบดถ่านหินจากแม่น้ำเพื่อใช้เป็นวัสดุปอชโซล่าในการเพิ่มกำลังคอนกรีต”, วารสารวิจัยและพัฒนา สจด., ปีที่ 18, ฉบับที่ 2, หน้า 51-76

เออนก ศิริพานิชกร, 2536, “การพัฒนาคอนกรีตผสมถ่านหินแม่น้ำที่สถาบันเทคโนโลยีพระจอมเกล้าชาน្តรี”, เอกสารประกอบการสัมมนาทางวิชาการ เรื่องศักยภาพการนำถ่านหิน

ดิกรในศึกษาใช้ประโยชน์, สำนักงานวิจัยและพัฒนา การไฟฟ้าฝ่ายผลิตแห่งประเทศไทย 27-28 เมษายน,
หน้า (8-1) - (8-18)

Abrams, D.A., 1918, "Design of Concrete Mixtures", **Structure Materials Research Laboratory**, Bulletin 1, Levis Institute, Chicago, pp. 1-20.

Al-Hussaini, M.J., et al., 1990, "The Effect of Chloride Ion Source on the Free Chloride Ion Percentages of OPC Mortars", **Cement and Concrete Research**, Vol. 20, No. 5, pp. 739-745.

American Society for Testing and Materials, 2009, "ASTM C 150/C 150M : Standard Specification for Portland Cement", In **1997 Annual Book of ASTM Standards**, Vol. 04.01, Philadelphia, ASTM, pp. 149-155.

American Society for Testing and Materials, 2009, "ASTM C 188 : Standard Test Method for Density of Hydraulic Cement", In **Annual Book of ASTM Standards**, Vol. 04.01, Philadelphia, ASTM, pp. 179-180.

American Society for Testing and Materials, 2008, "ASTM C 618 : Standard Specification for Coal Fly Ash and Raw or Calcined Natural Pozzolan for Use as a Mineral Admixture in Concrete", In **Annual Book of ASTM Standards**, Vol. 04.02, Philadelphia, ASTM : pp. 310-313.

Bai, J., Wild, S. and Sabir, B.B., 2003 "Chloride Ingress and Strength Loss in Concrete with Difference PC-PFA-MK Binder Compositions Exposed to Synthetic Seawater", **Cement and Concrete Research**, Vol. 33, No. 3, pp. 353-362.

Berg, W.V. and Kukko, H., 1991, "Fresh Mortar and Concrete with Fly Ash. In : Wesche, K. (Ed.)", **Fly Ash in Concrete Properties and Performance, RILEM Report**, Vol. 7, pp. 39-41.

Chindaprasirt, P., Chotithanorm, C., Cao, H.T. and Sirivivatnanon, V., 2007, "Influence of Fly Ash Fineness on the Chloride Penetration of Concrete", **Construction and Building Materials**, Vol. 21, No. 2, pp. 356-361.

Chindaprasirt, P., Rokzon, S. and Sirivivatnanon. V., 2008, "Resistance to Chloride Penetration of Blended Portland Cement Motar Containing Palm Oil Fuel Ash, Rice Husk Ash and Fly Ash", **Construction and Building Material**, Vol. 22, No. 5, pp. 932-938.

Chindaprasirt, P., Jaturapitakkul, C. and Sinsiri, T., 2005, "Effect of Fly Ash Fineness on Compressive Strength and Pore Size of Blended Cement Paste", **Cement and Concrete Composites**, Vol. 27, pp. 425-428.

Dhir, R.K., El-Mohr, M.A.K. and Dyer T.D., 1997, "Developing Chloride Resisting Concrete Using PFA", **Cement and Concrete Research**, Vol. 27, No. 11, pp. 1633-1639.

Hussin, M.W. and Awal, A.S.M.A., 1996, "Influence of Palm Oil Fuel Ash on Strength and Durability of Concrete", **Proceedings of the 7th International Conference on the Durability of Building Materials and Components**, 19-23 May, Stockholm, Sweden, Vol. 1, pp. 291-298.

Hussin, M.W. and Awal, A.S.M.A., 1996, "Palm Oil Fuel Ash-A Potential Pozzolanic Material in Concrete Construction", **Proceedings of the International Conference on Urban Engineering in Asian Cities in the 21st Century**, 20-23 November 1996, Bangkok, Thailand, pp. D361-D366.

Ikpong, A.A., 1993, "The Relationship between the Strength Characteristics of Medium Workability Ordinary Portland Cement-Rice Husk Ash Concrete", **Building and Environment**, Vol. 27, pp. 105-111.

Isaia, G.C., Gastaldini, A.L.G. and Moraes, R., 2003, "ASTM C 188 : Standard Test Method for Density of Hydraulic Cement", In **2001 Annual Book of ASTM Standards**, Vol. 04.01, Philadelphia, ASTM, pp.179-180.

Ishida, T., Hussin, M.W. and Awal, A.S.M.A., 1999, "A Study on Shrinkage of Concrete Containing Palm Oil Fuel Ash", **Proceedings of the Seventh East Asia-Pacific Conference on Structural Engineering & Construction**, Vol. 2, 27-29 August 1999, Kochi, Japan, pp. 1378-1383.

Ismail, M.S. and Waliuddin, A.M., 1996, "Effect of Rice Husk Ash on High Strength Concrete", **Construction and Building Materials**, Vol. 10, pp. 521-526.

Jaturapitakkul, C. and Roongreung, B., 2003, "Cementing Material from Calcium Carbide Residue-Rice Husk Ash", **Journal of Materials in Civil Engineering**, ASCE, Vol. 15, pp. 470-475.

Jaturapitakkul, C. and Cheerarot, R., 2003, "Development of Bottom Ash as Pozzolanic Material", **Journal of Materials in Civil Engineering**, ASCE, Vol. 15, pp. 48-54.

Jaturapitakkul, C., Kiattikomol, K., Tangchirapat, W. and Saeting, T., 2007, "Evaluation of the sulfate resistance of concrete containing palm oil fuel ash", **Construction and Building Materials**, Vol. 21, pp. 1399-1405.

Lea, F.M., 1970, **The Chemistry of Cement and Concrete**, Edward Arnold Publishers, pp. 361, 414-423.

Makaratat, N., Tangchirapat, W., Jaturapitakkul, C., Kraiwood, K., and Siripanichgorn A., 2004. Utilization of Rice Husk-Bark Ash as a Cement Replacement. **Proceedings of the First International Conference of the Asian Concrete Federation**, Thailand, Chiang Mai : pp.650-659.

Neville, A.M., 1995, **Properties of Concrete**, 4th ed., Prentice Hall, London, pp. 269-317.

Paya, J., Monzo, J., Borrachero, M.V., and Mora, P.E., 1997, "Mechanical Treatments of Fly Ashes Part I: Physico-Chemical Characterization of Ground Fly Ashes", **Cement and Concrete Research**, Vol. 25, pp. 1365-1377.

Shiqun, L. and Della, M.R., 1986, "Investigation of Relations between Porosity, Pore Structure, and Cl⁻ Diffusion of Fly Ash and Blended Cement Pastes", **Cement and Concrete Research**, Vol. 16, pp. 749-759.

Tangchirapat, W., Saeting, T., Jaturapitakkul, C., Kiattikomol, K. and Siripanichgorn, A., 2007, "Use of waste ash from palm oil industry in concrete", **Waste Management**, Vol.27, pp.81-88.

Tay, J.H., 1990, "Ash from Oil-Palm Waste as Concrete Material", **Journal of Materials in Civil Engineering, ASCE**, Vol. 2, pp. 94-105.

Tay, J.H. and Show, K.Y., 1995, "Use of Ash Derived from Oil-Palm Waste Incineration as a Cement Replacement Material", **Resources, Conservation and Recycling**, Vol. 13, pp. 27-36.

Tomas, M.D.A. and Matthews, J.D., 2004, "Performance of PFA Concrete in a Marine Environment – 10-year Results", **Cement and Concrete Composites**, Vol. 26, No. 1, pp. 5-20.

Zhang, M.H., Lastra, R. and Malhotra, V.M., 1996, "Rice-Husk Ash Paste and Concrete: Some Aspects of Hydration and the Microstructure of the Interfacial Zone between the Aggregate and Paste", **Cement and Concrete Research**, Vol. 26, pp. 963-977.

ภาคผนวก ก.

ผลการทดสอบกำลังอัคคีอนกรีต

ตารางที่ ก.1 ผลการทดสอบกำลังอัดของคอนกรีต CT1

Specimen : CT1 Date of Casting : 12/9/2006 W / B = 0.7 Slump = 7.0 cm.

Age (days)	Test Date	No.	Weight (kg)	Dimension (cm)		Area (cm ²)	Load (kg)	Stress (ksc)	Average (ksc)
				Diameter	Height				
7	21/9/2006	1	3.80	9.95	20.10	77.72	15454	198.84	205
		2	3.75	9.89	19.90	76.78	16983	221.18	
		3	3.74	9.93	19.90	77.40	15158	195.83	
28	10/10/2006	1	3.90	9.98	20.04	78.19	23038	294.65	299
		2	3.78	9.93	20.06	77.40	22426	289.72	
		3	3.78	9.95	20.09	77.72	24220	311.65	
90	11/12/2006	1	3.81	9.97	19.93	78.03	23609	302.56	339
		2	3.79	9.99	20.10	78.34	25423	324.51	
		3	3.82	9.99	20.00	78.34	27676	353.26	
360	12/9/2007	1	3.75	10.00	20.00	78.50	30143	383.98	384
		2	3.76	9.97	20.15	78.03	30306	388.39	
		3	3.76	9.97	20.00	78.03	29766	379.18	

ตารางที่ ก.2 ผลการทดสอบกำลังอัดของคอนกรีต CT5

Specimen : CT5 Date of Casting : 11/9/2006 W / B = 0.7 Slump = 6.0 cm.

Age (days)	Test Date	No.	Weight (kg)	Dimension (cm)		Area (cm ²)	Load (kg)	Stress (ksc)	Average (ksc)
				Diameter	Height				
7	20/9/2006	1	3.71	9.99	20.01	78.34	15331	195.69	192
		2	3.75	10.05	20.05	79.29	15291	192.85	
		3	3.80	10.13	20.06	80.55	15025	186.53	
28	9/10/2006	1	3.73	10.01	20.04	78.66	22457	285.50	285
		2	3.81	10.07	20.18	79.60	23089	290.05	
		3	3.81	10.05	20.15	79.29	22171	279.63	
90	10/12/2006	1	3.83	10.17	20.13	81.19	28084	345.89	348
		2	3.77	10.09	20.20	79.92	27961	349.87	
		3	3.75	10.07	19.96	79.60	27757	348.70	
360	11/9/2007	1	3.74	9.98	20.04	78.19	32161	411.34	414
		2	3.72	9.96	20.18	77.87	34526	443.36	
		3	3.71	9.97	20.15	78.03	30275	388.00	

ตารางที่ ก.3 ผลการทดสอบกำลังอัดของคอนกรีต OR10

Specimen : OR10 Date of Casting : 20/9/2006 W / B = 0.75 Slump = 8.0 cm.
--

Age (days)	Test Date	No.	Weight (kg)	Dimension (cm)		Area (cm ²)	Load (kg)	Stress (ksc)	Average (ksc)
				Diameter	Height				
7	27/9/2006	1	3.71	10.10	19.98	80.08	14241	177.83	170
		2	3.80	10.10	19.95	80.08	13476	168.29	
		3	3.65	10.12	20.00	80.40	13129	163.31	
28	18/10/2006	1	3.72	9.98	20.00	78.19	17880	228.68	235
		2	3.74	9.97	20.00	78.03	18298	234.50	
		3	3.80	9.98	22.00	78.19	18909	241.85	
90	19/12/2006	1	3.75	10.00	19.95	78.50	21111	268.93	278
		2	3.77	10.04	20.00	79.13	22426	283.41	
		3	3.76	10.01	19.95	78.66	22202	282.26	
360	20/9/2007	1	3.85	10.02	20.30	78.81	27594	350.12	358
		2	3.75	10.00	20.10	78.50	28002	356.71	
		3	3.75	10.00	20.10	78.50	28828	367.23	

ตารางที่ ก.4 ผลการทดสอบกำลังอัดของคอนกรีต OR20

Specimen : OR20 Date of Casting : 20/9/2006 W / B = 0.81 Slump = 7.5 cm.

Age (days)	Test Date	No.	Weight (kg)	Dimension (cm)		Area (cm ²)	Load (kg)	Stress (ksc)	Average (ksc)
				Diameter	Height				
7	27/9/2006	1	3.68	9.96	19.99	77.87	9735	125.01	126
		2	3.68	9.99	19.99	78.34	9501	121.27	
		3	3.69	10.00	19.97	78.50	10449	133.10	
28	18/10/2006	1	3.70	10.09	19.00	79.92	15586	195.02	197
		2	3.69	9.92	21.50	77.25	15138	195.96	
		3	3.67	9.99	10.00	78.34	15637	199.60	
90	19/12/2006	1	3.86	10.23	19.85	82.15	20061	243.82	245
		2	3.69	10.00	19.85	78.50	19562	249.19	
		3	3.72	10.03	20.00	78.97	19093	241.77	
360	20/9/2007	1	3.75	10.08	20.20	79.76	23119	289.86	299
		2	3.68	9.97	20.00	78.03	22824	292.50	
		3	3.76	10.08	20.20	79.76	25036	313.88	

ตารางที่ ก.5 ผลการทดสอบกำลังอัดของคอนกรีต G1R10

Specimen : G1R10 Date of Casting : 30/9/2006 W / B = 0.74 Slump = 8.0 cm.

Age (days)	Test Date	No.	Weight (kg)	Dimension (cm)		Area (cm ²)	Load (kg)	Stress (ksc)	Average (ksc)
				Diameter	Height				
7	6/10/2006	1	3.80	10.02	20.50	78.81	14760	187.28	189
		2	3.80	10.00	21.00	78.50	13028	165.96	
		3	3.80	9.98	20.00	78.19	14944	191.13	
28	27/10/2006	1	3.81	10.02	21.00	78.81	19541	247.94	265
		2	3.73	10.00	19.50	78.50	22192	282.70	
90	28/12/2006	1	3.78	10.03	20.15	78.97	25240	319.60	327
		2	3.89	10.03	20.20	78.97	27380	346.71	
		3	3.76	10.09	20.05	79.92	26758	334.82	
360	30/9/2007	1	3.80	10.08	20.00	79.76	31651	396.83	405
		2	3.81	10.02	20.10	78.81	31927	405.09	
		3	3.78	10.01	20.10	78.66	32457	412.64	

ตารางที่ ก.6 ผลการทดสอบกำลังอัดของคอนกรีต G1R20

Specimen : G1R20 Date of Casting : 30/9/2006 W / B = 0.74 Slump = 7.5 cm.

Age (days)	Test Date	No.	Weight (kg)	Dimension (cm)		Area (cm ²)	Load (kg)	Stress (ksc)	Average (ksc)
				Diameter	Height				
7	6/10/2006	1	3.80	10.03	20.05	78.97	14536	184.07	179
		2	3.80	10.00	21.00	78.50	14067	179.20	
		3	3.70	10.05	20.00	79.29	13670	172.41	
28	27/10/2006	1	3.76	10.04	20.00	79.13	20734	262.03	271
		2	3.75	10.03	19.90	78.97	22080	279.59	
90	28/12/2006	1	3.76	10.05	20.02	79.29	25331	319.49	319
		2	3.76	9.98	20.00	78.19	25331	323.99	
		3	3.74	9.93	20.00	77.40	24190	312.51	
360	30/9/2007	1	3.76	9.97	19.90	78.03	29582	379.11	362
		2	3.79	10.15	20.10	80.87	27737	342.97	
		3	3.79	10.00	20.10	78.50	28552	363.73	

ตารางที่ ก.7 ผลการทดสอบกำลังอัดของคอนกรีต G1R30

Specimen : G1R30 Date of Casting : 24/9/2006 W / B = 0.75 Slump = 7.0 cm.

Age (days)	Test Date	No.	Weight (kg)	Dimension (cm)		Area (cm ²)	Load (kg)	Stress (ksc)	Average (ksc)
				Diameter	Height				
7	1/10/2006	1	3.72	9.92	20.00	77.25	11019	142.65	147
		2	3.68	9.99	20.00	78.34	11060	141.18	
		3	3.69	9.99	19.90	78.34	12385	158.09	
28	22/10/2006	1	3.62	9.95	19.90	77.72	18675	240.29	243
		2	3.75	10.03	21.00	78.97	19123	242.15	
		3	3.69	10.00	20.00	78.50	19327	246.21	
90	19/12/2006	1	3.75	10.08	20.15	79.76	22997	288.32	279
		2	3.67	9.98	20.00	78.19	22834	292.04	
		3	3.76	10.10	20.20	80.08	20540	256.50	
360	24/9/2007	1	3.71	10.00	19.90	78.50	25076	319.45	323
		2	3.72	10.00	20.00	78.50	26096	332.43	
		3	3.81	10.07	20.20	79.60	25138	315.79	

ตารางที่ ก.8 ผลการทดสอบกำลังอัดของคอนกรีต G1R40

Specimen : G1R40 Date of Casting : 24/9/2006 W / B = 0.77 Slump = 6.5 cm.

Age (days)	Test Date	No.	Weight (kg)	Dimension (cm)		Area (cm ²)	Load (kg)	Stress (ksc)	Average (ksc)
				Diameter	Height				
7	1/10/2006	1	3.71	10.06	20.10	79.44	8410	105.86	129
		2	3.74	10.09	20.19	79.92	10663	133.42	
		3	3.71	10.07	20.16	79.60	9867	123.96	
28	22/10/2006	1	3.72	10.04	21.00	79.13	17166	216.94	206
		2	3.79	10.07	23.00	79.60	15912	199.90	
		3	3.71	9.96	21.00	77.87	16575	212.84	
90	19/12/2006	1	3.72	10.12	20.10	80.40	21376	265.89	265
		2	3.66	10.10	19.95	80.08	21050	262.87	
		3	3.66	10.00	19.95	78.50	20979	267.24	
360	24/9/2007	1	3.66	9.97	19.90	78.03	21560	276.30	288
		2	3.71	9.97	20.00	78.03	23078	295.77	
		3	3.71	10.02	20.20	78.81	23119	293.34	

ตารางที่ ก.9 ผลการทดสอบกำลังอัดของคอนกรีต G2R10

Specimen : G2R10 Date of Casting : 6/10/2006 W / B = 0.69 Slump = 6.5 cm.

Age (days)	Test Date	No.	Weight (kg)	Dimension (cm)		Area (cm ²)	Load (kg)	Stress (ksc)	Average (ksc)
				Diameter	Height				
7	14/10/2006	1	3.81	9.92	21.00	77.25	19113	247.42	241
		2	3.77	9.98	20.50	78.19	18838	240.94	
		3	3.78	10.01	19.90	78.66	18491	235.09	
28	4/11/2006	1	3.81	10.01	19.80	78.66	28420	361.31	345
		2	3.77	9.98	20.00	78.19	25872	330.90	
		3	3.77	9.99	19.90	78.34	26860	342.86	
90	5/1/2007	1	3.75	9.93	20.10	77.40	30122	389.15	392
		2	3.81	9.91	20.25	77.09	30183	391.52	
		3	3.79	9.90	19.95	76.94	30408	395.22	
360	6/10/2007	1	3.78	9.95	19.90	77.72	36045	463.80	422
		2	3.73	10.01	19.80	78.66	31947	406.16	
		3	3.83	10.16	20.00	81.03	32130	396.52	

ตารางที่ ก.10 ผลการทดสอบกำลังอัดของคอนกรีต G2R20

Specimen : G2R20 Date of Casting : 6/10/2006 W / B = 0.71 Slump = 7.5 cm.

Age (days)	Test Date	No.	Weight (kg)	Dimension (cm)		Area (cm ²)	Load (kg)	Stress (ksc)	Average (ksc)
				Diameter	Height				
7	14/10/2006	1	3.76	10.03	20.00	78.97	16463	208.46	214
		2	3.74	9.98	20.00	78.19	16820	215.12	
		3	3.81	10.09	20.50	79.92	17482	218.75	
28	4/11/2006	1	3.79	10.00	20.05	78.50	24781	315.68	309
		2	3.83	10.05	20.00	79.29	24322	306.76	
		3	3.74	10.00	19.90	78.50	23802	303.21	
90	5/1/2007	1	3.75	10.10	19.90	80.08	28318	353.63	361
		2	3.87	10.05	20.00	79.29	28716	362.17	
		3	3.93	10.08	19.90	79.76	29246	366.67	
360	6/10/2007	1	3.76	10.02	20.00	78.81	31182	395.64	410
		2	3.78	10.08	20.20	79.76	32977	413.44	
		3	3.79	10.00	20.10	78.50	33119	421.90	

ตารางที่ ก.11 ผลการทดสอบกำลังอัดของคอนกรีต G2R30

Specimen : G2R30 Date of Casting : 3/10/2006 W / B = 0.71 Slump = 6.0 cm.

Age (days)	Test Date	No.	Weight (kg)	Dimension (cm)		Area (cm ²)	Load (kg)	Stress (ksc)	Average (ksc)
				Diameter	Height				
7	10/10/2006	1	3.71	10.00	19.90	78.50	14709	187.38	183
		2	3.72	10.00	20.30	78.50	14587	185.82	
		3	3.70	10.00	20.20	78.50	13721	174.79	
28	31/10/2006	1	3.78	10.01	20.00	78.66	23874	303.51	294
		2	3.72	10.04	20.00	79.13	22518	284.57	
		3	3.70	10.02	19.90	78.81	15770	200.09	
90	30/12/2006	1	3.74	10.00	20.00	78.50	26157	333.21	334
		2	3.69	9.99	20.00	78.34	26096	333.10	
		3	3.72	9.97	20.10	78.03	26198	335.74	
360	3/10/2007	1	3.74	10.17	20.10	81.19	29674	365.48	377
		2	3.71	10.01	20.10	78.66	30938	393.33	
		3	3.68	10.01	20.00	78.66	29358	373.24	

ตารางที่ ก.12 ผลการทดสอบกำลังอัดของคอนกรีต G2R40

Specimen : G2R40 Date of Casting : 3/10/2006 W / B = 0.72 Slump = 8.0 cm.

Age (days)	Test Date	No.	Weight (kg)	Dimension (cm)		Area (cm ²)	Load (kg)	Stress (ksc)	Average (ksc)
				Diameter	Height				
7	10/10/2006	1	3.71	10.02	20.00	78.81	13914	176.55	178
		2	3.70	10.03	20.10	78.97	14495	183.55	
		3	3.70	10.02	20.10	78.81	13629	172.92	
28	31/10/2006	1	3.72	10.04	20.00	79.13	22212	280.71	281
		2	3.82	10.15	20.00	80.87	22742	281.21	
		3	3.71	10.06	20.10	79.44	22375	281.64	
90	30/12/2006	1	3.73	10.06	20.20	79.44	26340	331.56	324
		2	3.78	10.11	20.30	80.24	25708	320.41	
		3	3.78	10.08	20.20	79.76	25617	321.17	
360	3/10/2007	1	3.73	10.10	20.00	80.08	27859	347.90	361
		2	3.72	10.04	20.20	79.13	29235	369.46	
		3	3.70	10.01	20.00	78.66	28665	364.43	

ตารางที่ ก.13 ผลการทดสอบกำลังอัดของคอนกรีต OP10

Specimen : OP10 Date of Casting : 12/10/2006 W / B = 0.72 Slump = 8.0 cm.

Age (days)	Test Date	No.	Weight (kg)	Dimension (cm)		Area (cm ²)	Load (kg)	Stress (ksc)	Average (ksc)
				Diameter	Height				
7	12/10/2006	1	3.80	10.03	21.00	78.97	12977	164.32	160
		2	3.76	10.07	21.50	79.60	12283	154.31	
		3	3.77	10.00	20.00	78.50	12712	161.93	
28	9/11/2006	1	3.74	10.05	20.00	79.29	18695	235.79	237
		2	3.79	10.02	20.10	78.81	19256	244.32	
		3	3.72	10.06	20.00	79.44	18359	231.09	
90	10/01/2007	1	3.77	10.08	19.90	79.76	21427	268.64	271
		2	3.73	9.97	20.00	78.03	21233	272.12	
		3	3.77	10.12	20.15	80.40	21978	273.37	
360	12/10/2007	1	3.85	10.10	20.10	80.08	29052	362.80	346
		2	3.85	10.09	20.40	79.92	27054	338.52	
		3	3.79	10.00	20.00	78.50	26330	335.42	

ตารางที่ ก.14 ผลการทดสอบกำลังอัดของคอนกรีต OP20

Specimen : OP20 Date of Casting : 12/10/2006 W / B = 0.77 Slump = 7.0 cm.

Age (days)	Test Date	No.	Weight (kg)	Dimension (cm)		Area (cm ²)	Load (kg)	Stress (ksc)	Average (ksc)
				Diameter	Height				
7	12/10/2006	1	3.67	10.08	19.90	79.76	11009	138.03	137
		2	3.72	10.00	20.10	78.50	10530	134.14	
		3	3.82	10.00	20.50	78.50	10928	139.21	
28	9/11/2006	1	3.65	10.08	20.00	79.76	15933	199.76	206
		2	3.80	10.05	20.10	79.29	16677	210.34	
		3	3.70	10.03	20.00	78.97	16483	208.72	
90	10/01/2007	1	3.70	10.00	20.00	78.50	18420	234.65	236
		2	3.74	10.00	20.15	78.50	19307	245.95	
		3	3.72	10.02	20.10	78.81	17859	226.60	
360	12/10/2007	1	3.73	10.02	20.20	78.81	24404	309.63	316
		2	3.71	9.97	20.00	78.03	25311	324.38	
		3	3.74	9.97	20.10	78.03	24546	314.58	

ตารางที่ ก.15 ผลการทดสอบกำลังอัดของคอนกรีต G1P10

Specimen : G1P10 Date of Casting : 20/10/2006	W / B = 0.72	Slump = 8.0 cm.
---	--------------	-----------------

Age (days)	Test Date	No.	Weight (kg)	Dimension (cm)		Area (cm ²)	Load (kg)	Stress (ksc)	Average (ksc)
				Diameter	Height				
7	27/10/2006	1	3.82	10.03	22.00	78.97	15382	194.78	192
		2	3.73	10.00	19.50	78.50	15341	195.43	
		3	3.64	10.00	20.00	78.50	14485	184.53	
28	17/11/2006	1	3.79	10.02	20.00	78.81	22630	287.13	280
		2	3.75	9.97	20.00	78.03	21814	279.57	
		3	3.75	9.98	20.20	78.19	21335	272.88	
90	18/01/2007	1	3.79	9.96	20.10	77.87	25454	326.86	331
		2	3.77	9.99	20.00	78.34	25841	329.84	
		3	3.85	10.05	20.15	79.29	26748	337.36	
360	20/10/2007	1	3.84	10.02	20.20	78.81	29480	374.05	375
		2	3.75	9.98	20.00	78.19	29052	371.57	
		3	3.76	9.97	20.00	78.03	29613	379.50	

ตารางที่ ก.16 ผลการทดสอบกำลังอัดของคอนกรีต G1P20

Specimen : G1P20 Date of Casting : 20/10/2006 W / B = 0.73 Slump = 9.0 cm.

Age (days)	Test Date	No.	Weight (kg)	Dimension (cm)		Area (cm ²)	Load (kg)	Stress (ksc)	Average (ksc)
				Diameter	Height				
7	27/10/2006	1	3.75	9.99	19.00	78.34	13761	175.66	175
		2	3.79	9.96	21.50	77.87	13700	175.93	
		3	3.76	10.01	23.00	78.66	13680	173.92	
28	17/11/2006	1	3.76	9.97	20.10	78.03	19766	253.31	249
		2	3.81	10.00	20.20	78.50	19327	246.21	
		3	3.80	10.00	20.20	78.50	19358	246.60	
90	18/01/2007	1	3.76	9.94	20.05	77.56	22426	289.14	294
		2	3.67	9.94	19.80	77.56	22742	293.22	
		3	3.78	10.00	20.10	78.50	23507	299.45	
360	20/10/2007	1	3.76	10.10	19.90	80.08	25790	322.06	335
		2	3.73	9.96	19.90	77.87	26086	334.98	
		3	3.80	10.06	20.00	79.44	27574	347.08	

ตารางที่ ก.17 ผลการทดสอบกำลังอัดของคอนกรีต G1P30

Specimen : G1P30 Date of Casting : 16/10/2006 W / B = 0.73 Slump = 8.0 cm.

Age (days)	Test Date	No.	Weight (kg)	Dimension (cm)		Area (cm ²)	Load (kg)	Stress (ksc)	Average (ksc)
				Diameter	Height				
7	23/10/2006	1	3.78	10.07	20.05	79.60	12528	157.38	160
		2	3.77	10.05	20.00	79.29	13068	164.82	
		3	3.72	10.01	19.90	78.66	12406	157.72	
28	13/11/2006	1	3.78	10.06	20.00	79.44	17584	221.34	227
		2	3.73	9.98	20.20	78.19	18012	230.38	
		3	3.78	10.08	19.90	79.76	18328	229.79	
90	14/01/2007	1	3.75	9.93	20.10	77.40	20887	269.84	269
		2	3.78	10.01	20.10	78.66	21621	274.87	
		3	3.75	10.00	20.10	78.50	20510	261.27	
360	16/10/2007	1	3.72	9.99	20.00	78.34	23374	298.36	310
		2	3.75	10.06	20.20	79.44	25209	317.31	
		3	3.70	10.00	20.00	78.50	24648	313.99	

ตารางที่ ก.18 ผลการทดสอบกำลังอัดของคอนกรีต G1P40

Specimen : G1P40 Date of Casting : 16/10/2006 W / B = 0.74 Slump = 9.5 cm.

Age (days)	Test Date	No.	Weight (kg)	Dimension (cm)		Area (cm ²)	Load (kg)	Stress (ksc)	Average (ksc)
				Diameter	Height				
7	23/10/2006	1	3.77	10.04	20.05	79.13	10683	135.01	138
		2	3.77	10.01	20.00	78.66	11070	140.74	
28	13/11/2006	1	3.78	10.05	20.10	79.29	17207	217.02	203
		2	3.74	10.09	20.10	79.92	14577	182.40	
		3	3.74	10.03	20.10	78.97	16555	209.63	
90	14/01/2007	1	3.73	9.98	20.20	78.19	19582	250.45	246
		2	3.81	10.08	20.25	79.76	19083	239.25	
		3	3.72	10.00	20.00	78.50	19419	247.38	
360	16/10/2007	1	3.67	10.00	20.00	78.50	20285	258.41	267
		2	3.73	10.02	20.10	78.81	21478	272.52	
		3	3.70	10.00	20.00	78.50	21264	270.88	

ตารางที่ ก.19 ผลการทดสอบกำลังอัดของคอนกรีต G2P10

Specimen : G2P10 Date of Casting : 28/10/2006 W / B = 0.68 Slump = 5.5 cm.

Age (days)	Test Date	No.	Weight (kg)	Dimension (cm)		Area (cm ²)	Load (kg)	Stress (ksc)	Average (ksc)
				Diameter	Height				
7	4/11/2006	1	3.82	10.14	19.90	80.71	16962	210.15	210
		2	3.78	10.04	19.90	79.13	16850	212.94	
		3	3.83	10.02	20.00	78.81	16361	207.59	
28	25/11/2006	1	3.74	9.97	21.00	78.03	23680	303.47	303
		2	3.77	9.97	19.90	78.03	23863	305.82	
		3	3.81	10.09	20.00	79.92	23976	300.00	
90	26/01/2007	1	3.96	10.19	20.00	81.51	28889	354.42	358
		2	3.61	9.97	20.00	78.03	27625	354.03	
		3	3.70	9.97	19.95	78.03	28532	365.66	
360	28/10/2007	1	3.87	10.12	20.00	80.40	30968	385.20	396
		2	3.77	10.06	20.10	79.44	30336	381.85	
		3	3.80	10.04	20.10	79.13	33231	419.96	

ตารางที่ ก.20 ผลการทดสอบกำลังอัดของคอนกรีต G2P20

Specimen : G2P20 Date of Casting : 28/10/2006 W / B = 0.7 Slump = 6.5 cm.

Age (days)	Test Date	No.	Weight (kg)	Dimension (cm)		Area (cm ²)	Load (kg)	Stress (ksc)	Average (ksc)
				Diameter	Height				
7	4/11/2006	1	3.75	10.00	19.80	78.50	12650	161.15	197
		2	3.77	10.01	20.00	78.66	15770	200.49	
		3	3.72	10.01	19.80	78.66	15158	192.71	
28	25/11/2006	1	3.84	10.08	20.10	79.76	23293	292.03	293
		2	3.75	9.97	19.90	78.03	23017	294.98	
		3	3.82	9.99	20.00	78.34	22875	291.98	
90	26/01/2007	1	3.80	9.95	20.20	77.72	27625	355.45	344
		2	3.79	10.02	20.05	78.81	26014	330.07	
		3	3.78	10.01	20.15	78.66	27370	347.97	
360	28/10/2007	1	3.74	9.98	20.00	78.19	31284	400.13	383
		2	3.80	10.00	20.10	78.50	29388	374.37	
		3	3.81	10.04	20.00	79.13	29643	374.62	

ตารางที่ ก.21 ผลการทดสอบกำลังอัดของคอนกรีต G2P30

Specimen : G2P30 Date of Casting : 24/10/2006 W / B = 0.71 Slump = 7.5 cm.

Age (days)	Test Date	No.	Weight (kg)	Dimension (cm)		Area (cm ²)	Load (kg)	Stress (ksc)	Average (ksc)
				Diameter	Height				
7	31/10/2006	1	3.70	10.07	19.90	79.60	14444	181.46	186
		2	3.74	10.06	19.90	79.44	15066	189.64	
		3	3.75	10.06	20.00	79.44	14903	187.59	
28	21/11/2006	1	3.75	9.95	20.10	77.72	21519	276.89	277
		2	3.75	10.00	20.00	78.50	22141	282.05	
		3	3.78	10.01	20.15	78.66	21427	272.41	
90	22/01/2007	1	3.77	10.00	20.00	78.50	25759	328.15	331
		2	3.74	9.99	19.95	78.34	26789	341.94	
		3	3.82	10.00	20.01	78.50	25372	323.21	
360	24/10/2007	1	3.73	10.00	20.10	78.50	28012	356.84	364
		2	3.75	10.02	20.00	78.81	27564	349.73	
		3	3.80	9.98	20.30	78.19	30112	385.13	

ตารางที่ ก.22 ผลการทดสอบกำลังอัดของคอนกรีต G2P40

Specimen : G2P40 Date of Casting : 24/10/2006 W / B = 0.72 Slump = 9.0 cm.

Age (days)	Test Date	No.	Weight (kg)	Dimension (cm)		Area (cm ²)	Load (kg)	Stress (ksc)	Average (ksc)
				Diameter	Height				
7	31/10/2006	1	3.75	10.06	19.90	79.44	13996	176.17	175
		2	3.77	10.06	20.00	79.44	13996	176.17	
		3	3.73	9.99	20.00	78.34	13537	172.79	
28	21/11/2006	1	3.76	10.10	19.95	80.08	21121	263.76	257
		2	3.75	10.15	20.00	80.87	20928	258.77	
		3	3.79	10.35	20.05	84.09	21009	249.84	
90	22/01/2007	1	3.83	10.07	20.03	79.60	24088	302.60	299
		2	3.76	10.06	20.00	79.44	23843	300.12	
		3	3.76	10.01	20.01	78.66	23150	294.31	
360	24/10/2007	1	3.76	10.05	19.90	79.29	26075	328.87	330
		2	3.69	10.02	19.80	78.81	25423	322.57	
		3	3.72	9.95	20.00	77.72	26208	337.22	

ภาคผนวก ข.

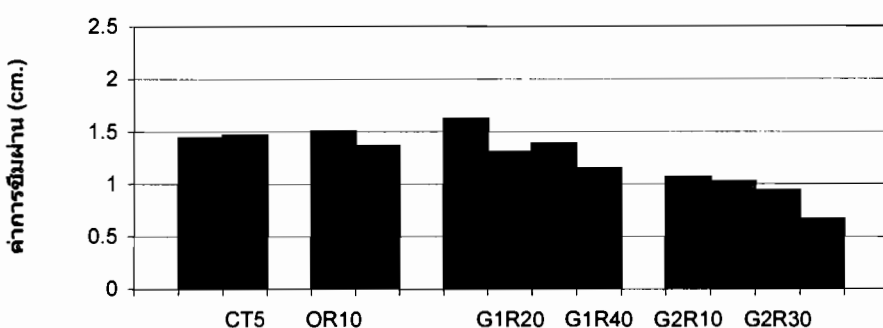
ผลการทดสอบการแทรกซึมคลอไรด์เข้าสู่คอนกรีต

ตารางที่ ข.1 ผลการทดสอบการแทรกซึมคลอไรด์เข้าสู่คอนกรีตที่อายุ 90 วัน

ของตัวอย่าง CT, OR, G1R และ G2R

Sample	Date	Depth of Chloride Penetration (cm)					Average (cm)
		1	2	3	4	5	
CT1	11/12/2006	1.70	1.50	1.20	1.20	1.60	1.44
CT5	10/12/2006	1.70	1.30	1.60	1.40	1.30	1.46
OR10	19/12/2006	1.30	1.40	1.40	1.70	1.70	1.50
OR20	19/12/2007	1.30	1.60	1.50	1.10	1.30	1.36
G1R10	28/12/2006	1.60	1.50	1.80	1.50	1.70	1.62
G1R20	28/12/2006	1.30	1.30	1.20	1.30	1.40	1.30
G1R30	19/12/2006	1.70	1.20	1.30	1.30	1.40	1.38
G1R40	19/12/2006	1.30	1.20	1.10	1.00	1.10	1.14
G2R10	5/1/2007	1.40	1.10	0.90	1.00	0.90	1.06
G2R20	5/1/2007	1.20	1.10	1.20	0.90	0.70	1.02
G2R30	30/12/2006	1.10	1.00	0.80	0.90	0.90	0.94
G2R40	30/12/2006	0.80	0.60	0.60	0.60	0.70	0.66

การแทรกซึมคลอไรด์ที่อายุ 90 วัน



รูปที่ ข.1 แสดงการเปรียบเทียบการแทรกซึมคลอไรด์เข้าสู่คอนกรีตที่อายุ 90 วัน

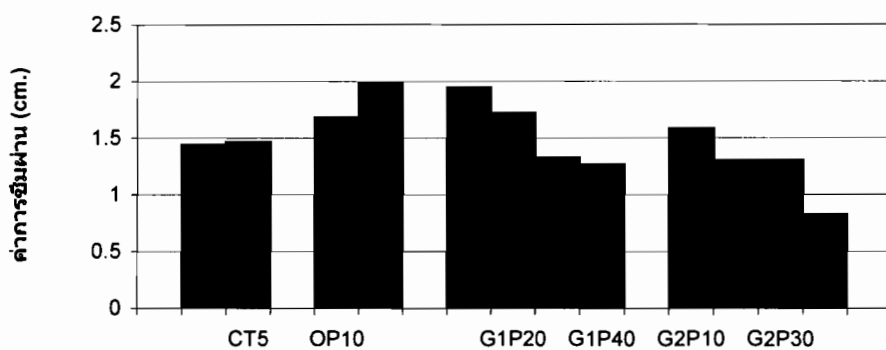
ของตัวอย่าง CT, OR, G1R และ G2R

ตารางที่ ข.2 ผลการทดสอบการแทรกซึมคลอไรด์เข้าสู่คอนกรีตที่อายุ 90 วัน

ของตัวอย่าง CT, OP, G1P และ G2P

Sample	Date	Depth of Chloride Penetration (cm)					Average (cm)
		1	2	3	4	5	
CT1	11/12/2007	1.70	1.50	1.20	1.20	1.60	1.44
CT5	10/12/2007	1.70	1.30	1.60	1.40	1.30	1.46
OP10	10/1/2007	1.90	1.70	1.60	1.70	1.50	1.68
OP20	10/1/2007	2.00	2.00	2.10	2.00	1.80	1.98
G1P10	18/1/2007	2.10	1.80	1.90	1.90	2.00	1.94
G1P20	18/1/2007	1.40	2.20	1.60	1.70	1.70	1.72
G1P30	14/1/2007	1.50	1.20	1.30	1.30	1.30	1.32
G1P40	14/1/2007	1.20	1.30	1.20	1.10	1.50	1.26
G2P10	26/1/2007	1.70	1.90	1.70	1.30	1.30	1.58
G2P20	26/1/2007	1.30	1.30	1.30	1.10	1.50	1.30
G2P30	22/1/2007	1.40	1.30	1.40	0.90	1.50	1.30
G2P40	22/1/2007	0.70	0.70	1.00	0.80	0.90	0.82

การแทรกซึมคลอไรด์ที่อายุ 90 วัน



รูปที่ ข.2 แสดงการเปรียบเทียบการแทรกซึมคลอไรด์เข้าสู่คอนกรีตที่อายุ 90 วัน

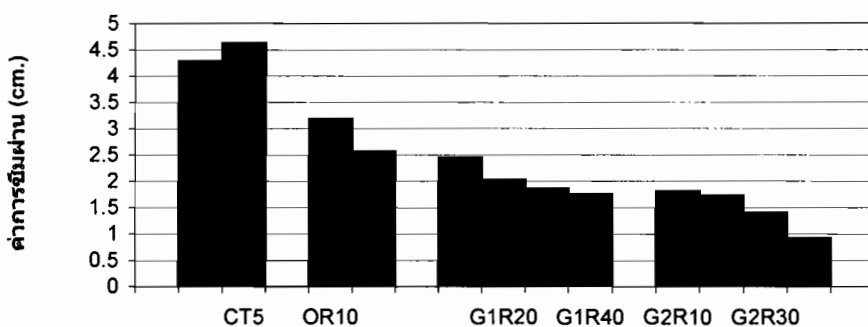
ของตัวอย่าง CT, OP, G1P และ G2P

ตารางที่ ข.3 ผลการทดสอบการแทรกซึมคลอไรด์เข้าสู่คอนกรีตที่อายุ 360 วัน

ของตัวอย่าง CT, OR, G1R และ G2R

Sample	Date	Depth of Chloride Penetration (cm)					Average (cm)
		1	2	3	4	5	
CT1	12/9/2007	4.60	4.30	3.80	4.40	4.30	4.28
CT5	11/9/2007	4.80	4.30	4.00	5.10	4.90	4.62
OR10	20/9/2007	3.30	3.40	2.90	3.40	2.90	3.18
OR20	20/9/2007	2.10	2.80	2.90	2.70	2.30	2.56
G1R10	30/9/2007	2.40	2.20	2.40	2.70	2.50	2.44
G1R20	30/9/2007	2.00	2.00	2.10	2.00	2.00	2.02
G1R30	24/9/2007	1.90	2.00	1.80	1.70	1.90	1.86
G1R40	24/9/2007	1.90	1.60	1.60	1.60	2.00	1.74
G2R10	6/10/2007	2.10	1.80	1.80	1.70	1.60	1.80
G2R20	6/10/2007	2.10	1.80	1.60	1.60	1.50	1.72
G2R30	3/10/2007	1.50	1.30	1.50	1.40	1.30	1.40
G2R40	3/10/2007	1.00	0.90	1.00	0.90	0.80	0.92

การแทรกซึมคลอไรต์ที่อายุ 360 วัน



รูปที่ ข.3 แสดงการเปรียบเทียบการแทรกซึมคลอไรด์เข้าสู่คอนกรีตที่อายุ 360 วัน

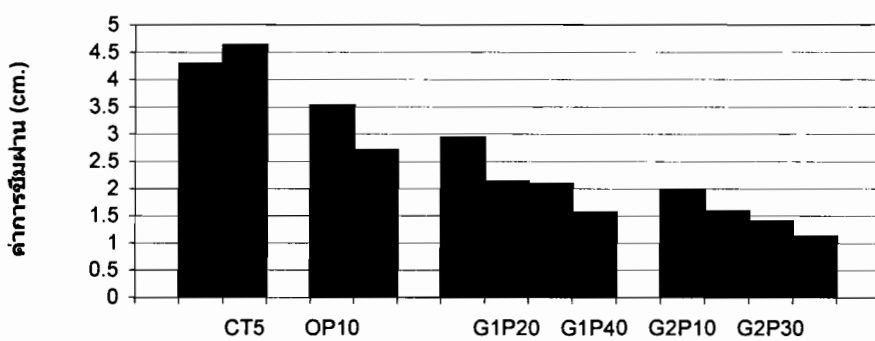
ของตัวอย่าง CT, OR, G1R และ G2R

ตารางที่ ข.4 ผลการทดสอบการแทรกซึมคลอไรด์เข้าสู่คอนกรีตที่อายุ 360 วัน

ของตัวอย่าง CT, OP, G1P และ G2P

Sample	Date	Depth of Chloride Penetration (cm)					Average (cm)
		1	2	3	4	5	
CT1	12/9/2007	1.70	1.50	1.20	1.20	1.60	1.44
CT5	11/9/2007	1.70	1.30	1.60	1.40	1.30	1.46
OP10	12/10/2007	1.90	1.70	1.60	1.70	1.50	1.68
OP20	12/10/2007	2.00	2.00	2.10	2.00	1.80	1.98
G1P10	20/10/2007	2.10	1.80	1.90	1.90	2.00	1.94
G1P20	20/10/2007	1.40	2.20	1.60	1.70	1.70	1.72
G1P30	16/10/2007	1.50	1.20	1.30	1.30	1.30	1.32
G1P40	16/10/2007	1.20	1.30	1.20	1.10	1.50	1.26
G2P10	28/10/2007	1.70	1.90	1.70	1.30	1.30	1.58
G2P20	28/10/2007	1.30	1.30	1.30	1.10	1.50	1.30
G2P30	24/10/2007	1.40	1.30	1.40	0.90	1.50	1.30
G2P40	24/10/2007	0.70	0.70	1.00	0.80	0.90	0.82

การแทรกซึมคลอไรด์ที่อายุ 360 วัน



รูปที่ ข.4 แสดงการเปรียบเทียบการแทรกซึมคลอไรด์เข้าสู่คอนกรีตที่อายุ 360 วัน

ของตัวอย่าง CT, OP, G1P และ G2P

ประวัติผู้วจัย

ชื่อ – นามสกุล	นายสรภพ ก้านบัวเก้า
วัน เดือน ปีเกิด	22 กุมภาพันธ์ 2526

ประวัติการศึกษา

ระดับมัธยมศึกษา

ประถมศึกษาตอนปลาย

โรงเรียนอัสสัมชัญชนบุรี พ.ศ. 2544

ระดับปริญญาตรี

วิศวกรรมศาสตรบัณฑิต สาขาวิชาวิศวกรรมโยธา

มหาวิทยาลัยเทคโนโลยีพระจอมเกล้าธนบุรี พ.ศ. 2548

ระดับปริญญาโท

วิศวกรรมศาสตรมหาบัณฑิต สาขาวิชาวิศวกรรมโยธา

มหาวิทยาลัยเทคโนโลยีพระจอมเกล้าธนบุรี พ.ศ. 2552

ผลงานที่ได้รับการตีพิมพ์

ปริญญา ก้านบัวเก้า, วีรชาติ ตั้งจริภัทร และชัย ชาตรุพิทักษ์กุล, 2551, “ผลกระทบของถ้าปาล์มน้ำมันต่อกำลังอัดและการแทรกซึมของคลอร์ไรด์ในคอนกรีต”, การประชุมวิชาการวิศวกรรมโยธา แห่งชาติ ครั้งที่ 13, 14-16 พฤษภาคม 2551, โรงแรมจอมเทียน ปาล์มนีช พัทยา , รหัส MAT-034, pp. 167-172.

มหาวิทยาลัยเทคโนโลยีพระจอมเกล้าธนบุรี
ข้อตกลงว่าด้วยการโอนสิทธิในทรัพย์สินทางปัญญาของนักศึกษาระดับบัณฑิตศึกษา

วันที่.....2.....เดือน.....เมษายน..... พ.ศ....2553.....

ข้าพเจ้า (นาย/นาง/นางสาว).....สรภพ ก้านบัวแก้ว.....รหัสประจำตัว.....48400311.....
เป็นนักศึกษาของมหาวิทยาลัยเทคโนโลยีพระจอมเกล้าธนบุรี
ระดับ ○ ประกาศนียบัตรบัณฑิต ปริญญาโท ○ ปริญญาเอก
หลักสูตร...วิศวกรรมศาสตร์มหาบัณฑิต.....สาขาวิชา.....วิศวกรรมโครงสร้าง....คณะ.....วิศวกรรมศาสตร์.....
อยู่บ้านเลขที่.....3/119.....หมู่.....3.....ตรอก/ซอย....._____ถนน.....หมู่บ้านเศรษฐกิจ.....
ตำบล/แขวง.....บางไผ่.....อำเภอ/เขต.....บางแค.....จังหวัด.....กรุงเทพ.....รหัสไปรษณีย์.....10160.....
เป็น “ผู้โอน” ขอโอนสิทธิในทรัพย์สินทางปัญญาให้ไว้กับมหาวิทยาลัยเทคโนโลยีพระจอมเกล้าธนบุรี โดยมี
รศ.ดร.ปิยะบุตร วนิชพงษ์พันธุ์ ตำแหน่ง รองคณบดีฝ่ายวิชาการ คณะวิศวกรรมศาสตร์
เป็นตัวแทน “ผู้รับโอน” สิทธิในทรัพย์สินทางปัญญาและมีข้อตกลงดังนี้

ข้าพเจ้าได้จัดทำวิทยานิพนธ์เรื่อง.....ผลกระบวนการถ่ายแกล็บ-เปลือกไม้และถ่ายปลีมน้ำมันต่อกำลังอัดและการ
แทรกซึมกลอไรต์เข้าสู่คอนกรีต.....
ซึ่งอยู่ในความควบคุมของ.....ศ.ดร.รชัย ชาตรพิทักษ์กุล.....อาจารย์ที่ปรึกษา และ/หรือ.....
อาจารย์ที่ปรึกษาร่วม ตาม
พระราชบัญญัติลิขสิทธิ์ พ.ศ. 2537 และถือว่าเป็นส่วนหนึ่งของการศึกษาตามหลักสูตรของมหาวิทยาลัย
เทคโนโลยีพระจอมเกล้าธนบุรี

1. ข้าพเจ้าตกลงโอนลิขสิทธิ์จากผลงานทั้งหมดที่เกิดขึ้นจากการสร้างสรรค์ของข้าพเจ้าในวิทยานิพนธ์
ให้กับมหาวิทยาลัยเทคโนโลยีพระจอมเกล้าธนบุรี ตลอดอายุแห่งการคุ้มครองลิขสิทธิ์ตามพระราชบัญญัติลิขสิทธิ์
พ.ศ. 2537 ตั้งแต่วันที่ได้รับอนุญาตโครงการร่างวิทยานิพนธ์จากมหาวิทยาลัย

2. ในกรณีที่ข้าพเจ้าประสงค์จะนำวิทยานิพนธ์ไปใช้ในการเผยแพร่ในสื่อใดๆ ก็ตาม ข้าพเจ้าจะต้อง
ระบุว่าวิทยานิพนธ์เป็นผลงานของมหาวิทยาลัยเทคโนโลยีพระจอมเกล้าธนบุรีทุกครั้งที่มีการเผยแพร่

3. ในกรณีที่ข้าพเจ้าประสงค์จะนำวิทยานิพนธ์ไปเผยแพร่ หรือให้ผู้อื่นทำซ้ำ หรือตัดแปลงหรือเผยแพร่
ต่อสาธารณะหรือกระทำการอื่นใด ตามพระราชบัญญัติลิขสิทธิ์ พ.ศ. 2537 โดยมีค่าตอบแทนในเชิงธุรกิจ
ข้าพเจ้าจะกระทำได้เมื่อได้รับความยินยอมเป็นลายลักษณ์อักษรจากมหาวิทยาลัยเทคโนโลยีพระจอมเกล้าธนบุรี
ก่อน

4. ในกรณีที่ข้าพเจ้าประสงค์จะนำข้อมูลจากวิทยานิพนธ์ไปประดิษฐ์หรือพัฒนาต่อยอดเป็น
สิ่งประดิษฐ์หรืองานทรัพย์สินทางปัญญาประเภทอื่น ภายในระยะเวลาสิบ (10) ปีนับจากวันลงนามในข้อตกลง
ฉบับนี้ ข้าพเจ้าจะกระทำได้เมื่อได้รับความยินยอมเป็นลายลักษณ์อักษรจากมหาวิทยาลัยเทคโนโลยีพระจอมเกล้า
ธนบุรี และมหาวิทยาลัยเทคโนโลยีพระจอมเกล้าธนบุรีมีสิทธิในทรัพย์สินทางปัญหานี้ พร้อมกับได้รับชำระ
ค่าตอบแทนการอนุญาตให้ใช้สิทธิดังกล่าว รวมถึงการจัดสรรผลประโยชน์อันพึงเกิดขึ้นจากส่วนใดส่วนหนึ่งหรือ

ทั้งหมดของวิทยานิพนธ์ในอนาคต โดยให้เป็นไปตามระเบียบสถาบันเทคโนโลยีพระจอมเกล้าธนบุรี ว่าด้วย การบริหารผลประโยชน์อันเกิดจากทรัพย์สินทางปัญญา พ.ศ. 2538

5. ในกรณีที่มีผลประโยชน์อันเกิดขึ้นจากการวิทยานิพนธ์หรืองานทรัพย์สินทางปัญญาอื่นที่ข้าพเจ้าทำขึ้นโดยมีมหาวิทยาลัยเทคโนโลยีพระจอมเกล้าธนบุรีเป็นเจ้าของ ข้าพเจ้าจะมีสิทธิได้รับการจัดสรรผลประโยชน์อันเกิดจากทรัพย์สินทางปัญหาดังกล่าวตามอัตราที่กำหนดไว้ในระเบียบสถาบันเทคโนโลยีพระจอมเกล้าธนบุรี ว่าด้วย การบริหารผลประโยชน์อันเกิดจากทรัพย์สินทางปัญญา พ.ศ. 2538

ลงชื่อ.....สรกพ ตันติวงศ์....ผู้สอนสิทธิ
(.....สรกพ ตันติวงศ์.....)

นักศึกษา

ลงชื่อ.....กิตติ์พันธุ์....ผู้รับโอนสิทธิ
(รศ.ดร. มีระภูตร วนิชพงษ์พันธุ์)
รองคณบดีฝ่ายวิชาการ ปฏิบัติการแทนคณบดี

ลงชื่อ.....กิตติ์พันธุ์....พยาน
(กิตติ์พันธุ์)

ลงชื่อ.....กิตติ์พันธุ์....พยาน
(กิตติ์พันธุ์)